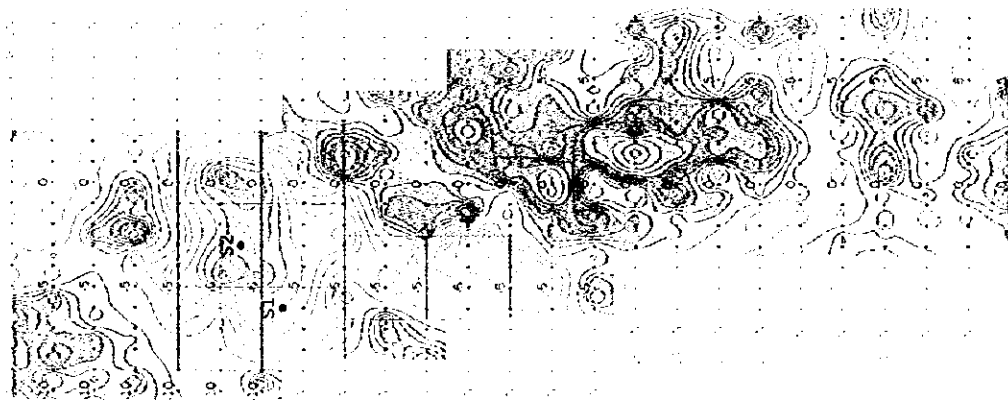
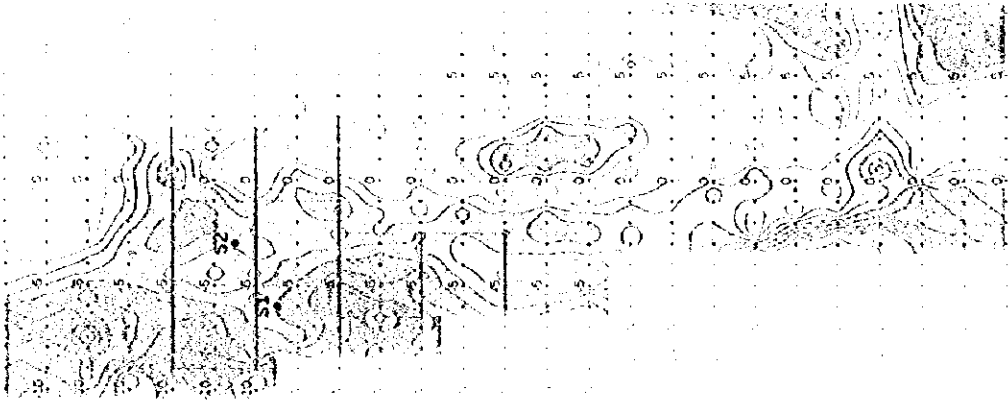
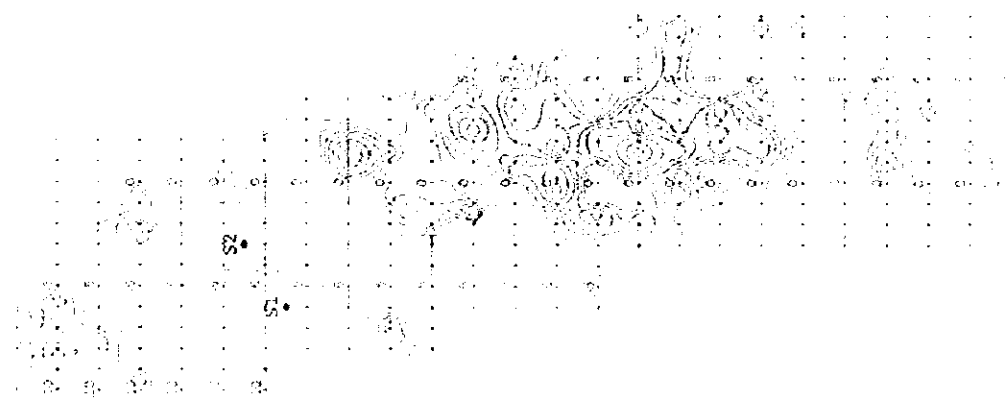
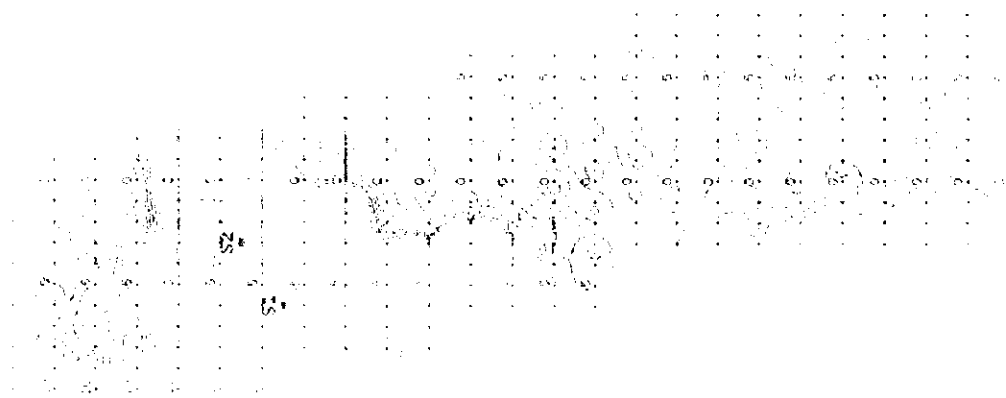
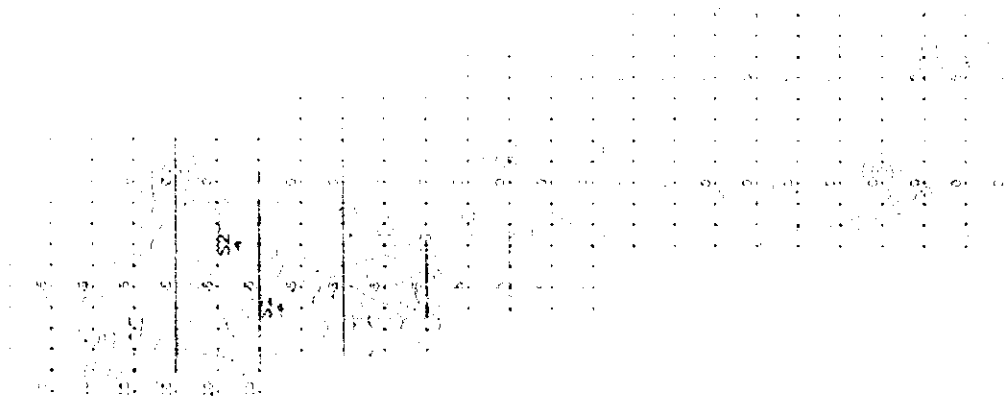


Fig. II -2-20 IP plane map of n=3 in Sarami area





1000  
500  
0  
500  
1000



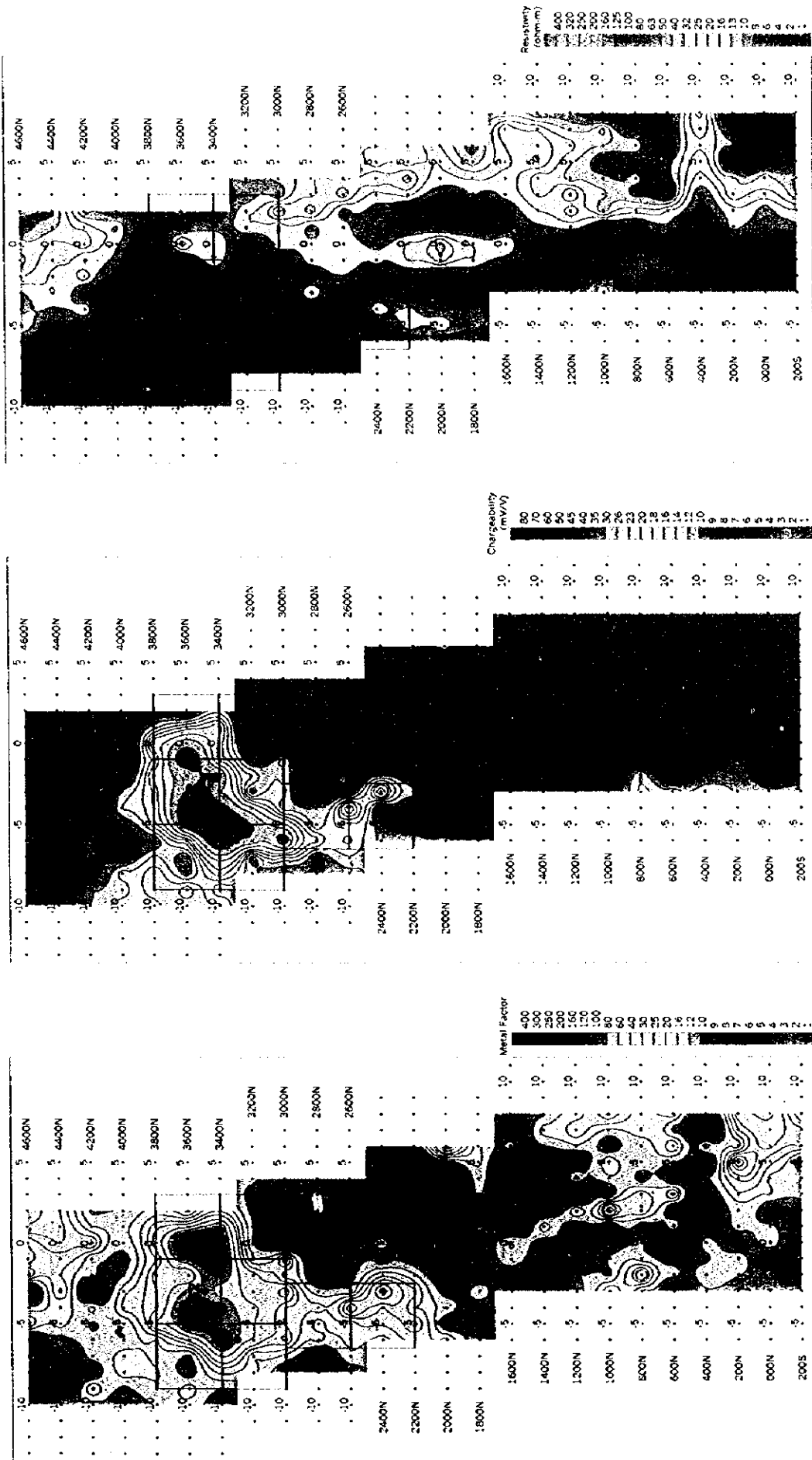


Fig. II -2-21 IP plane map of n=4 in Sarami area

FIGURE 1

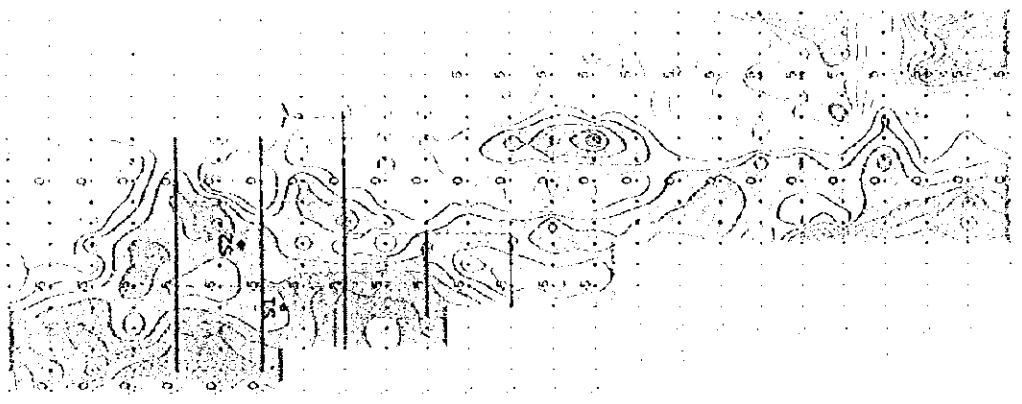


FIGURE 2

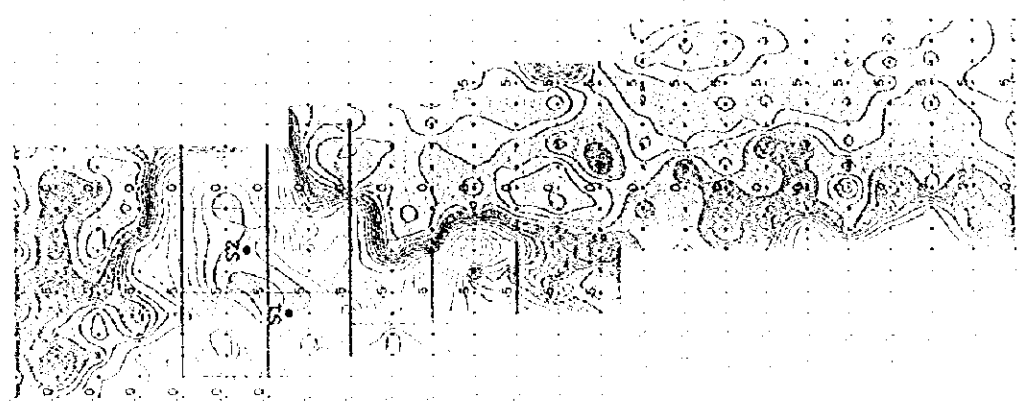
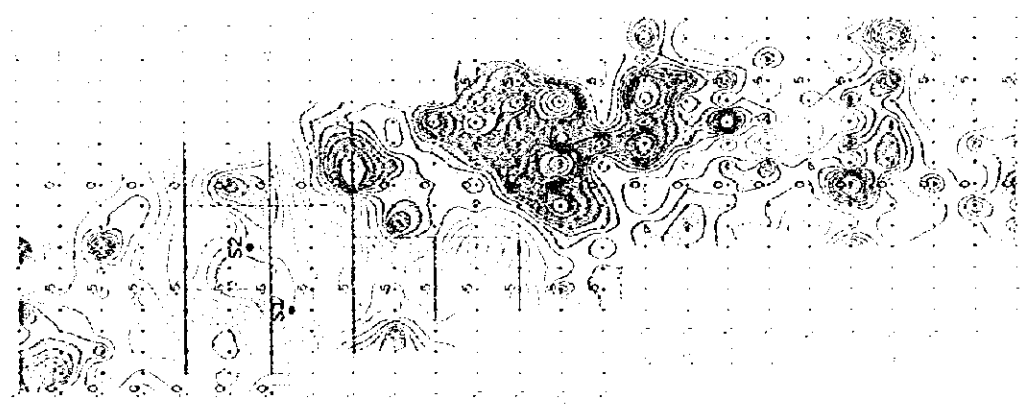
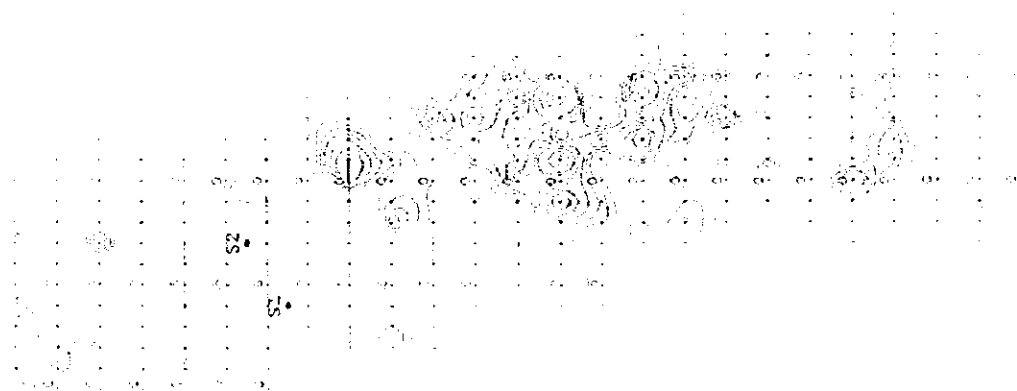
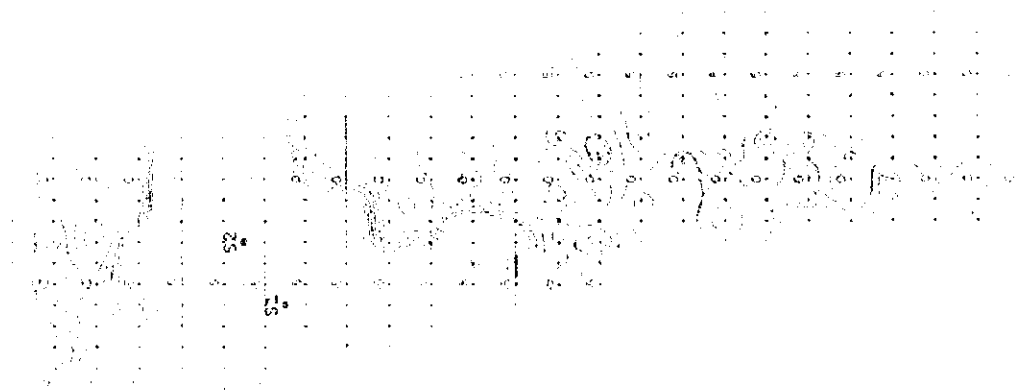
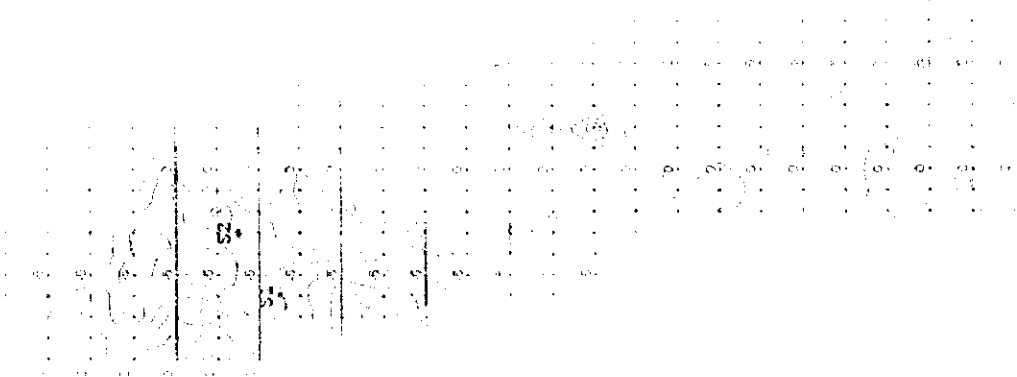


FIGURE 3





100





る領域に着目すれば、地区中央部の測線 1800N 測点-6 付近と測線 3600N 測点 3 付近を結ぶラインを中心に 10 数 mV/V 以上の高分極率異常帯が広がっている。この異常帯は測線 3400N～3600N の測点-3 付近を中心とする南北 600m、東西 600m の 20mV/V 以上（最高 43mV/V）の異常帯と測線 2200N～2800N の測点-5 付近を中心とする北西に長い異常帯に分けられる。この異常帯は断面図でも明瞭に現れており（Fig. II-2-16(2)）、これに対して TEM 調査を実施した。

メタルファクターについてみると、その高い値を示す範囲は、高分極率を示す部分とほぼ重複している。なかでも測線 3400N～3600N の測点-5～0 付近の異常は、特に顕著であり、やや低い比抵抗のゾーンと一致している（Fig. II-2-18）。

### (3) 2次元解析結果

2次元解析は、全測線に対し行った。その内異常が得られた代表的な断面図について記載する（Fig. II-2-22）。

測線 2400N についてみると、比抵抗では測点-3～-4 の深部に  $30\Omega\cdot\text{m}$  前後の低比抵抗が認められる。この付近の分極率は最大 31mV/V を示し、東西方向の分極率異常部の幅は約 200m である。測点-3 の東側では低比抵抗部が地表付近に広く分布するが、分極率が低いことから鉱化作用には関連しない比抵抗異常と考えられる。測点-3～-4 付近のメタルファクター異常はさらに明瞭で、異常値は最大 70 が得られており、垂直構造に近い形態を示している。

測線 3600N についてみると、比抵抗では測点-4 の深部及び測点-2～-3 の浅部に  $30\Omega\cdot\text{m}$  程度の低比抵抗が分布する。これらはいずれも高分極率異常部に位置し、分極率異常部の広がりには比抵抗異常に比べて大きく、東西の幅は約 800m に達する。測点-3 付近が異常部の中心部で、分極率は最大 46mV/V を示している。メタルファクターの異常部は分極率の異常とほぼ同様な傾向を示すが、測点-4 の深部及び測点-2～-3 の浅部で高い値が得られている。

## 2-5-4 マハブ地区

### (1) 測線設定

本地区では測線長 2.0km の測線を 8 本（測線 000N～1400N）設定した。測線長は合計で 14.0km で、測線の方向は  $N45^\circ E$  である。

測線位置を Fig. II-2-23 に示す。

### (2) 測定結果

見掛比抵抗、分極率及びメタルファクターの断面図を Fig. II-2-24～Fig. II-2-26 に、また平面図を Fig. II-2-27～Fig. II-2-30 に示す。

見掛比抵抗は、明瞭に区分され南側で高比抵抗、北側で低比抵抗となっている（Fig. II-2-27）。北側では、数  $\Omega\cdot\text{m}$  の極端に低い比抵抗が  $N=1\sim 4$  で全域に広がっている。低比抵抗域と高比抵



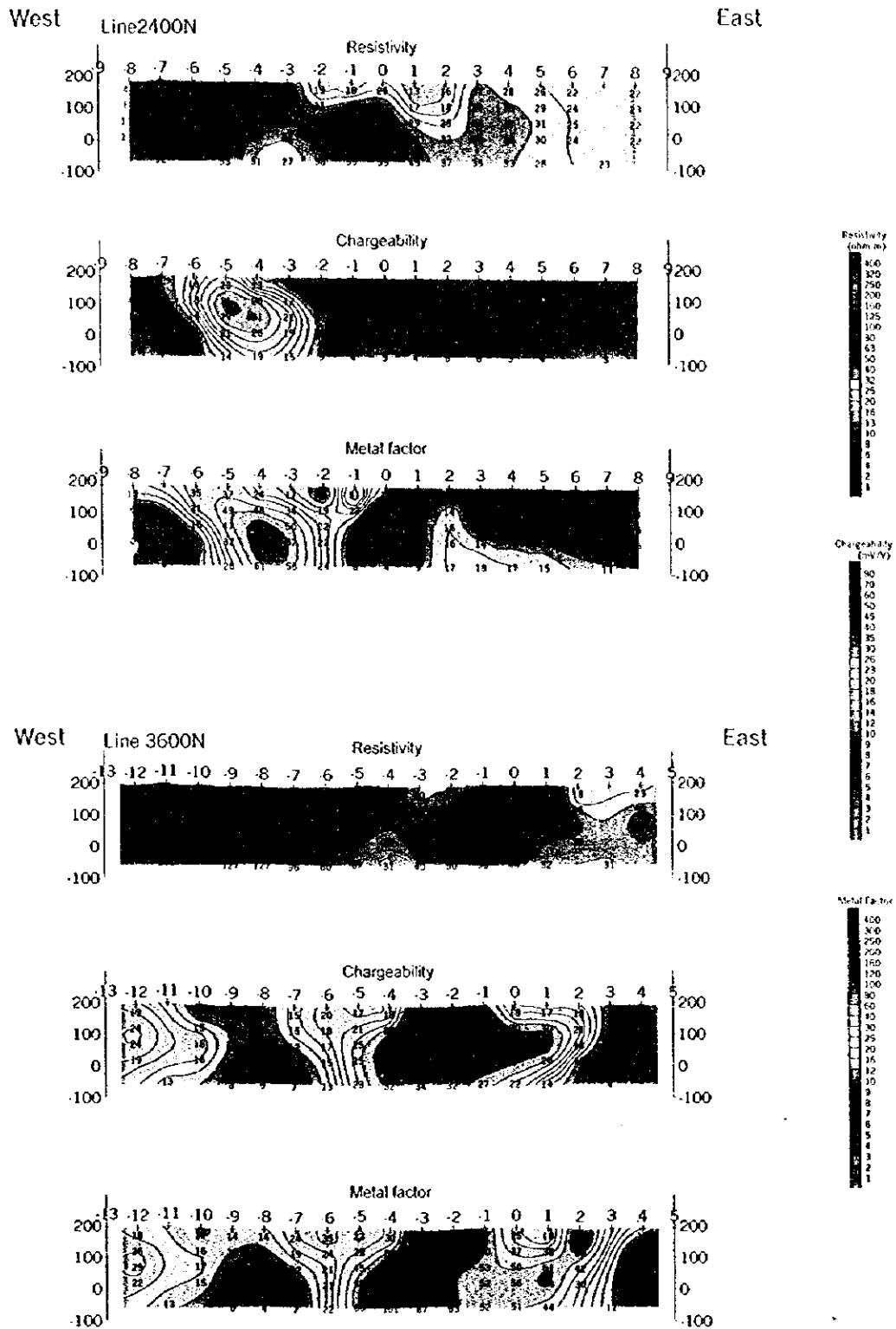
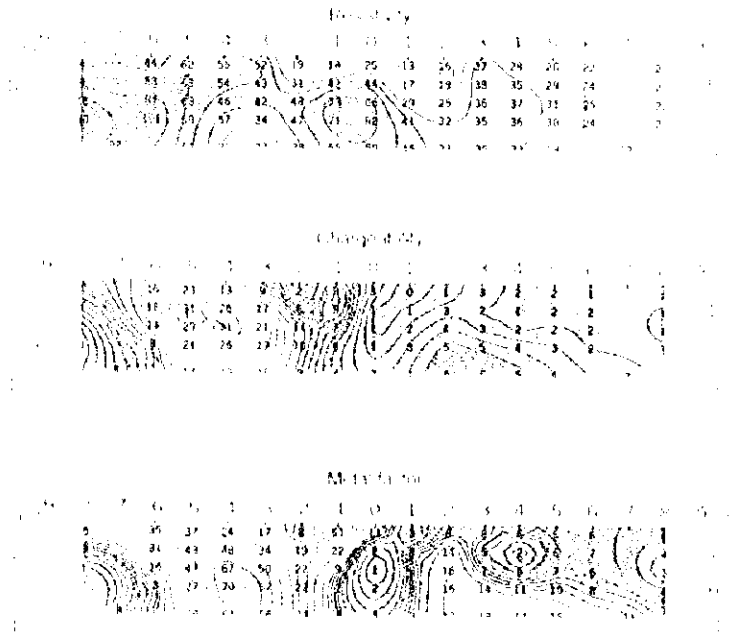


Fig. II -2-22 1P 2D model simulation on lines 2400N and 3600N on Sarami area

Wind direction: 300°

Fig. 2



Wind direction: 300°

Fig. 3

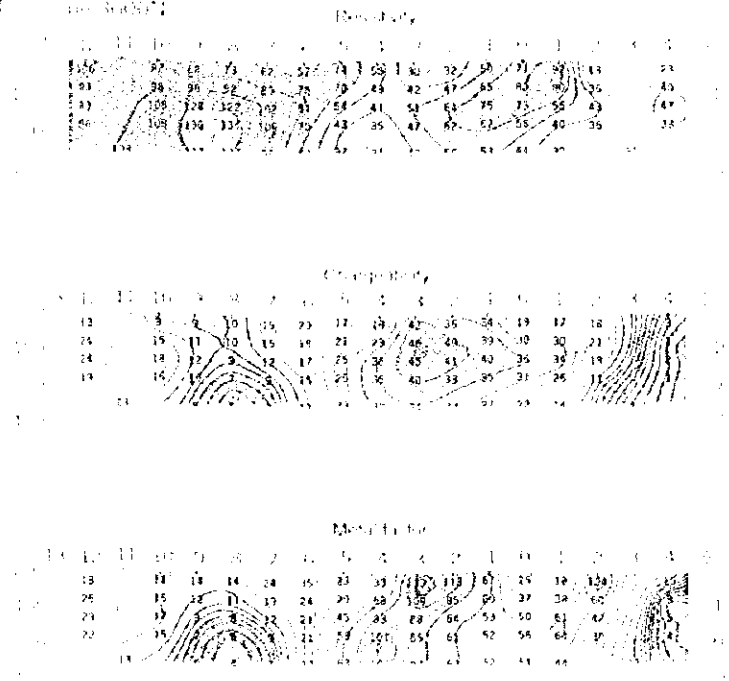


Fig. II-2-22 IP-2D model simulation on lines 2400N and 3600N on Sarum area

1	14	17	21	25	29	33	37	41	45	49	53	57	61	65	69	73	77	81	85	89	93	97	101	105	109	113	117	121	125	129	133	137	141	145	149	153	157	161	165	169	173	177	181	185	189	193	197	201	205	209	213	217	221	225	229	233	237	241	245	249	253	257	261	265	269	273	277	281	285	289	293	297	301	305	309	313	317	321	325	329	333	337	341	345	349	353	357	361	365	369	373	377	381	385	389	393	397	401	405	409	413	417	421	425	429	433	437	441	445	449	453	457	461	465	469	473	477	481	485	489	493	497	501	505	509	513	517	521	525	529	533	537	541	545	549	553	557	561	565	569	573	577	581	585	589	593	597	601	605	609	613	617	621	625	629	633	637	641	645	649	653	657	661	665	669	673	677	681	685	689	693	697	701	705	709	713	717	721	725	729	733	737	741	745	749	753	757	761	765	769	773	777	781	785	789	793	797	801	805	809	813	817	821	825	829	833	837	841	845	849	853	857	861	865	869	873	877	881	885	889	893	897	901	905	909	913	917	921	925	929	933	937	941	945	949	953	957	961	965	969	973	977	981	985	989	993	997	1001
---	----	----	----	----	----	----	----	----	----	----	----	----	----	----	----	----	----	----	----	----	----	----	-----	-----	-----	-----	-----	-----	-----	-----	-----	-----	-----	-----	-----	-----	-----	-----	-----	-----	-----	-----	-----	-----	-----	-----	-----	-----	-----	-----	-----	-----	-----	-----	-----	-----	-----	-----	-----	-----	-----	-----	-----	-----	-----	-----	-----	-----	-----	-----	-----	-----	-----	-----	-----	-----	-----	-----	-----	-----	-----	-----	-----	-----	-----	-----	-----	-----	-----	-----	-----	-----	-----	-----	-----	-----	-----	-----	-----	-----	-----	-----	-----	-----	-----	-----	-----	-----	-----	-----	-----	-----	-----	-----	-----	-----	-----	-----	-----	-----	-----	-----	-----	-----	-----	-----	-----	-----	-----	-----	-----	-----	-----	-----	-----	-----	-----	-----	-----	-----	-----	-----	-----	-----	-----	-----	-----	-----	-----	-----	-----	-----	-----	-----	-----	-----	-----	-----	-----	-----	-----	-----	-----	-----	-----	-----	-----	-----	-----	-----	-----	-----	-----	-----	-----	-----	-----	-----	-----	-----	-----	-----	-----	-----	-----	-----	-----	-----	-----	-----	-----	-----	-----	-----	-----	-----	-----	-----	-----	-----	-----	-----	-----	-----	-----	-----	-----	-----	-----	-----	-----	-----	-----	-----	-----	-----	-----	-----	-----	-----	-----	-----	-----	-----	-----	-----	-----	-----	-----	-----	-----	-----	-----	-----	-----	-----	-----	-----	-----	-----	-----	-----	-----	-----	-----	-----	-----	------

1	2	3	4	5	6	7	8	9	10	11	12	13	14	15	16	17	18	19	20	21	22	23	24	25	26	27	28	29	30	31	32	33	34	35	36	37	38	39	40	41	42	43	44	45	46	47	48	49	50	51	52	53	54	55	56	57	58	59	60	61	62	63	64	65	66	67	68	69	70	71	72	73	74	75	76	77	78	79	80	81	82	83	84	85	86	87	88	89	90	91	92	93	94	95	96	97	98	99	100
---	---	---	---	---	---	---	---	---	----	----	----	----	----	----	----	----	----	----	----	----	----	----	----	----	----	----	----	----	----	----	----	----	----	----	----	----	----	----	----	----	----	----	----	----	----	----	----	----	----	----	----	----	----	----	----	----	----	----	----	----	----	----	----	----	----	----	----	----	----	----	----	----	----	----	----	----	----	----	----	----	----	----	----	----	----	----	----	----	----	----	----	----	----	----	----	----	----	----	-----

1	2	3	4	5	6	7	8	9	10	11	12	13	14	15	16	17	18	19	20	21	22	23	24	25	26	27	28	29	30	31	32	33	34	35	36	37	38	39	40	41	42	43	44	45	46	47	48	49	50	51	52	53	54	55	56	57	58	59	60	61	62	63	64	65	66	67	68	69	70	71	72	73	74	75	76	77	78	79	80	81	82	83	84	85	86	87	88	89	90	91	92	93	94	95	96	97	98	99	100
---	---	---	---	---	---	---	---	---	----	----	----	----	----	----	----	----	----	----	----	----	----	----	----	----	----	----	----	----	----	----	----	----	----	----	----	----	----	----	----	----	----	----	----	----	----	----	----	----	----	----	----	----	----	----	----	----	----	----	----	----	----	----	----	----	----	----	----	----	----	----	----	----	----	----	----	----	----	----	----	----	----	----	----	----	----	----	----	----	----	----	----	----	----	----	----	----	----	----	-----

1	2	3	4	5	6	7	8	9	10	11	12	13	14	15	16	17	18	19	20	21	22	23	24	25	26	27	28	29	30	31	32	33	34	35	36	37	38	39	40	41	42	43	44	45	46	47	48	49	50	51	52	53	54	55	56	57	58	59	60	61	62	63	64	65	66	67	68	69	70	71	72	73	74	75	76	77	78	79	80	81	82	83	84	85	86	87	88	89	90	91	92	93	94	95	96	97	98	99	100
---	---	---	---	---	---	---	---	---	----	----	----	----	----	----	----	----	----	----	----	----	----	----	----	----	----	----	----	----	----	----	----	----	----	----	----	----	----	----	----	----	----	----	----	----	----	----	----	----	----	----	----	----	----	----	----	----	----	----	----	----	----	----	----	----	----	----	----	----	----	----	----	----	----	----	----	----	----	----	----	----	----	----	----	----	----	----	----	----	----	----	----	----	----	----	----	----	----	----	-----

1	2	3	4	5	6	7	8	9	10	11	12	13	14	15	16	17	18	19	20	21	22	23	24	25	26	27	28	29	30	31	32	33	34	35	36	37	38	39	40	41	42	43	44	45	46	47	48	49	50	51	52	53	54	55	56	57	58	59	60	61	62	63	64	65	66	67	68	69	70	71	72	73	74	75	76	77	78	79	80	81	82	83	84	85	86	87	88	89	90	91	92	93	94	95	96	97	98	99	100
---	---	---	---	---	---	---	---	---	----	----	----	----	----	----	----	----	----	----	----	----	----	----	----	----	----	----	----	----	----	----	----	----	----	----	----	----	----	----	----	----	----	----	----	----	----	----	----	----	----	----	----	----	----	----	----	----	----	----	----	----	----	----	----	----	----	----	----	----	----	----	----	----	----	----	----	----	----	----	----	----	----	----	----	----	----	----	----	----	----	----	----	----	----	----	----	----	----	----	-----

1	2	3	4	5	6	7	8	9	10	11	12	13	14	15	16	17	18	19	20	21	22	23	24	25	26	27	28	29	30	31	32	33	34	35	36	37	38	39	40	41	42	43	44	45	46	47	48	49	50	51	52	53	54	55	56	57	58	59	60	61	62	63	64	65	66	67	68	69	70	71	72	73	74	75	76	77	78	79	80	81	82	83	84	85	86	87	88	89	90	91	92	93	94	95	96	97	98	99	100
---	---	---	---	---	---	---	---	---	----	----	----	----	----	----	----	----	----	----	----	----	----	----	----	----	----	----	----	----	----	----	----	----	----	----	----	----	----	----	----	----	----	----	----	----	----	----	----	----	----	----	----	----	----	----	----	----	----	----	----	----	----	----	----	----	----	----	----	----	----	----	----	----	----	----	----	----	----	----	----	----	----	----	----	----	----	----	----	----	----	----	----	----	----	----	----	----	----	----	-----



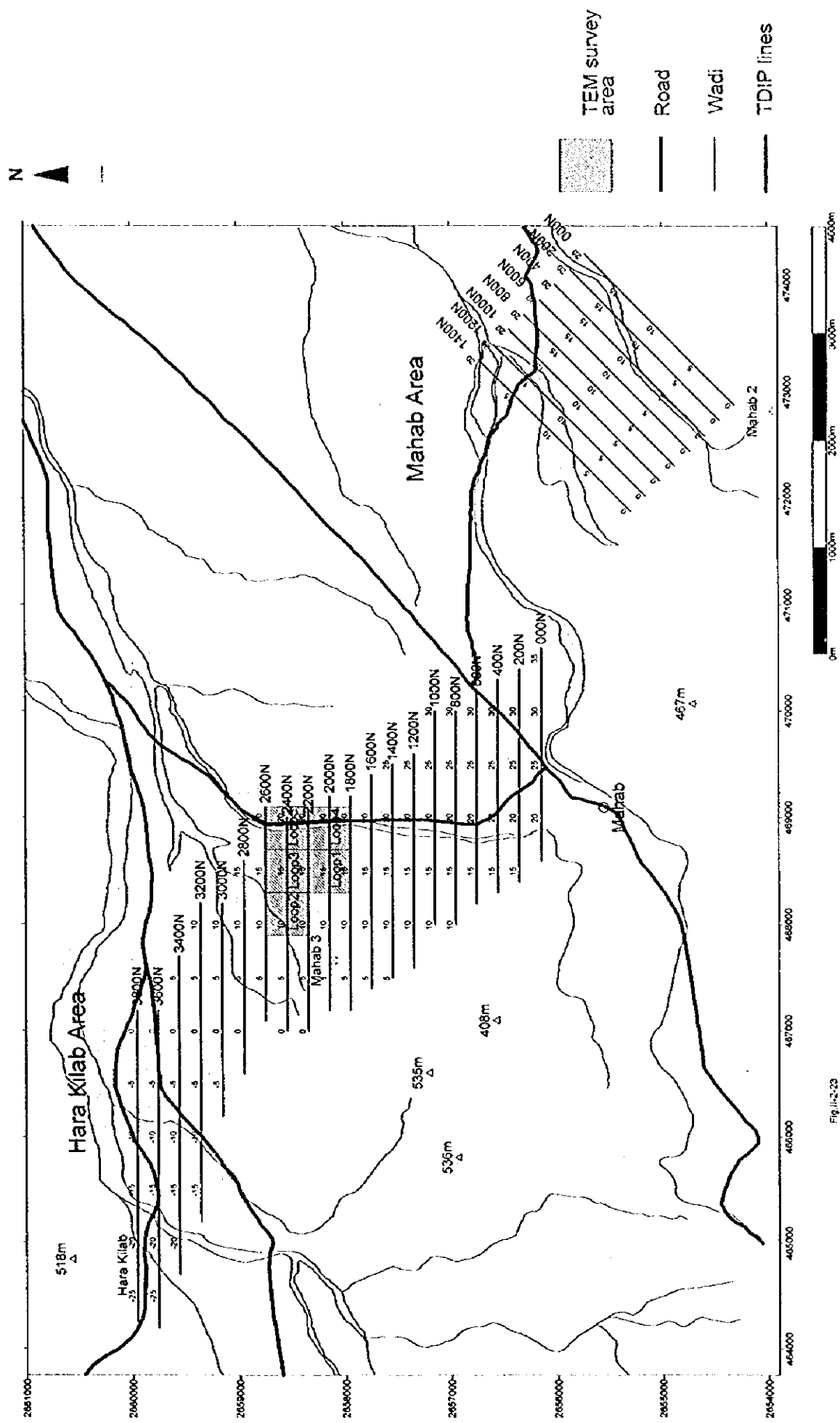


Fig II-2-23

Fig. II -2-23 Geophysical survey location in Mahab and Hara Kilab area





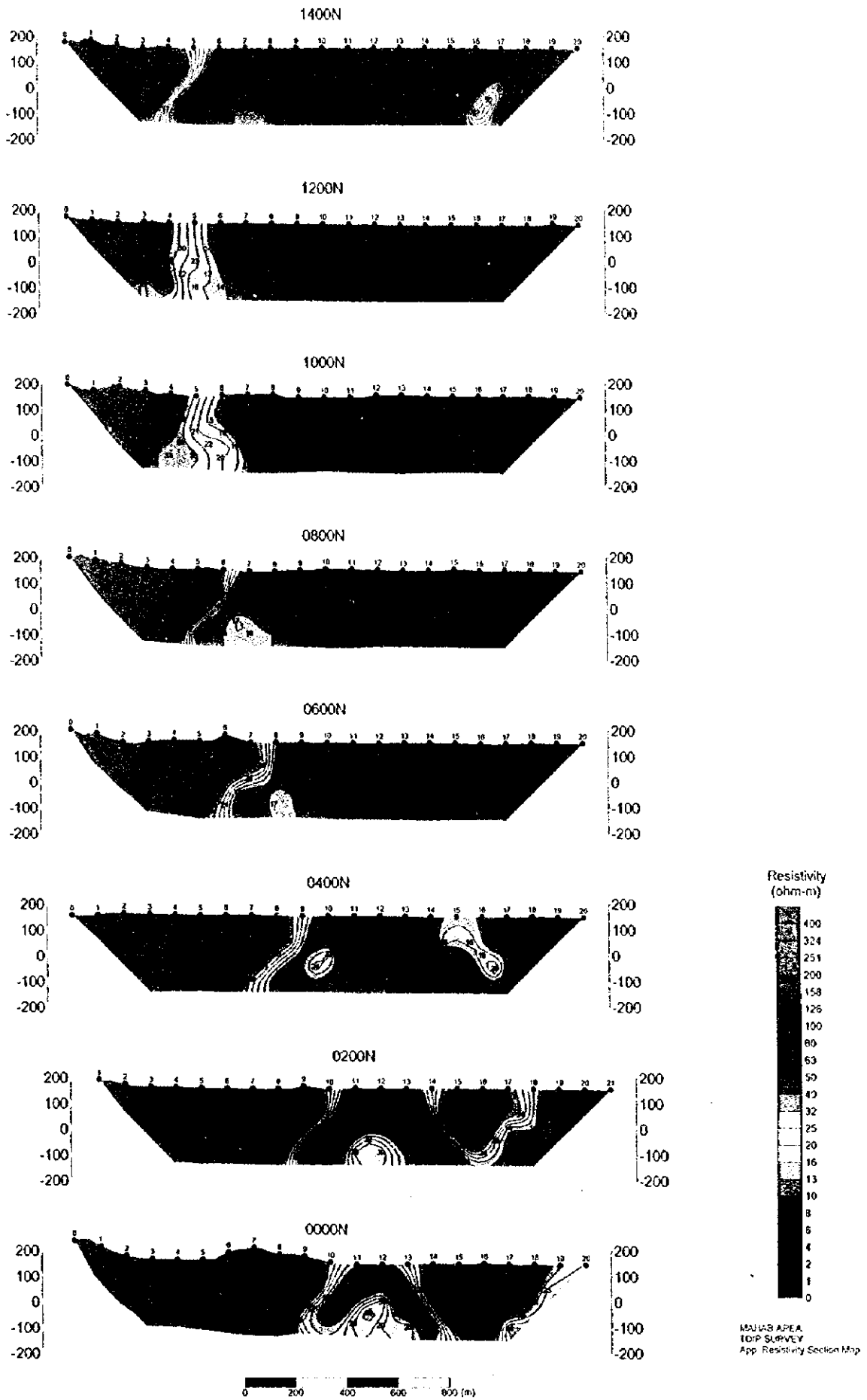


Fig. II-2-24 Apparent resistivity pseudo-sections in Mahab area

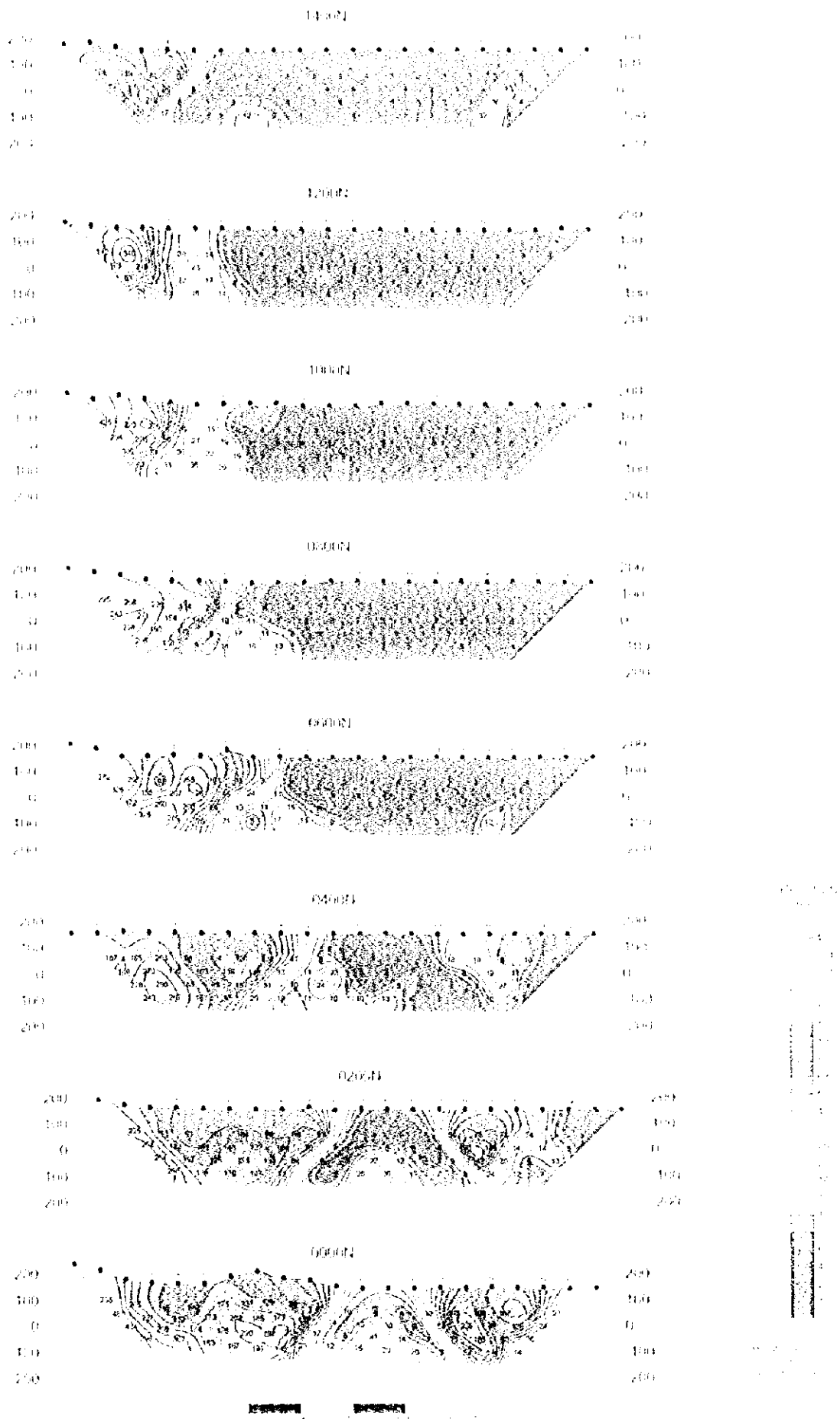


Fig. II-2-24 Apparent resistivity pseudo sections in Mahab area

.....  
.....  
.....

.....  
.....  
.....

.....  
.....  
.....

.....  
.....  
.....

.....  
.....  
.....

.....  
.....  
.....

.....  
.....  
.....

.....  
.....  
.....



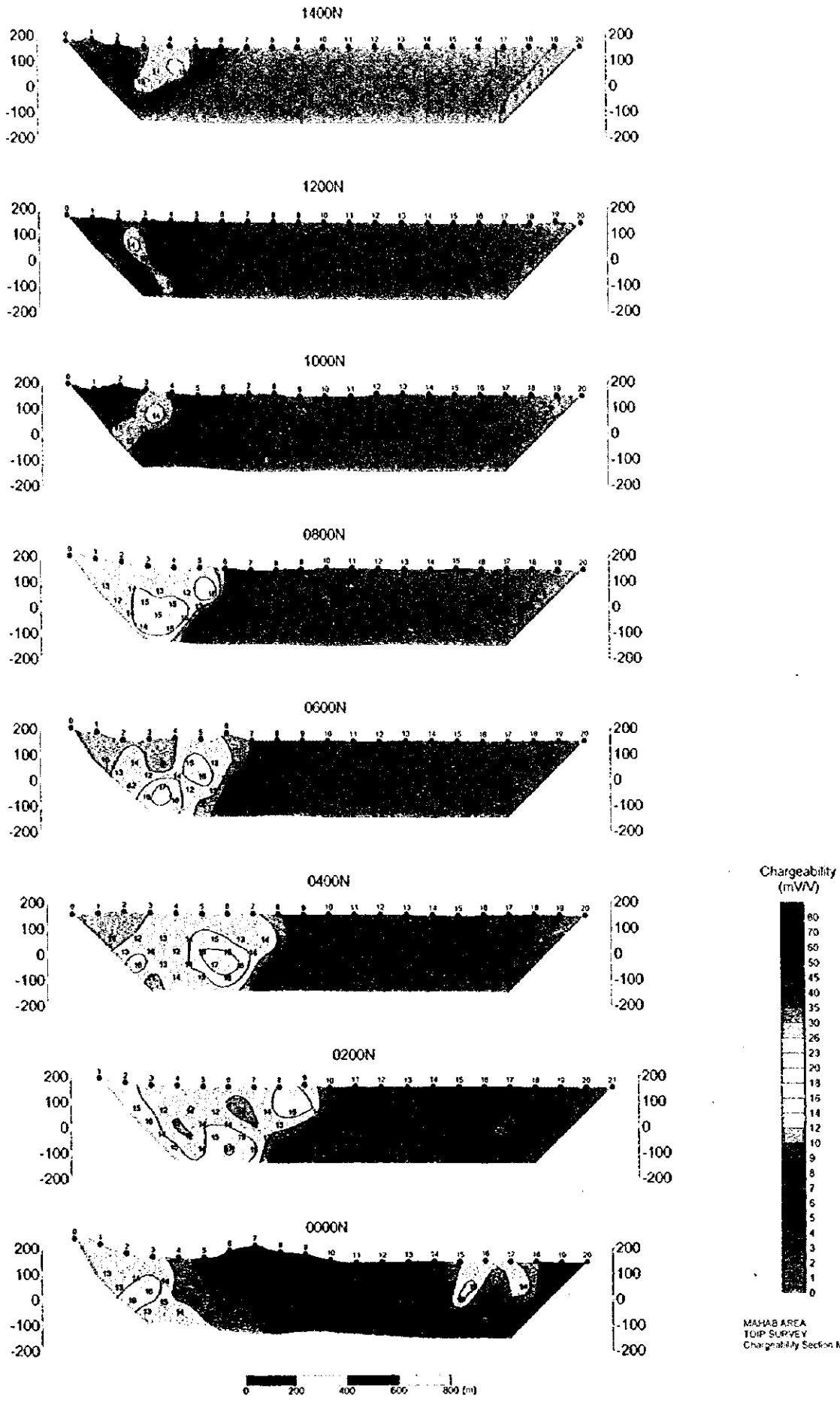


Fig. II -2-25 Chargeability pseudo-sections in Mahab area

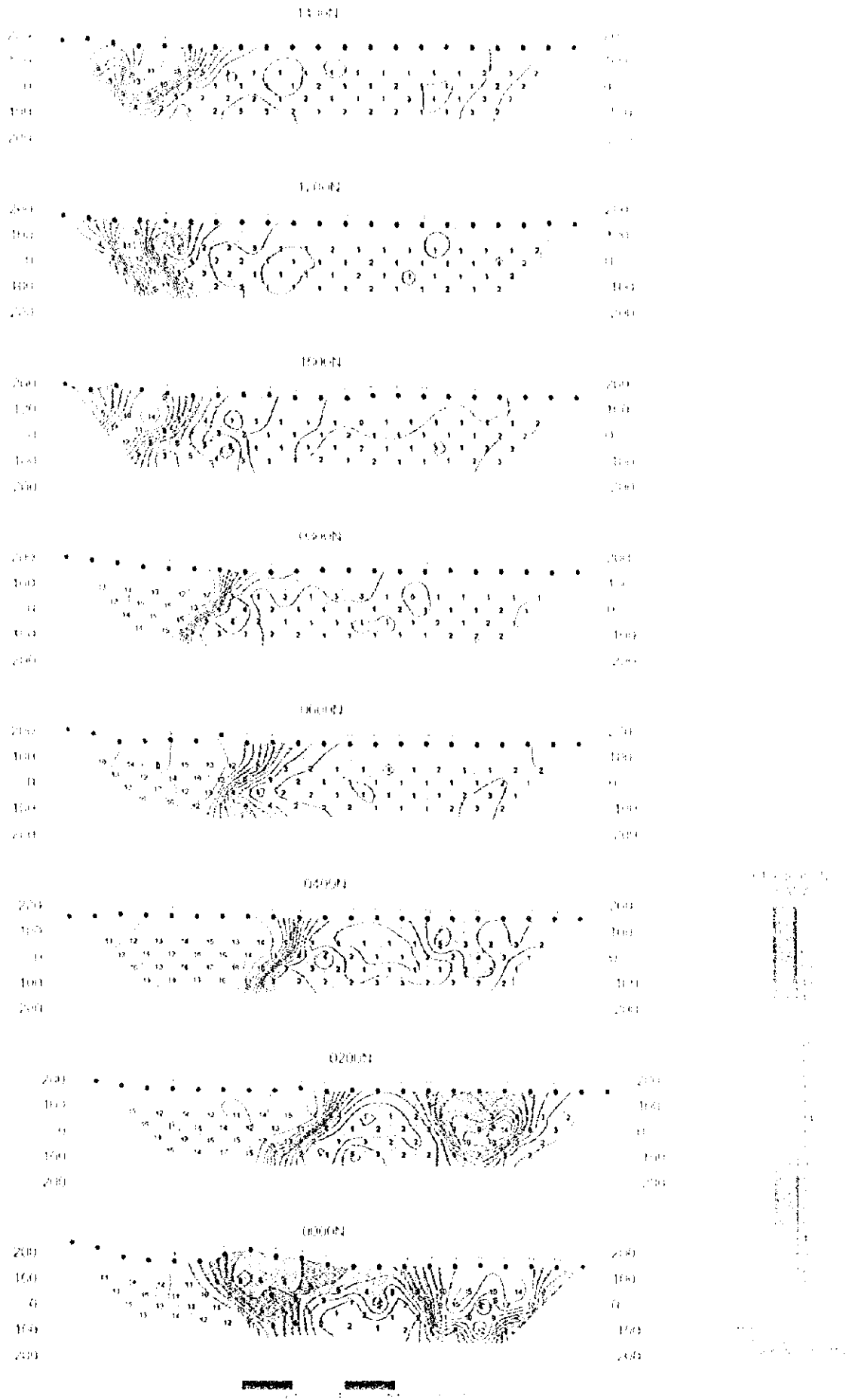


Fig. II-2-25 Chargeability pseudo-sections in Malah area

.....

.....

.....

.....

.....

.....

.....

.....

.....





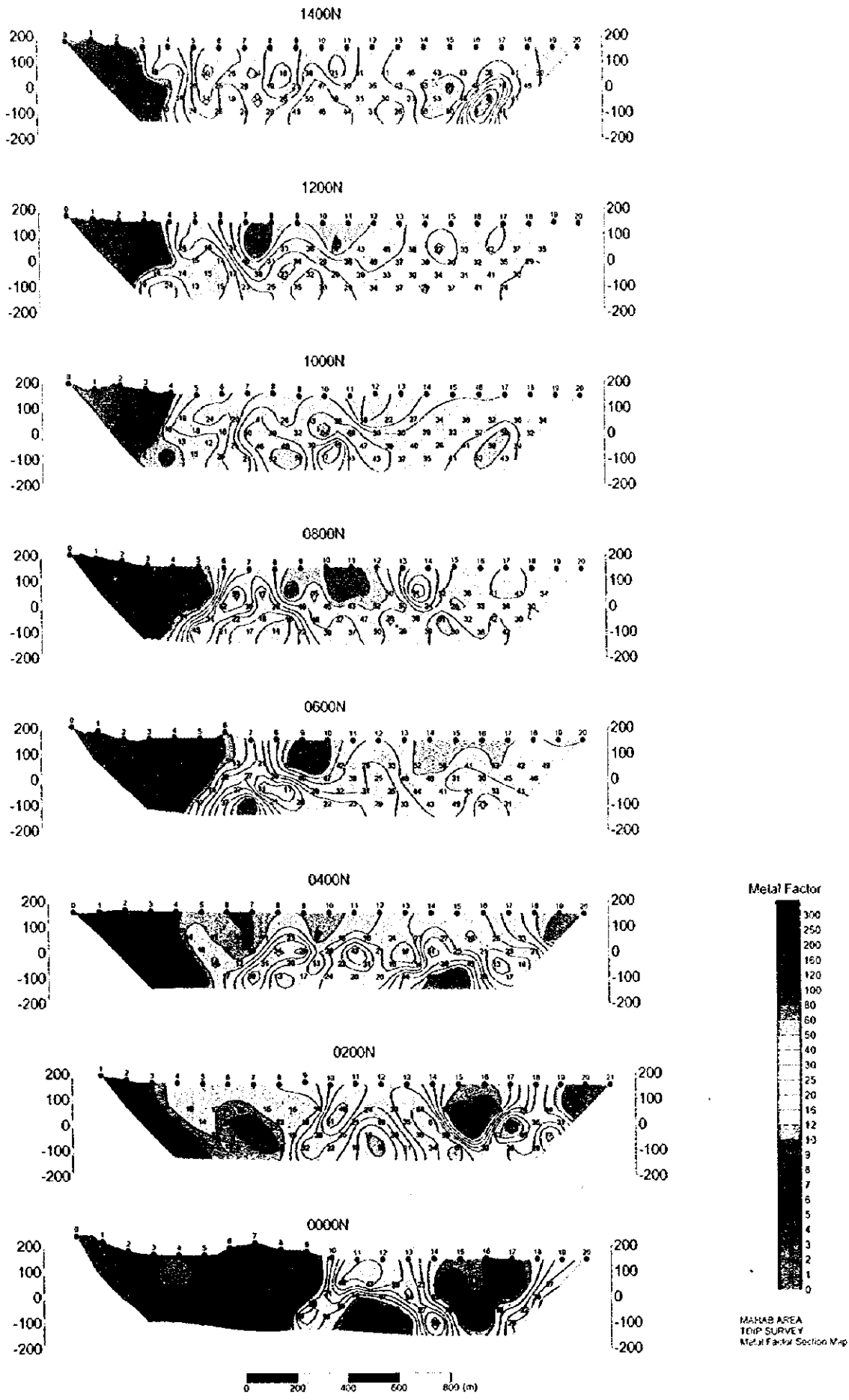


Fig. II-2-26 Metal factor pseudo-sections in Mahab area

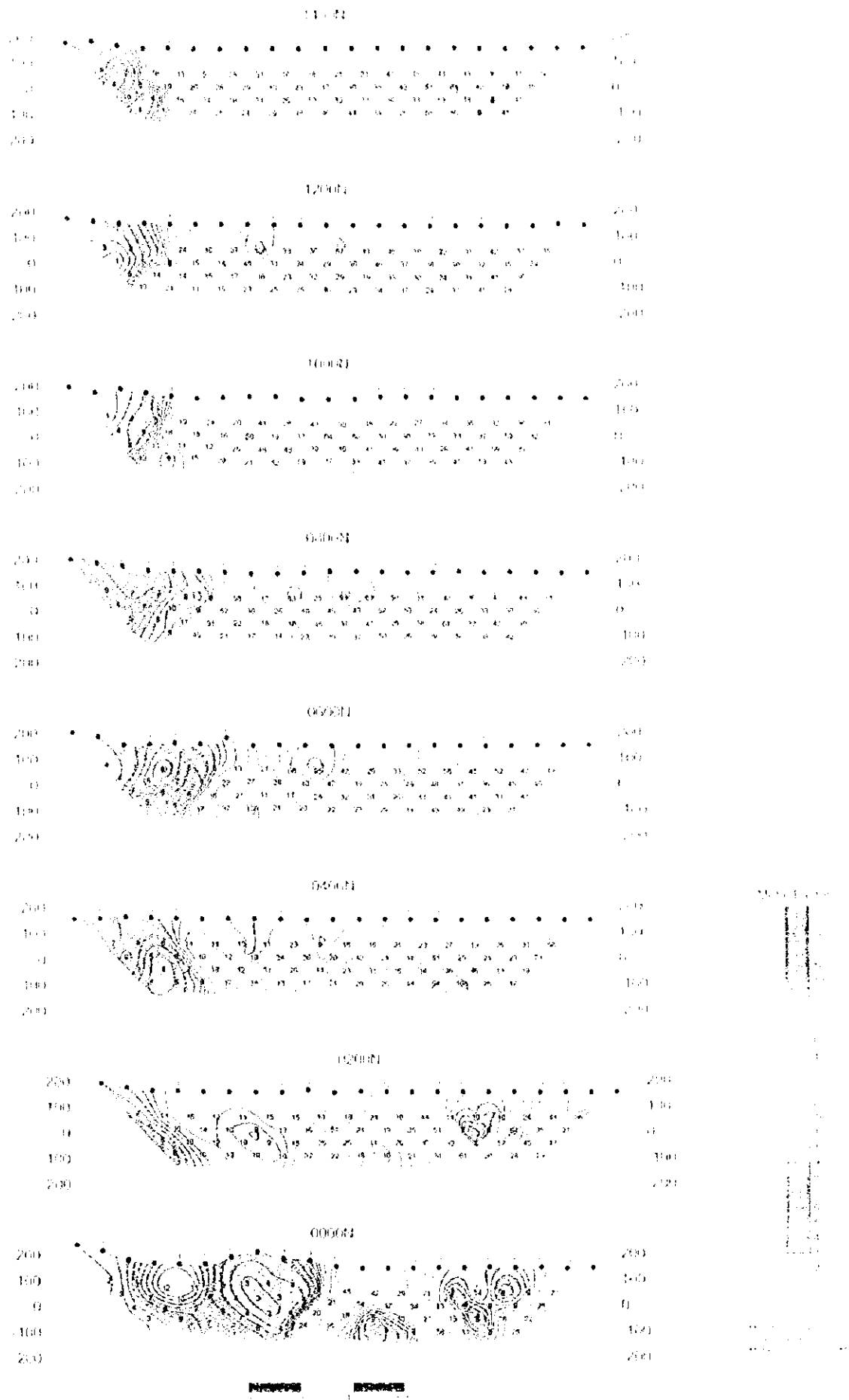


Fig. II-2-26 Metal factor pseudo section in Malak area

1. The first part of the document discusses the importance of maintaining accurate records of all transactions and activities. It emphasizes the need for transparency and accountability in financial reporting.

2. The second part of the document outlines the various methods and techniques used to collect and analyze data. It highlights the importance of using reliable sources and ensuring the accuracy of the information gathered.

3. The third part of the document focuses on the interpretation and analysis of the collected data. It discusses the various statistical tools and techniques used to identify trends and patterns in the data.

4. The fourth part of the document provides a detailed overview of the findings and conclusions drawn from the analysis. It discusses the implications of the results and offers recommendations for future research and action.

5. The fifth part of the document discusses the limitations of the study and the potential sources of error. It acknowledges the challenges faced during the data collection and analysis process and offers suggestions for improving the quality of the research.

6. The sixth part of the document provides a summary of the key findings and conclusions. It highlights the most significant results and offers a final assessment of the overall impact of the study.

7. The seventh part of the document discusses the broader implications of the research and its contribution to the field. It highlights the potential for future research and the importance of continued monitoring and evaluation.

8. The eighth part of the document provides a final summary and conclusion. It reiterates the key findings and offers a final assessment of the overall impact of the study.



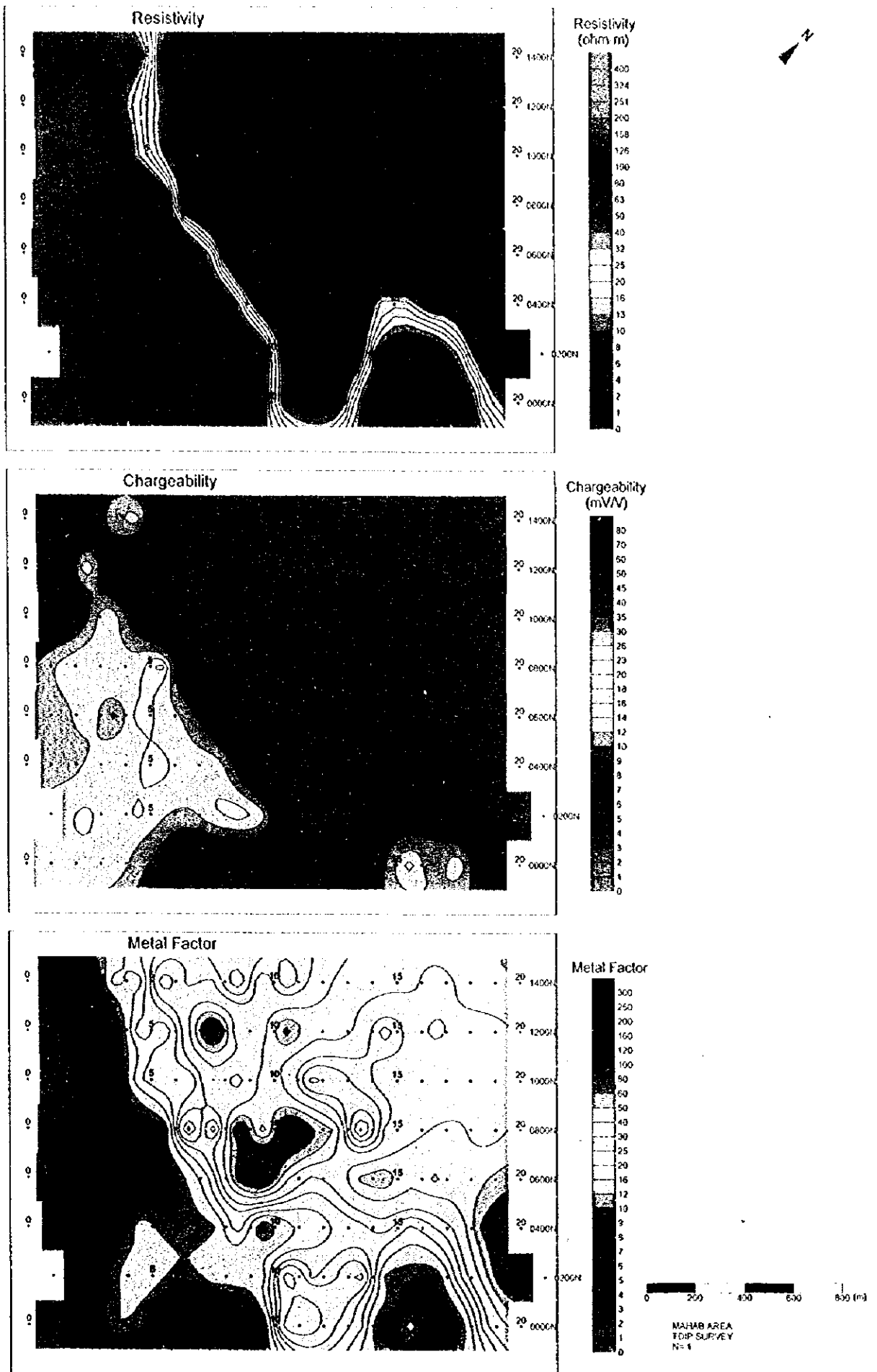


Fig. II-2-27 IP plane map of  $n=1$  in Mahab area

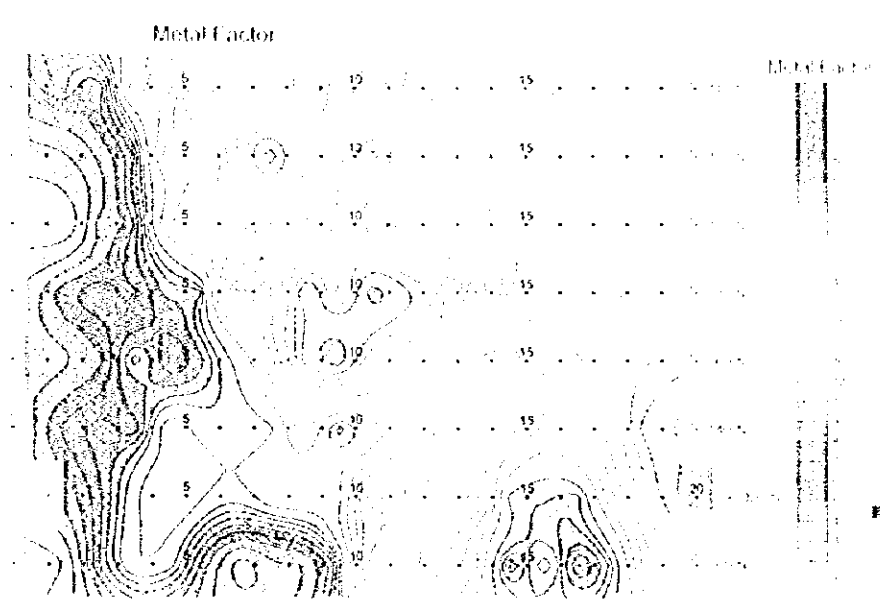
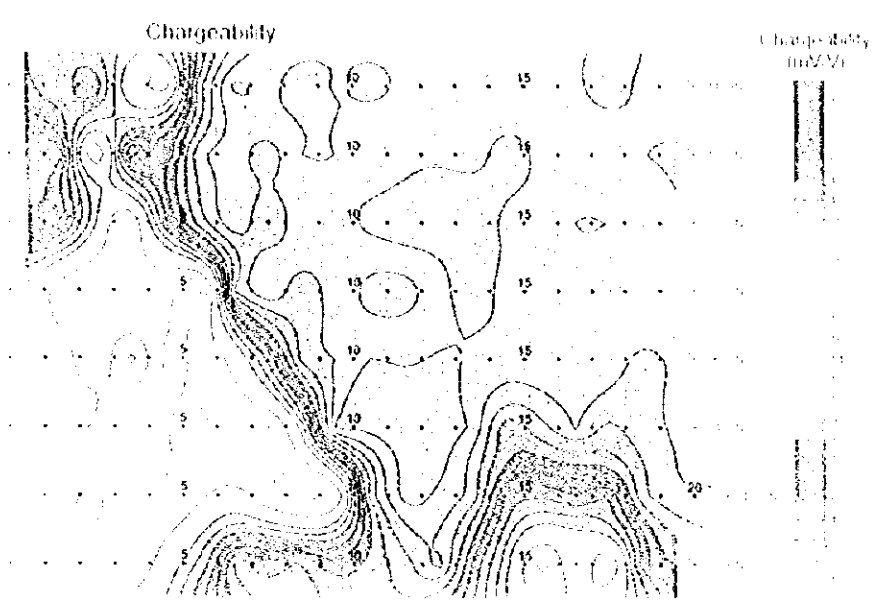
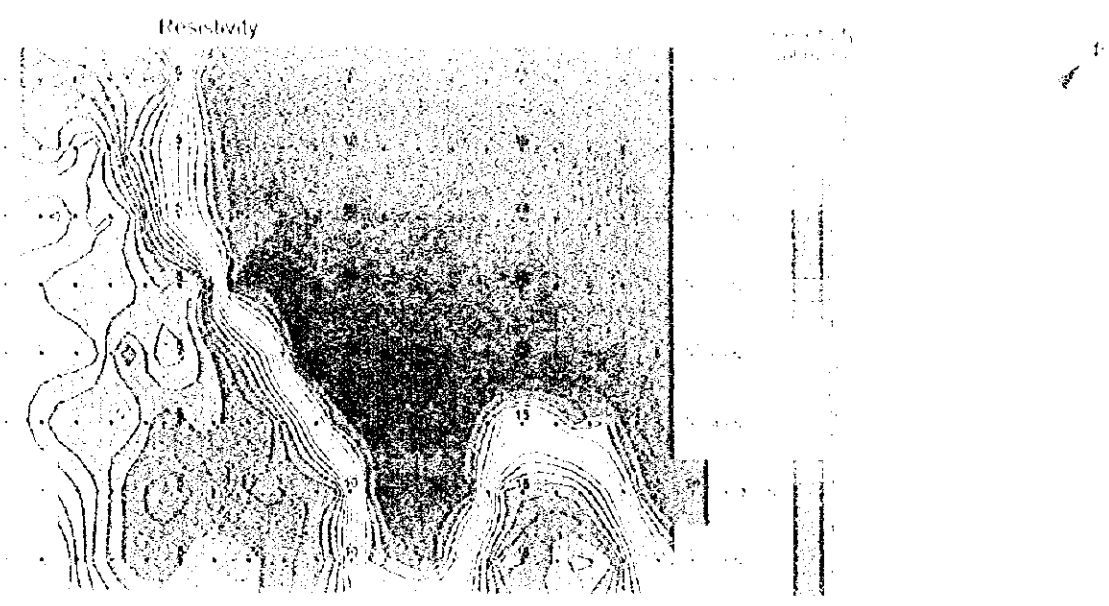


Fig. II-2-27 IP plane map of n. E in Mahab area  
121

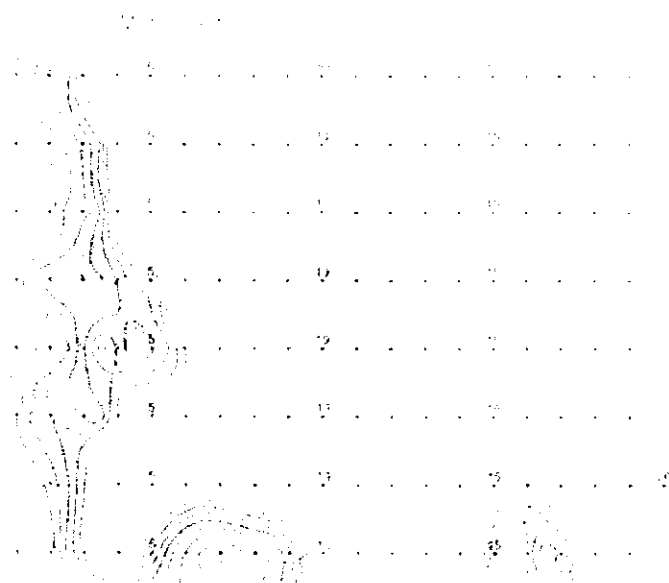
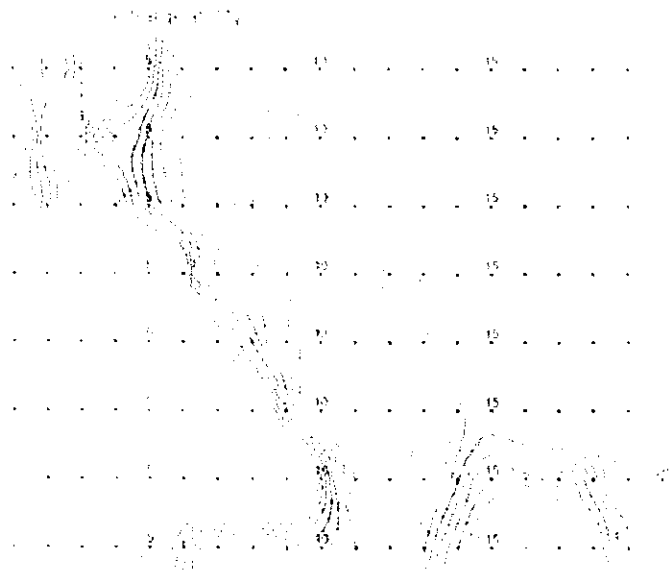
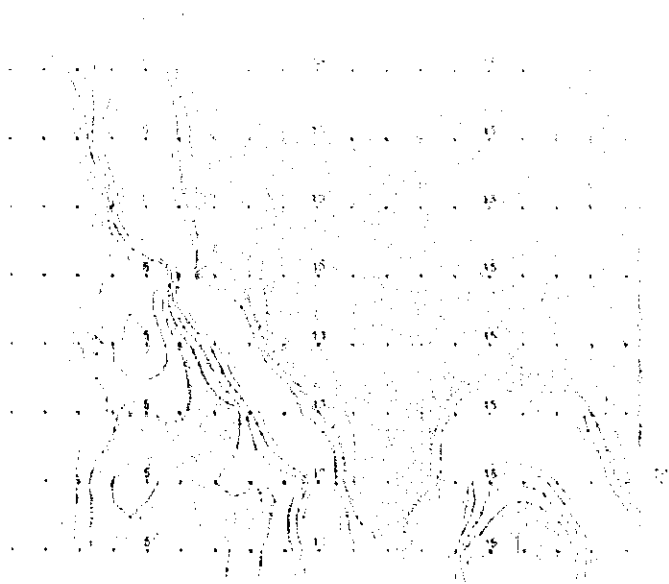


Figure 1: Contour plots of a function on a grid.





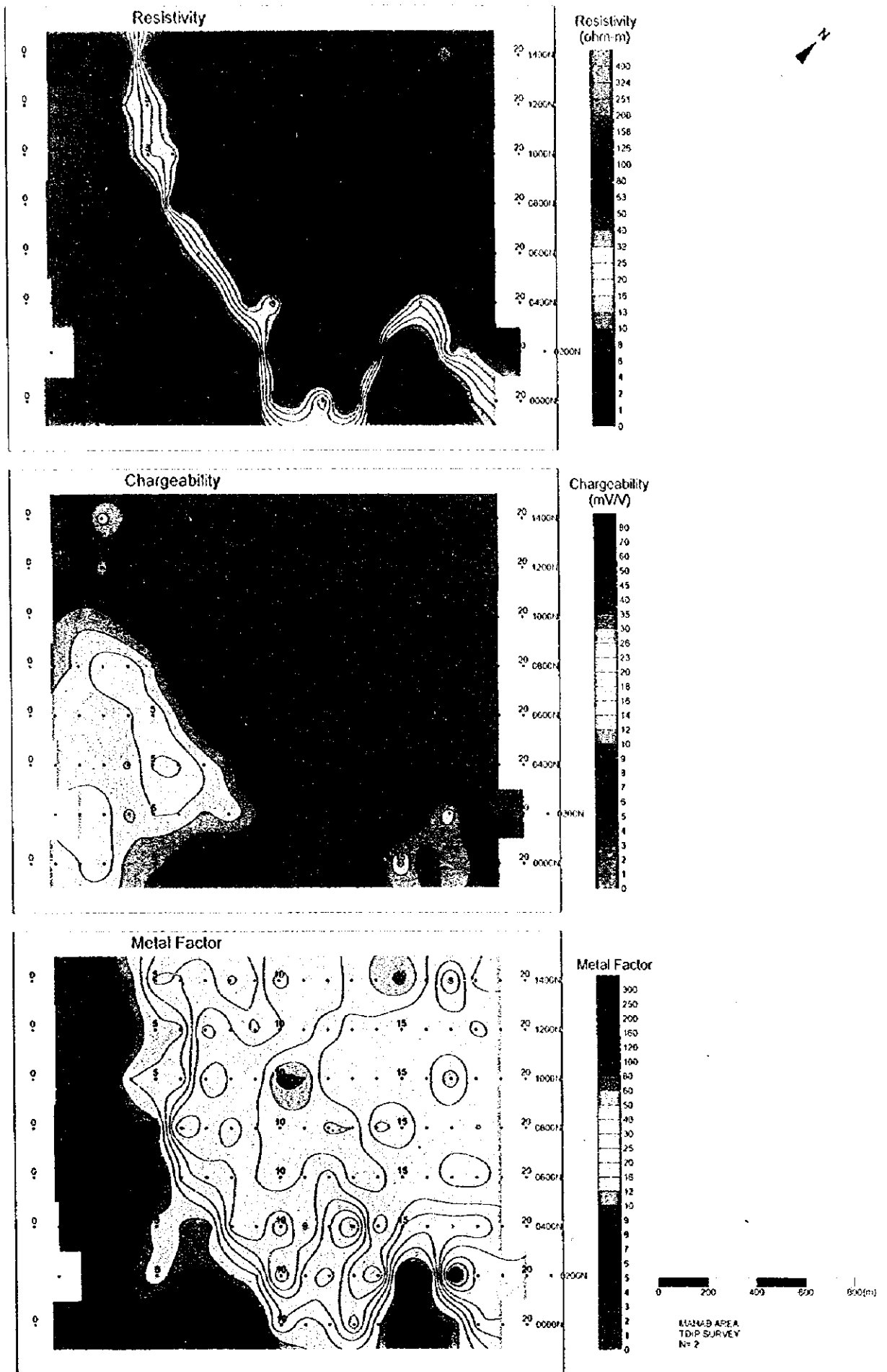


Fig. II -2-28 IP plane map of  $n=2$  in Mahab area

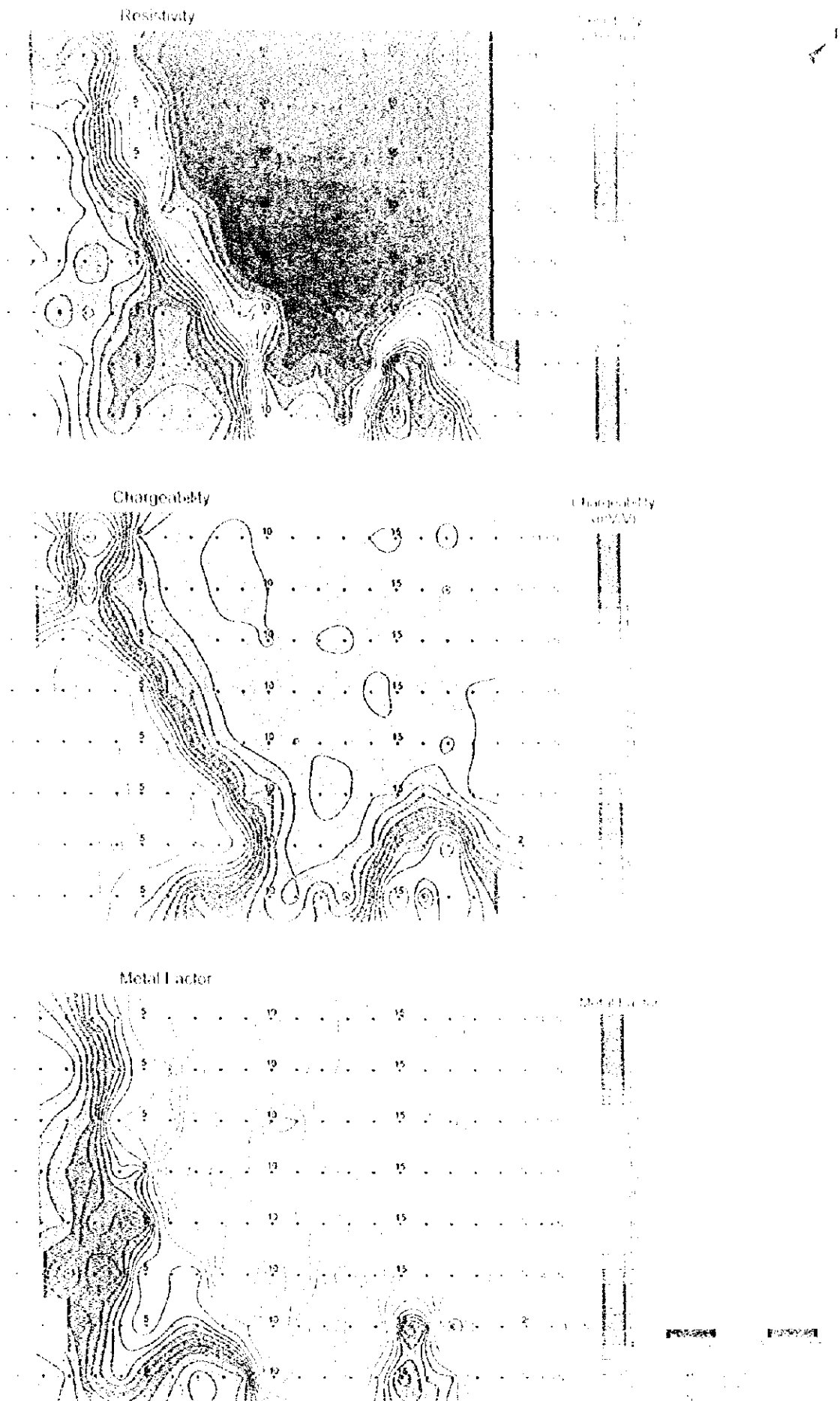


Fig. II-2-28 IP plane map of n<sub>2</sub> in Mahab area

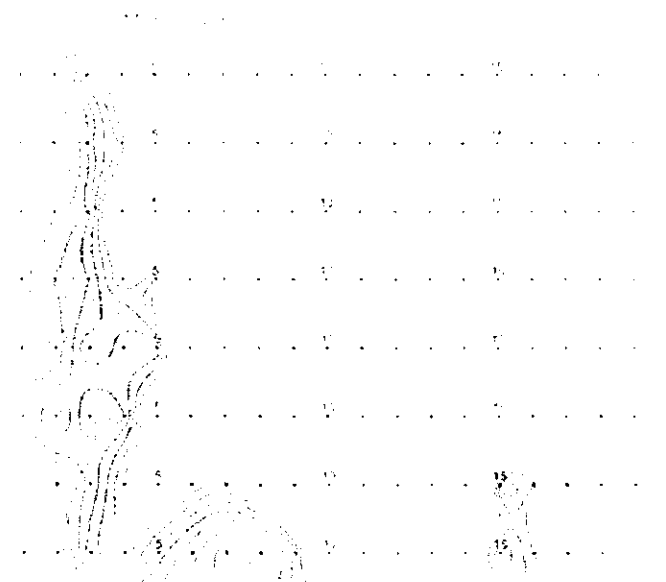
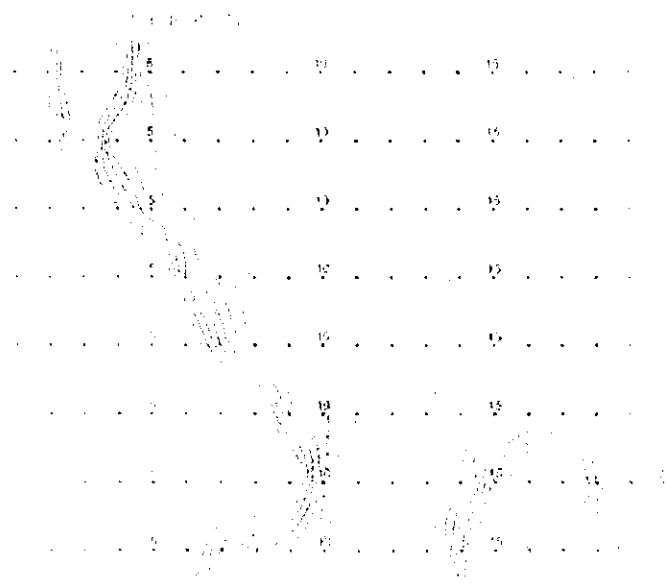
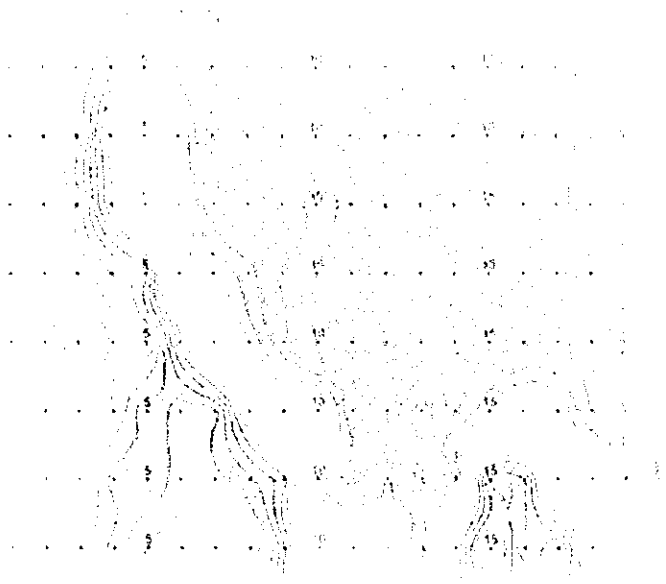


Figure 1: Secondary growth in a dicot stem.



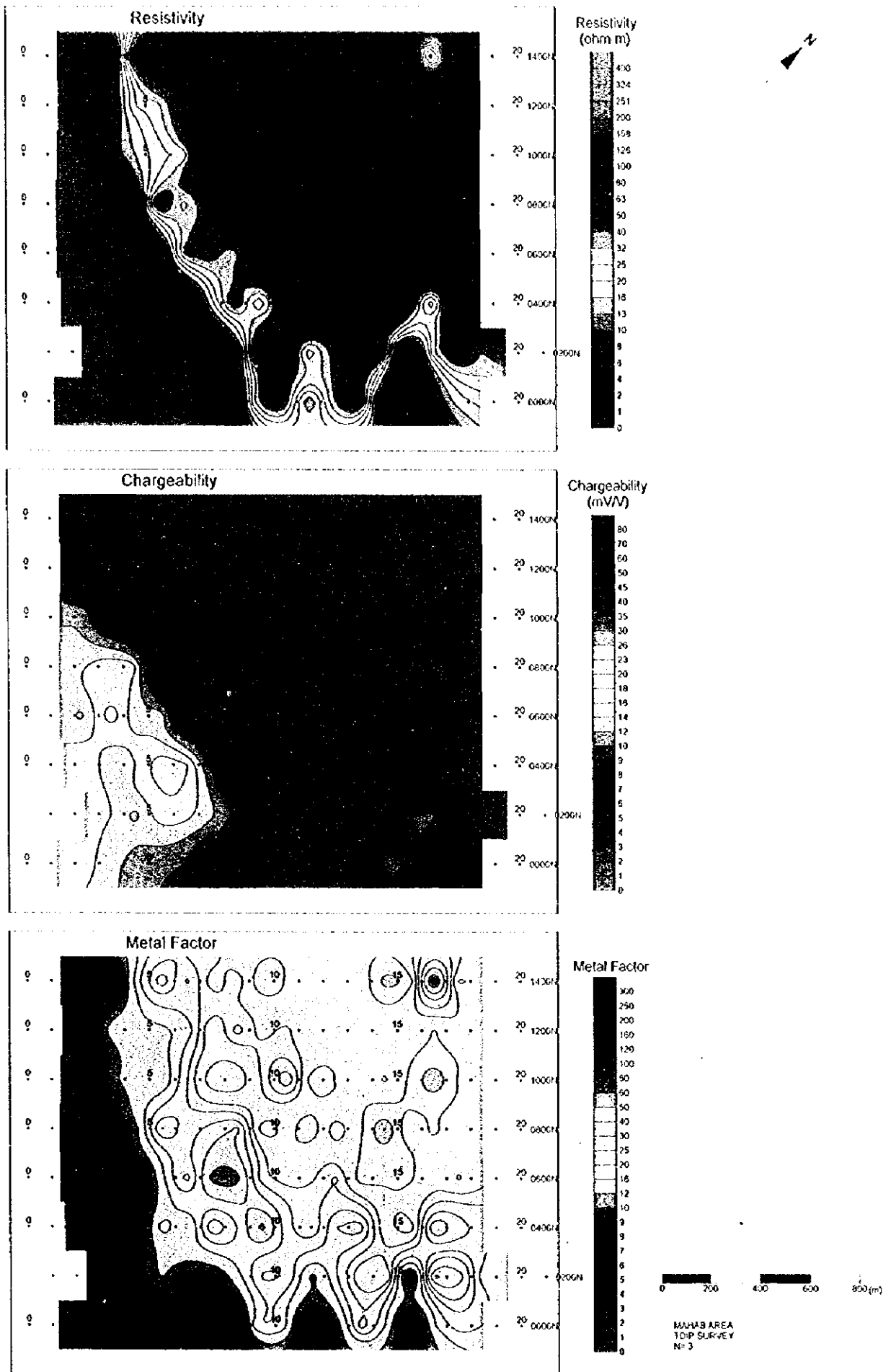


Fig. II -2-29 IP plane map of n=3 in Mahab area

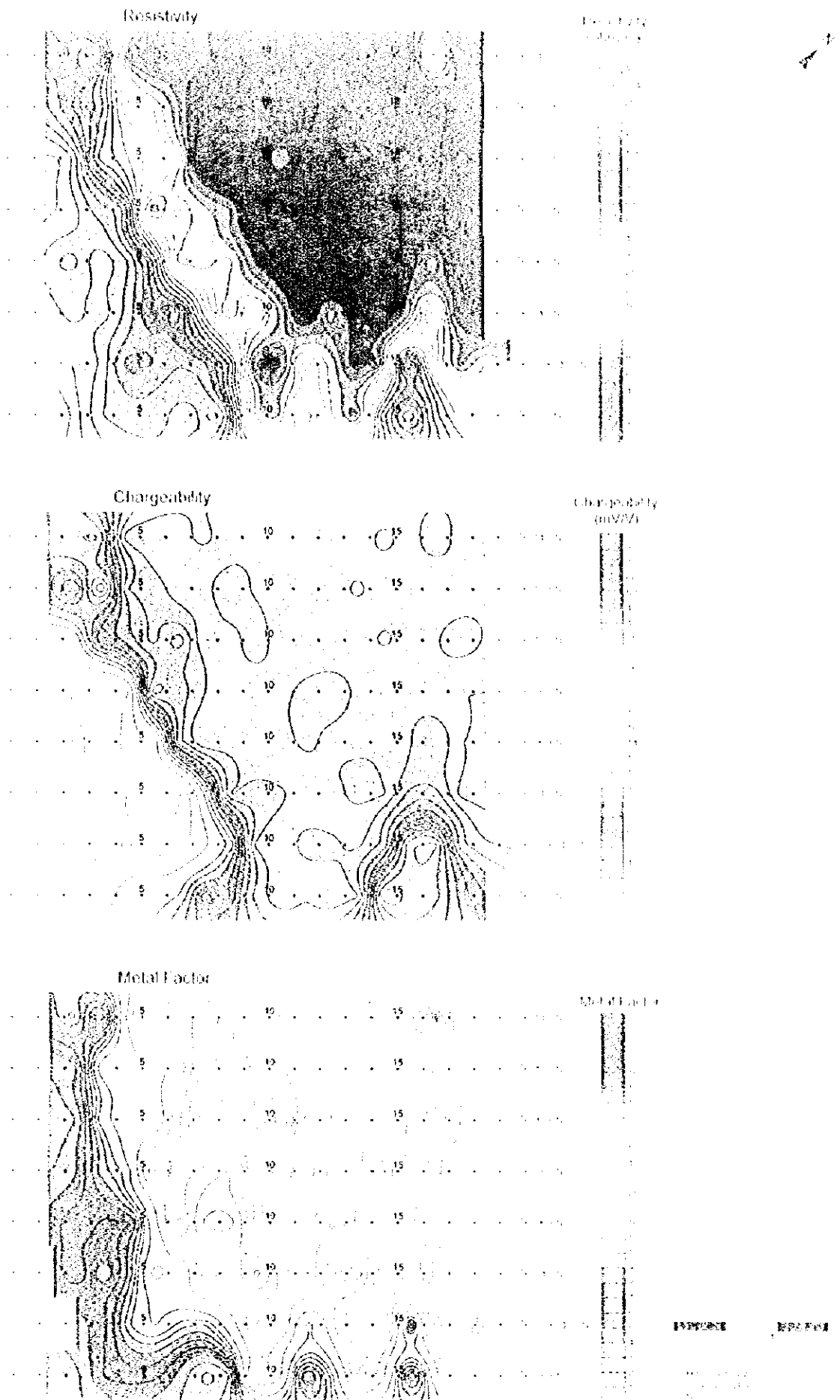
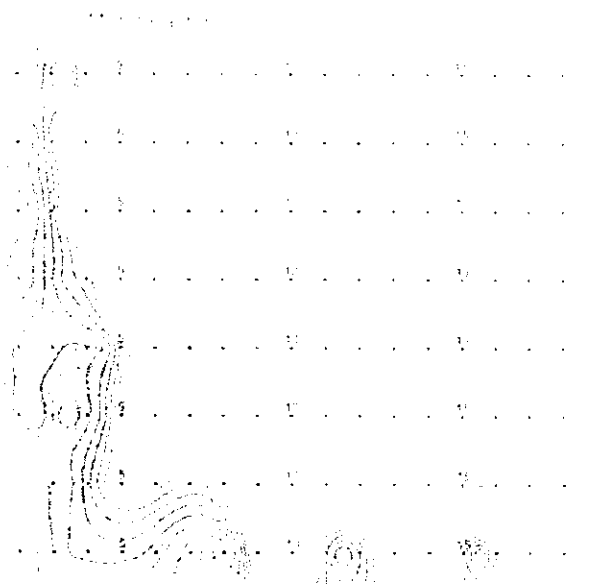
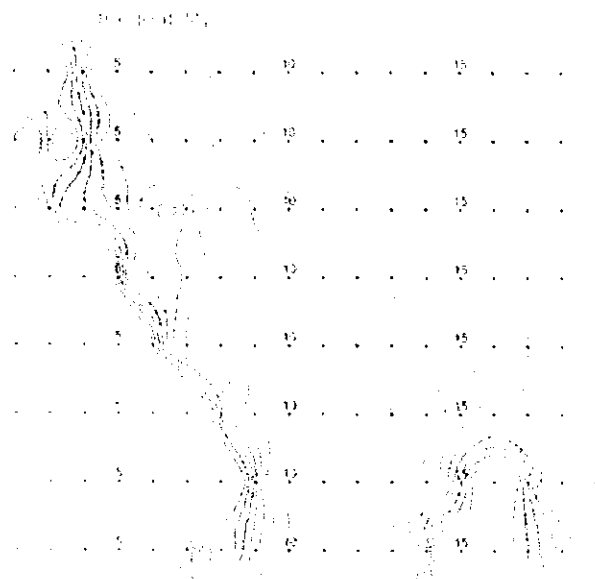
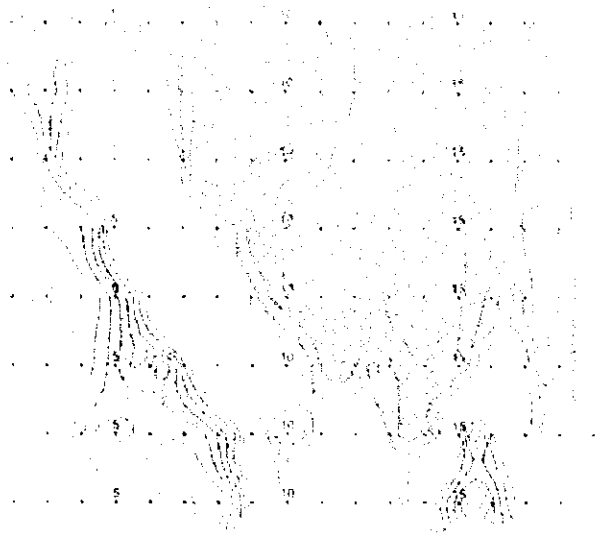


Fig. II-2-29 IP plane map of n-3 in Mdrab area







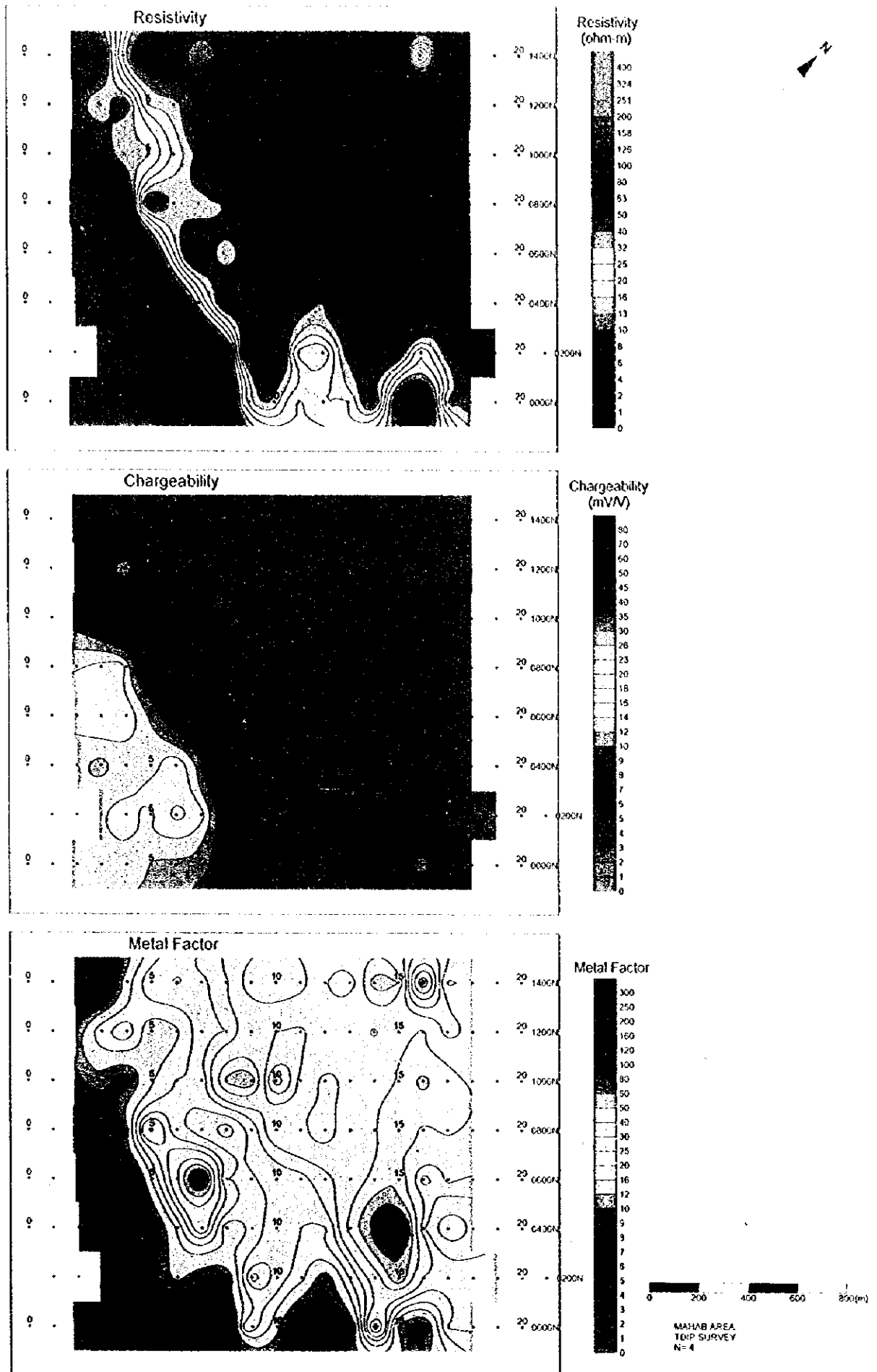


Fig. II -2-30 IP plane map of n=4 in Mahab area

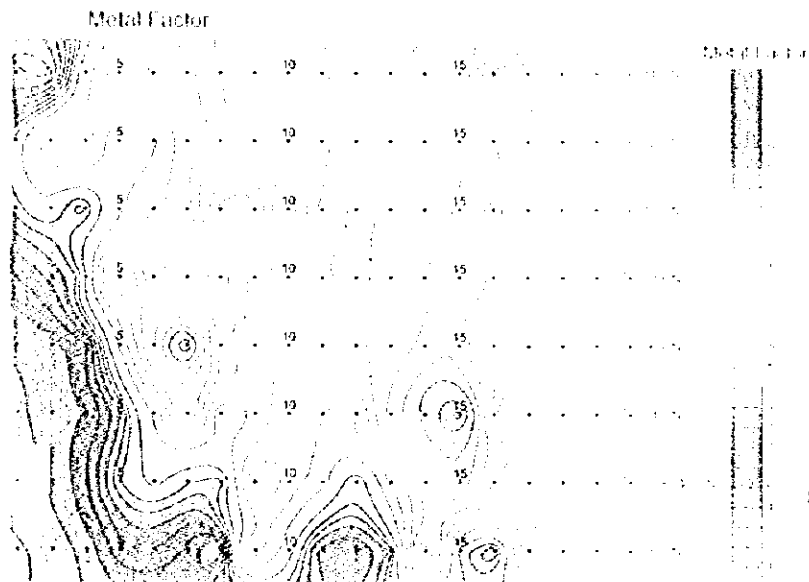
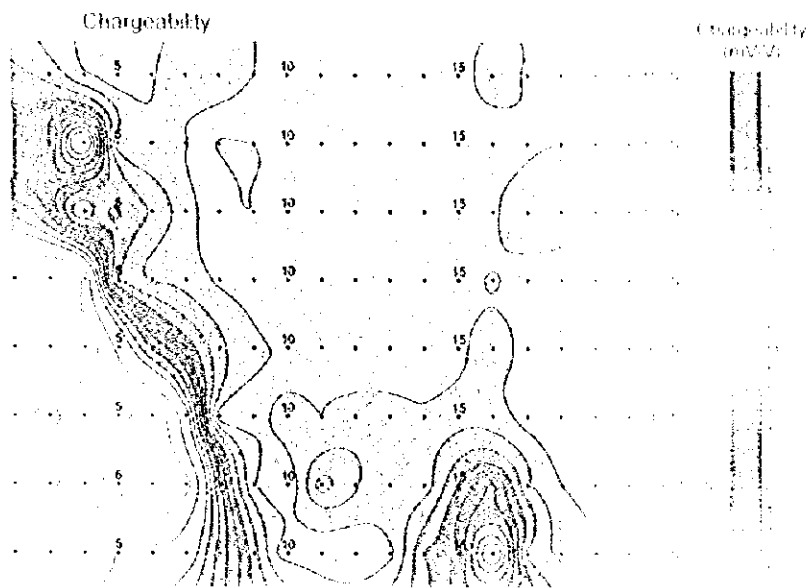
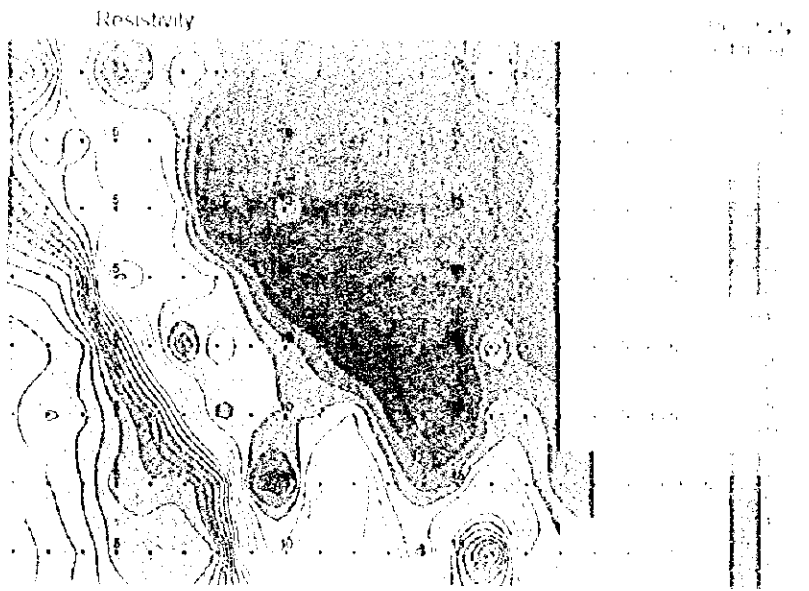


Fig. H-2-30 IP plane map of n. 1 in Mahab area

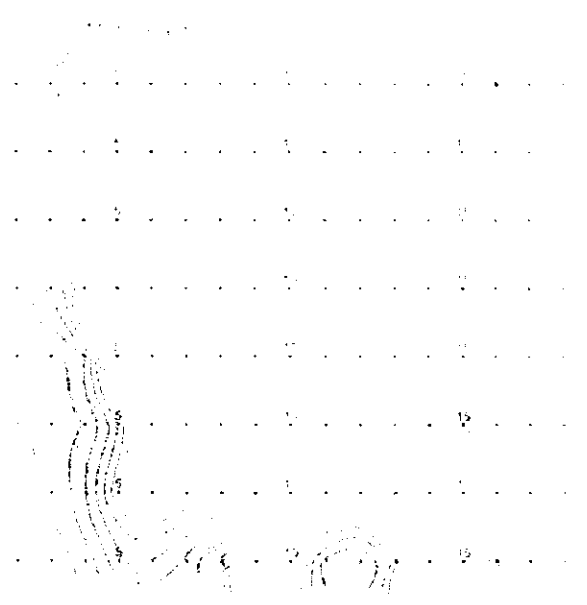
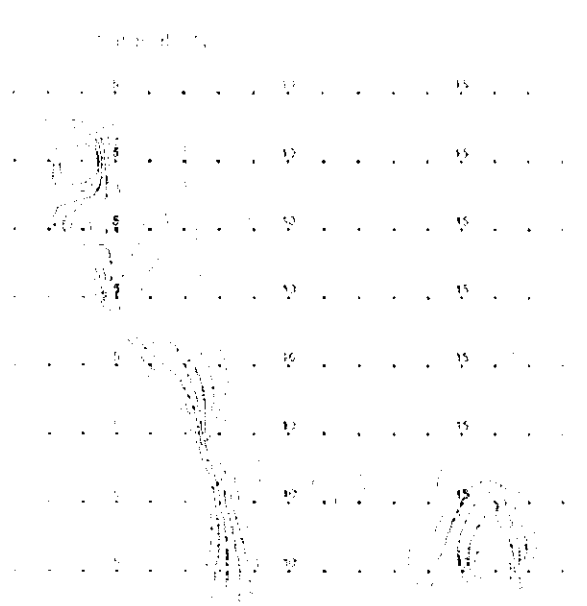
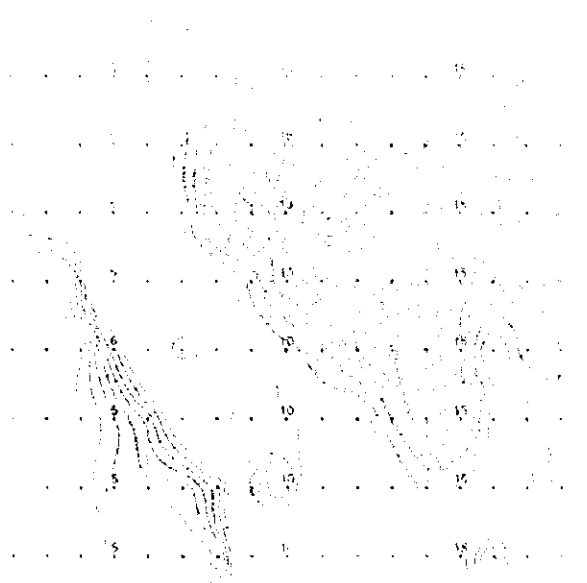


Figure 1, 2, 3



抗域の変化が急激なことから、この境界部に断層が予想される (Fig. II-2-24)。

分極率は、見掛比抵抗と同様な分布パターンを示し、南側で高分極率、北側で低分極率となっている (Fig. II-2-29)。

メタルファクターは極端に低い比抵抗の影響で広い範囲でやや高い値を示している (Fig. II-2-29)。分極率異常の認められる箇所では比抵抗も高いためメタルファクター異常は認められない。

### (3) 2次元解析結果

2次元解析は、全測線に対し行った。その内代表的な断面図について記載する (Fig. II-2-31)。

比抵抗は、見掛比抵抗断面図と同様に南側で高く、北側で低い。北側の低比抵抗域では、深度方向に層状の比抵抗変化がみられることから、堆積岩類が地表から中深部まで分布していると予想される。南側の高比抵抗域は噴出岩類の分布域と一致している。

分極率は、比抵抗とほぼ同じ分布パターンを示し、北側で低分極率、南側で高分極率となっている。この低分極率—高分極率の境界はほぼ垂直構造をなすことから、測点 7 付近に断層が予想される。

メタルファクターは、測点 6 から南側を除いて全体的に異常値を示している。しかしながら、これは極端に低い比抵抗によるもので、分極率が低いことから鉱化作用に関係しない異常である。

## 2-5-5 ハラキラブ地区

### (1) 測線設定

本地区では測線長 3.0km の測線 (3200N~3800N) を 4 本、測線長 2.0km の測線 (000N~3000N) を 16 本の計 20 本設定した。測線長は合計で 44.0km で、測線の方向は EW である。

測線位置を Fig. II-2-23 に示す。

### (2) 測定結果

見掛比抵抗、分極率及びメタルファクターの断面図をそれぞれ Fig. II-2-32(1)~Fig. II-2-32(3), Fig. II-2-33(1)~Fig. II-2-33(3), Fig. II-2-34(1)~Fig. II-2-34(3)に、また平面図を Fig. II-2-35~Fig. II-2-38 に示す。

見掛比抵抗は、測線 3000N 以北で西北西—東南東、以南で北北西—南南東の構造を示し、全体的に西側で高比抵抗、東側で低比抵抗となっている (Fig. II-2-37)。西側の高比抵抗はシート状岩脈、下部噴出岩類、トロニエマイトの貫入岩などによるものと考えられる。測線 3200N 以北の東側の扇状地堆積物及びワジが分布する範囲は  $10\Omega\cdot\text{m}$  以下の低比抵抗を示している。測線 2800N 以南の東側では北北西—南南東の方向に中~低比抵抗が分布するが、その中で測線 2200N の測点 15, 16 付近を中心とする南北に 400m ほど延びる低比抵抗帯が N=2 から N=4 にかけて認められる (Fig. II-2-37)。地区南部では、測線 800N の測点 15 付近で小規模な低比抵抗が N=3,



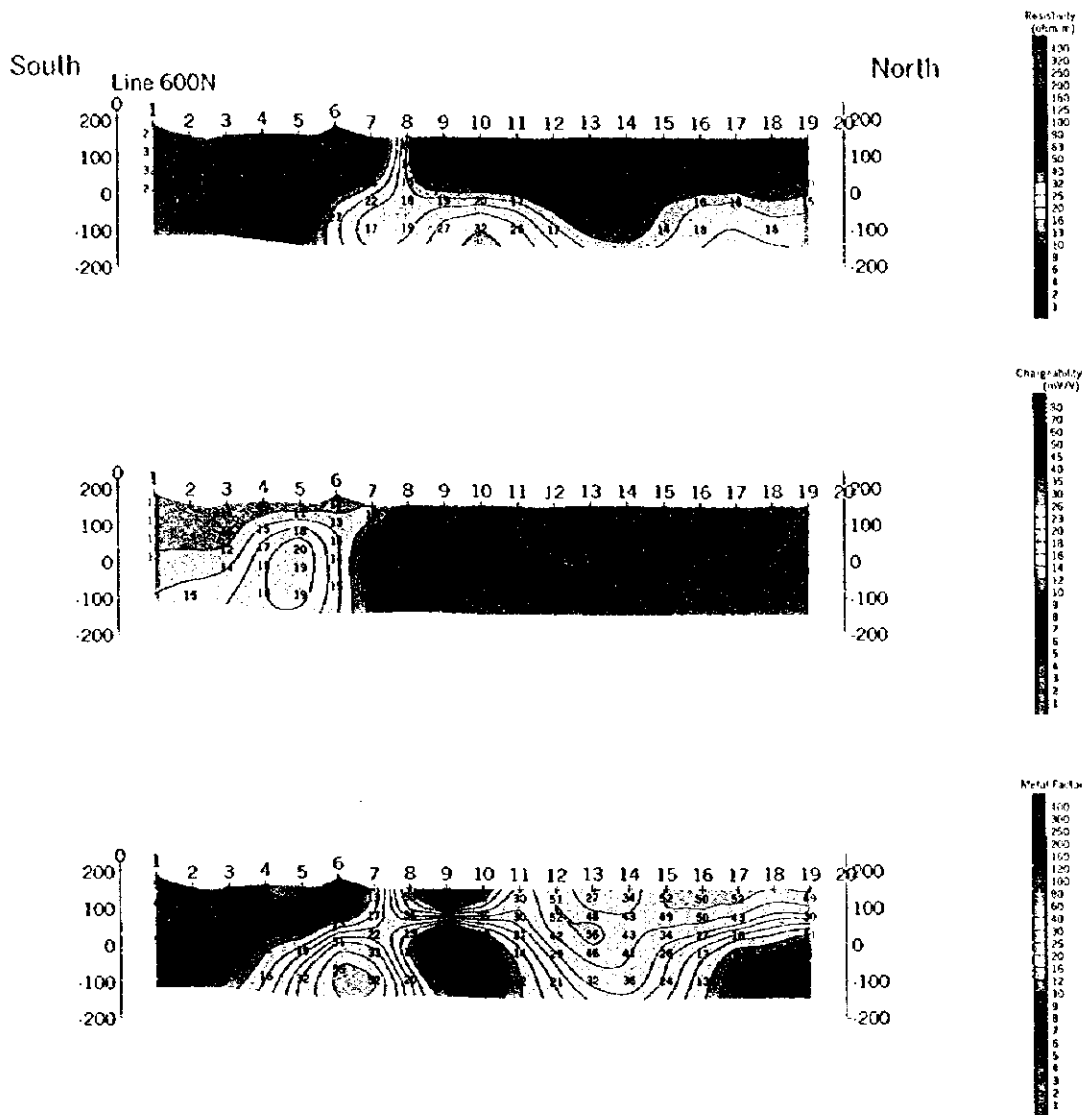


Fig. II -2-31 IP 2D model simulation on line 800N in Mahab area

South Line 800N North

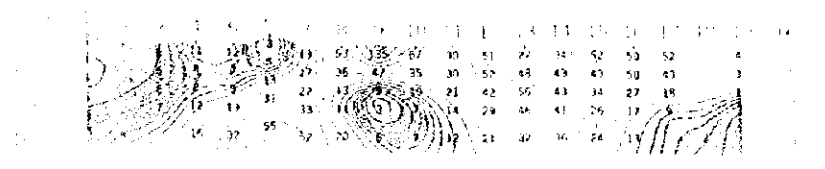
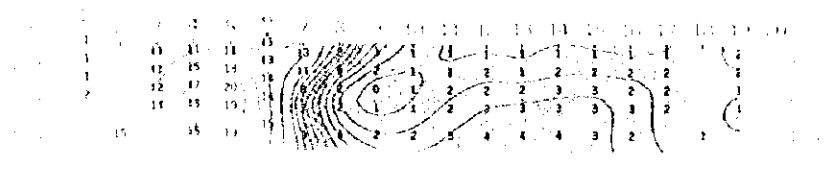
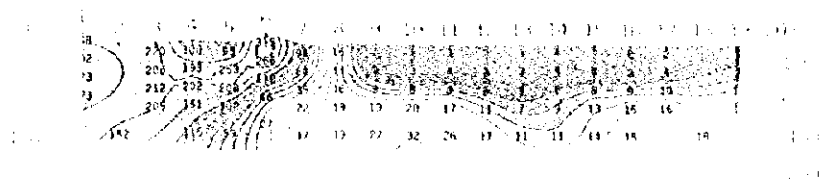


Fig. II-2-31 IP 2D model simulation on line 800N in Mifeng area



1	112	147	178	210	243	276	310	344	378	412	446	480	514	548	582	616	650	684	718	752	786	820	854	888	922	956	990	1024	1058	1092	1126	1160	1194	1228	1262	1296	1330	1364	1398	1432	1466	1500	1534	1568	1602	1636	1670	1704	1738	1772	1806	1840	1874	1908	1942	1976	2010	2044	2078	2112	2146	2180	2214	2248	2282	2316	2350	2384	2418	2452	2486	2520	2554	2588	2622	2656	2690	2724	2758	2792	2826	2860	2894	2928	2962	2996	3030	3064	3098	3132	3166	3200	3234	3268	3302	3336	3370	3404	3438	3472	3506	3540	3574	3608	3642	3676	3710	3744	3778	3812	3846	3880	3914	3948	3982	4016	4050	4084	4118	4152	4186	4220	4254	4288	4322	4356	4390	4424	4458	4492	4526	4560	4594	4628	4662	4696	4730	4764	4798	4832	4866	4900	4934	4968	5002	5036	5070	5104	5138	5172	5206	5240	5274	5308	5342	5376	5410	5444	5478	5512	5546	5580	5614	5648	5682	5716	5750	5784	5818	5852	5886	5920	5954	5988	6022	6056	6090	6124	6158	6192	6226	6260	6294	6328	6362	6396	6430	6464	6498	6532	6566	6600	6634	6668	6702	6736	6770	6804	6838	6872	6906	6940	6974	7008	7042	7076	7110	7144	7178	7212	7246	7280	7314	7348	7382	7416	7450	7484	7518	7552	7586	7620	7654	7688	7722	7756	7790	7824	7858	7892	7926	7960	7994	8028	8062	8096	8130	8164	8198	8232	8266	8300	8334	8368	8402	8436	8470	8504	8538	8572	8606	8640	8674	8708	8742	8776	8810	8844	8878	8912	8946	8980	9014	9048	9082	9116	9150	9184	9218	9252	9286	9320	9354	9388	9422	9456	9490	9524	9558	9592	9626	9660	9694	9728	9762	9796	9830	9864	9898	9932	9966	10000
---	-----	-----	-----	-----	-----	-----	-----	-----	-----	-----	-----	-----	-----	-----	-----	-----	-----	-----	-----	-----	-----	-----	-----	-----	-----	-----	-----	------	------	------	------	------	------	------	------	------	------	------	------	------	------	------	------	------	------	------	------	------	------	------	------	------	------	------	------	------	------	------	------	------	------	------	------	------	------	------	------	------	------	------	------	------	------	------	------	------	------	------	------	------	------	------	------	------	------	------	------	------	------	------	------	------	------	------	------	------	------	------	------	------	------	------	------	------	------	------	------	------	------	------	------	------	------	------	------	------	------	------	------	------	------	------	------	------	------	------	------	------	------	------	------	------	------	------	------	------	------	------	------	------	------	------	------	------	------	------	------	------	------	------	------	------	------	------	------	------	------	------	------	------	------	------	------	------	------	------	------	------	------	------	------	------	------	------	------	------	------	------	------	------	------	------	------	------	------	------	------	------	------	------	------	------	------	------	------	------	------	------	------	------	------	------	------	------	------	------	------	------	------	------	------	------	------	------	------	------	------	------	------	------	------	------	------	------	------	------	------	------	------	------	------	------	------	------	------	------	------	------	------	------	------	------	------	------	------	------	------	------	------	------	------	------	------	------	------	------	------	------	------	------	------	------	------	------	------	------	------	------	------	------	------	------	------	------	------	------	------	------	------	------	------	------	------	------	------	------	------	------	------	------	------	-------

1	11	21	31	41	51	61	71	81	91	101	111	121	131	141	151	161	171	181	191	201	211	221	231	241	251	261	271	281	291	301	311	321	331	341	351	361	371	381	391	401	411	421	431	441	451	461	471	481	491	501	511	521	531	541	551	561	571	581	591	601	611	621	631	641	651	661	671	681	691	701	711	721	731	741	751	761	771	781	791	801	811	821	831	841	851	861	871	881	891	901	911	921	931	941	951	961	971	981	991	1001
---	----	----	----	----	----	----	----	----	----	-----	-----	-----	-----	-----	-----	-----	-----	-----	-----	-----	-----	-----	-----	-----	-----	-----	-----	-----	-----	-----	-----	-----	-----	-----	-----	-----	-----	-----	-----	-----	-----	-----	-----	-----	-----	-----	-----	-----	-----	-----	-----	-----	-----	-----	-----	-----	-----	-----	-----	-----	-----	-----	-----	-----	-----	-----	-----	-----	-----	-----	-----	-----	-----	-----	-----	-----	-----	-----	-----	-----	-----	-----	-----	-----	-----	-----	-----	-----	-----	-----	-----	-----	-----	-----	-----	-----	-----	-----	-----	------

1	11	21	31	41	51	61	71	81	91	101	111	121	131	141	151	161	171	181	191	201	211	221	231	241	251	261	271	281	291	301	311	321	331	341	351	361	371	381	391	401	411	421	431	441	451	461	471	481	491	501	511	521	531	541	551	561	571	581	591	601	611	621	631	641	651	661	671	681	691	701	711	721	731	741	751	761	771	781	791	801	811	821	831	841	851	861	871	881	891	901	911	921	931	941	951	961	971	981	991	1001
---	----	----	----	----	----	----	----	----	----	-----	-----	-----	-----	-----	-----	-----	-----	-----	-----	-----	-----	-----	-----	-----	-----	-----	-----	-----	-----	-----	-----	-----	-----	-----	-----	-----	-----	-----	-----	-----	-----	-----	-----	-----	-----	-----	-----	-----	-----	-----	-----	-----	-----	-----	-----	-----	-----	-----	-----	-----	-----	-----	-----	-----	-----	-----	-----	-----	-----	-----	-----	-----	-----	-----	-----	-----	-----	-----	-----	-----	-----	-----	-----	-----	-----	-----	-----	-----	-----	-----	-----	-----	-----	-----	-----	-----	-----	-----	-----	------



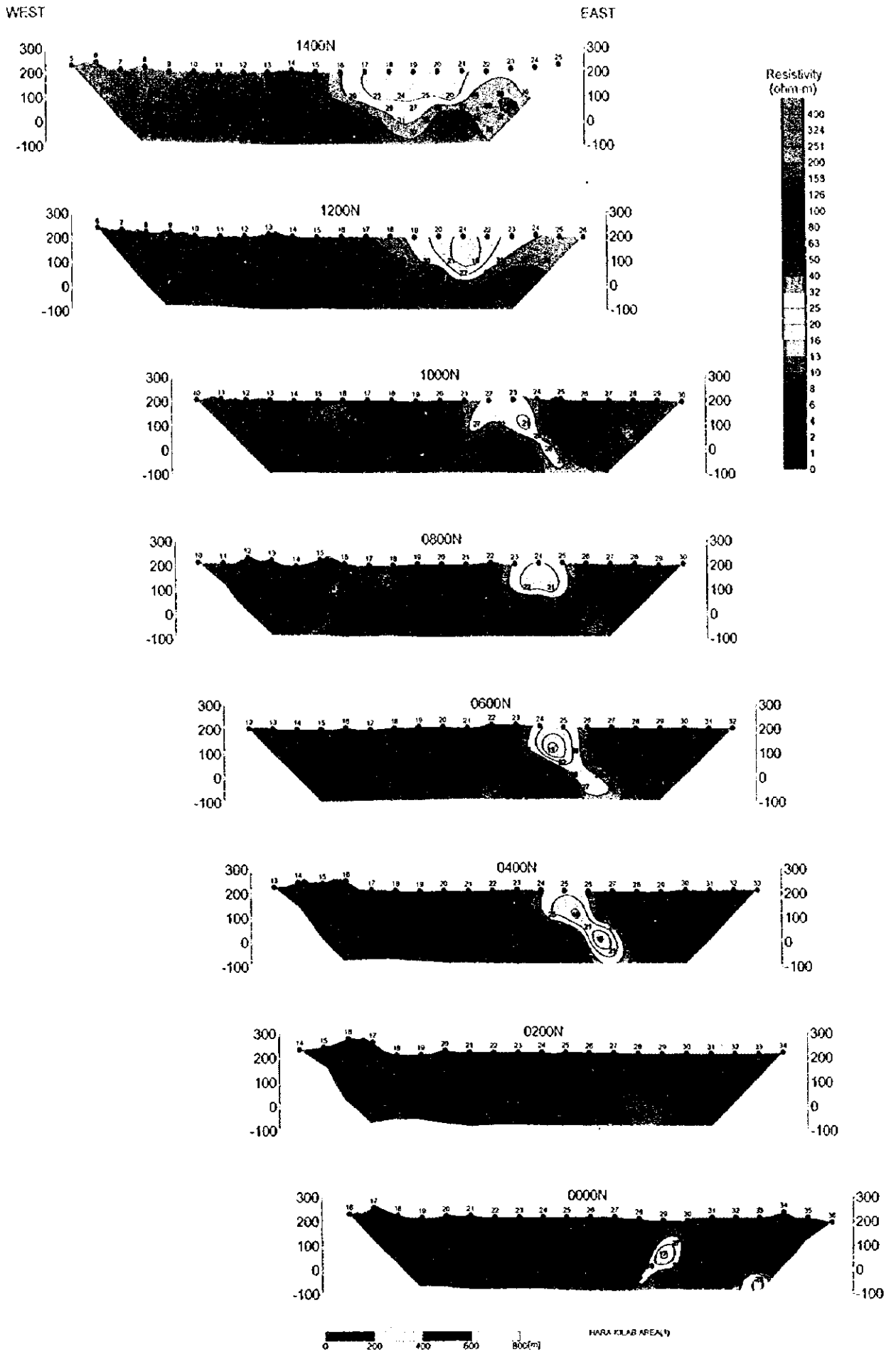


Fig. II-2-32(t) Apparent resistivity pseudo-sections in Hara Kilab area

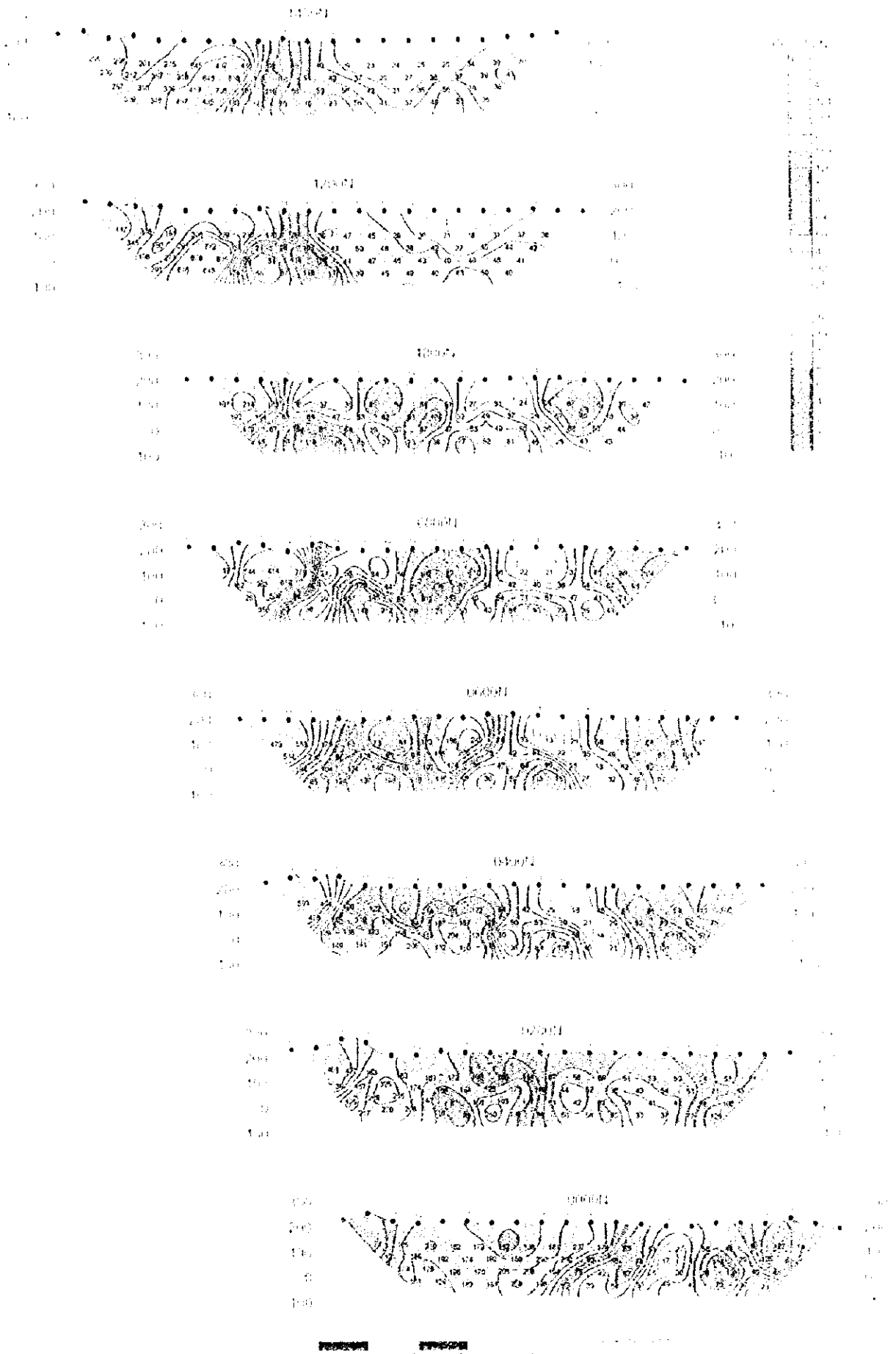


Fig. II-2-52(1) Apparent resistivity pseudo-section, in Hara-Kilab area

.....  
.....  
.....

.....  
.....  
.....

.....  
.....  
.....

.....  
.....  
.....

.....  
.....  
.....

.....  
.....  
.....

.....  
.....  
.....

.....  
.....  
.....



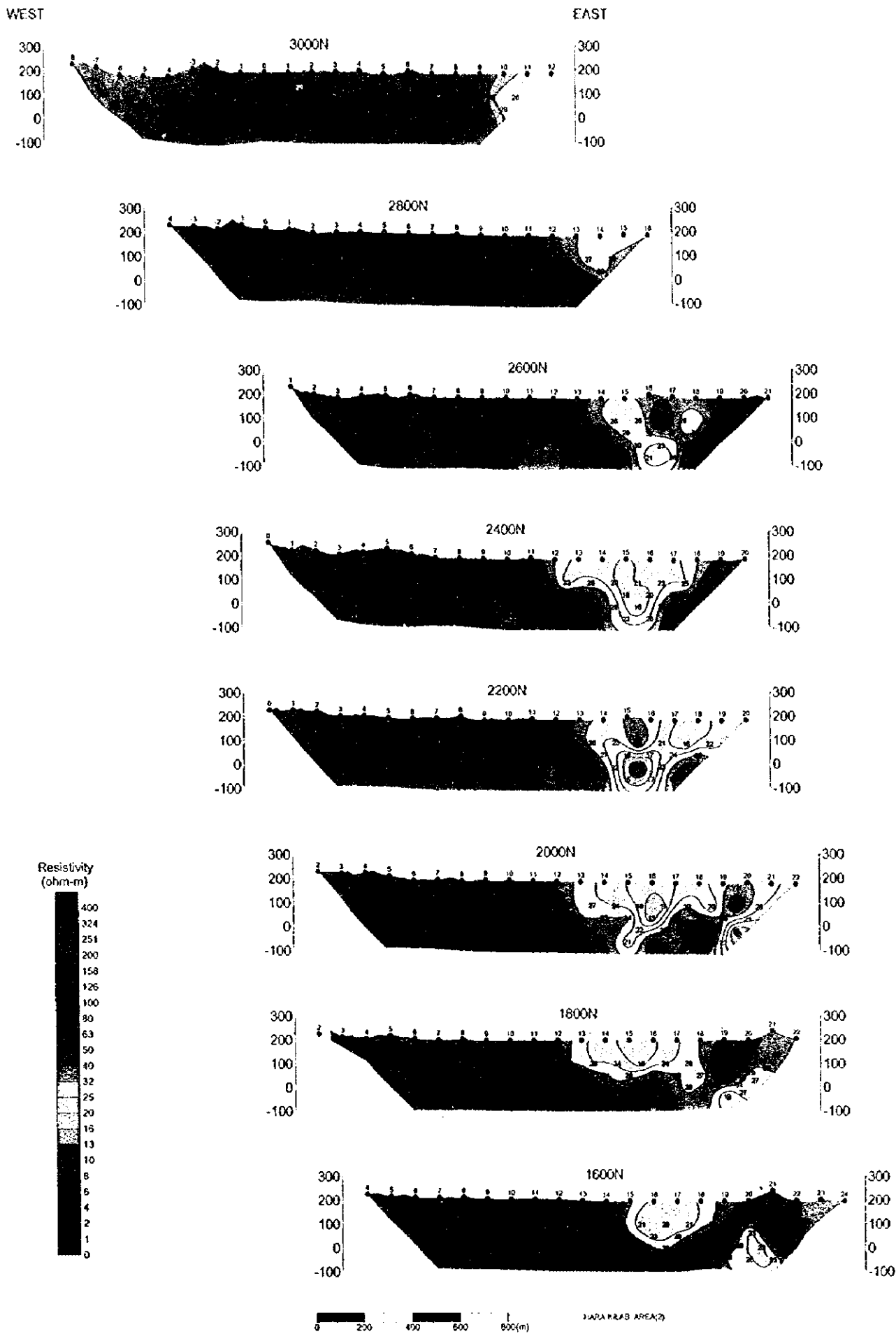


Fig. II -2-32(2) Apparent resistivity pseudo-sections in Hara Kilab area

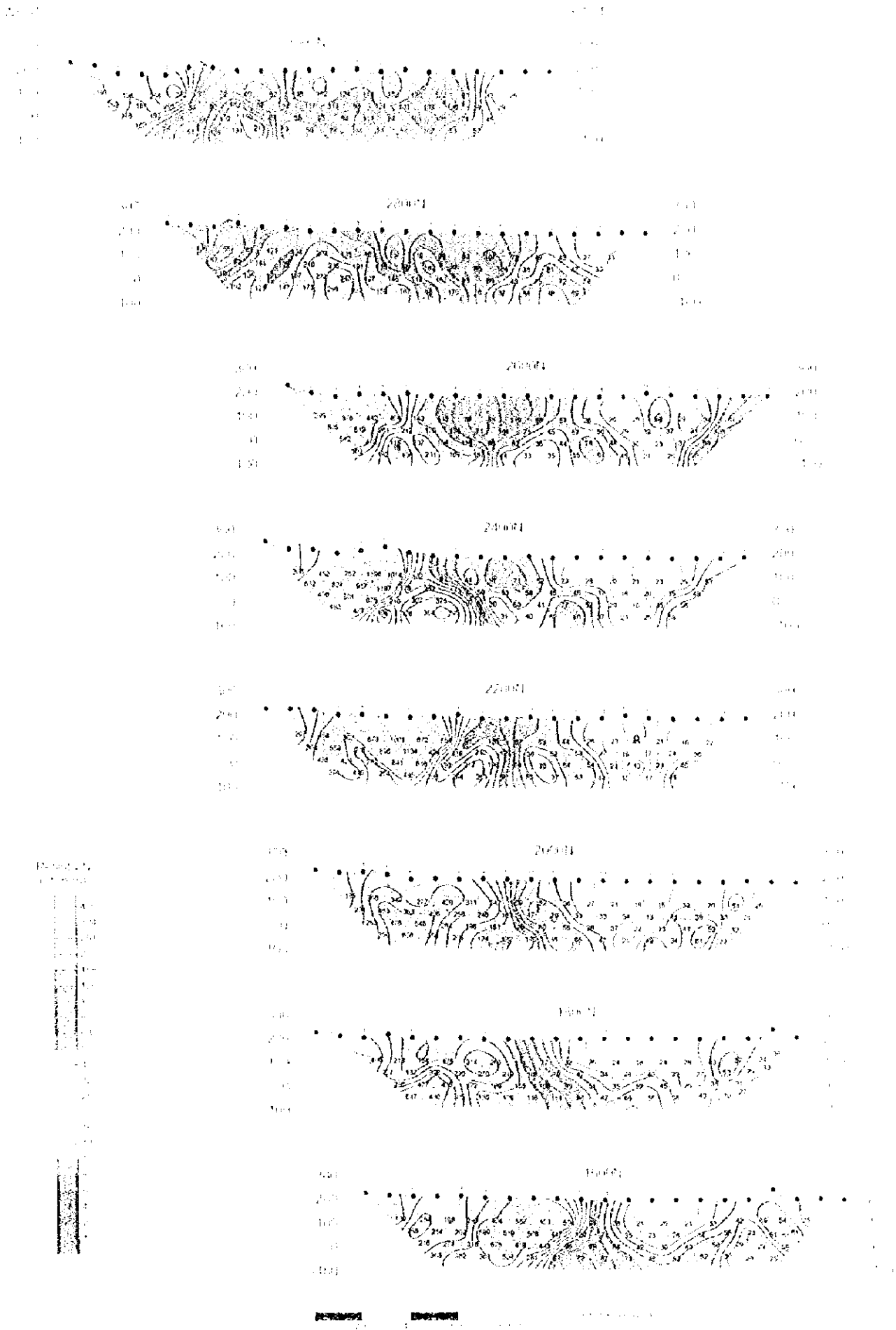


Fig. II-2-32(C) Apparent resistivity pseudo-sections in Hara Kilab area  
135



Handwritten notes on a dotted line, possibly a list or a set of instructions.

Handwritten notes on a dotted line, possibly a list or a set of instructions.

Handwritten notes on a dotted line, possibly a list or a set of instructions.

Handwritten notes on a dotted line, possibly a list or a set of instructions.

Handwritten notes on a dotted line, possibly a list or a set of instructions.

Handwritten notes on a dotted line, possibly a list or a set of instructions.

Handwritten notes on a dotted line, possibly a list or a set of instructions.

Handwritten notes on a dotted line, possibly a list or a set of instructions.



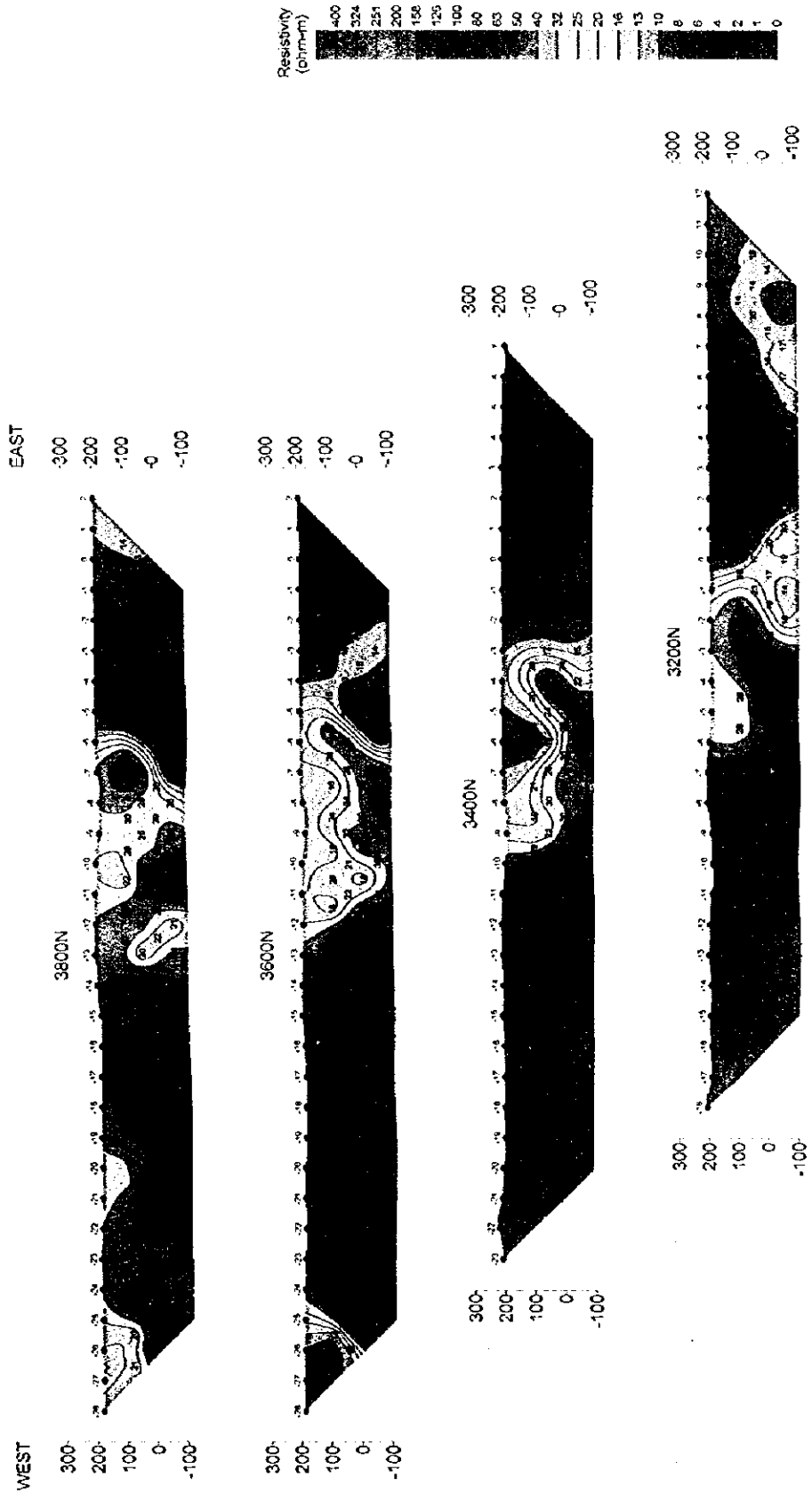
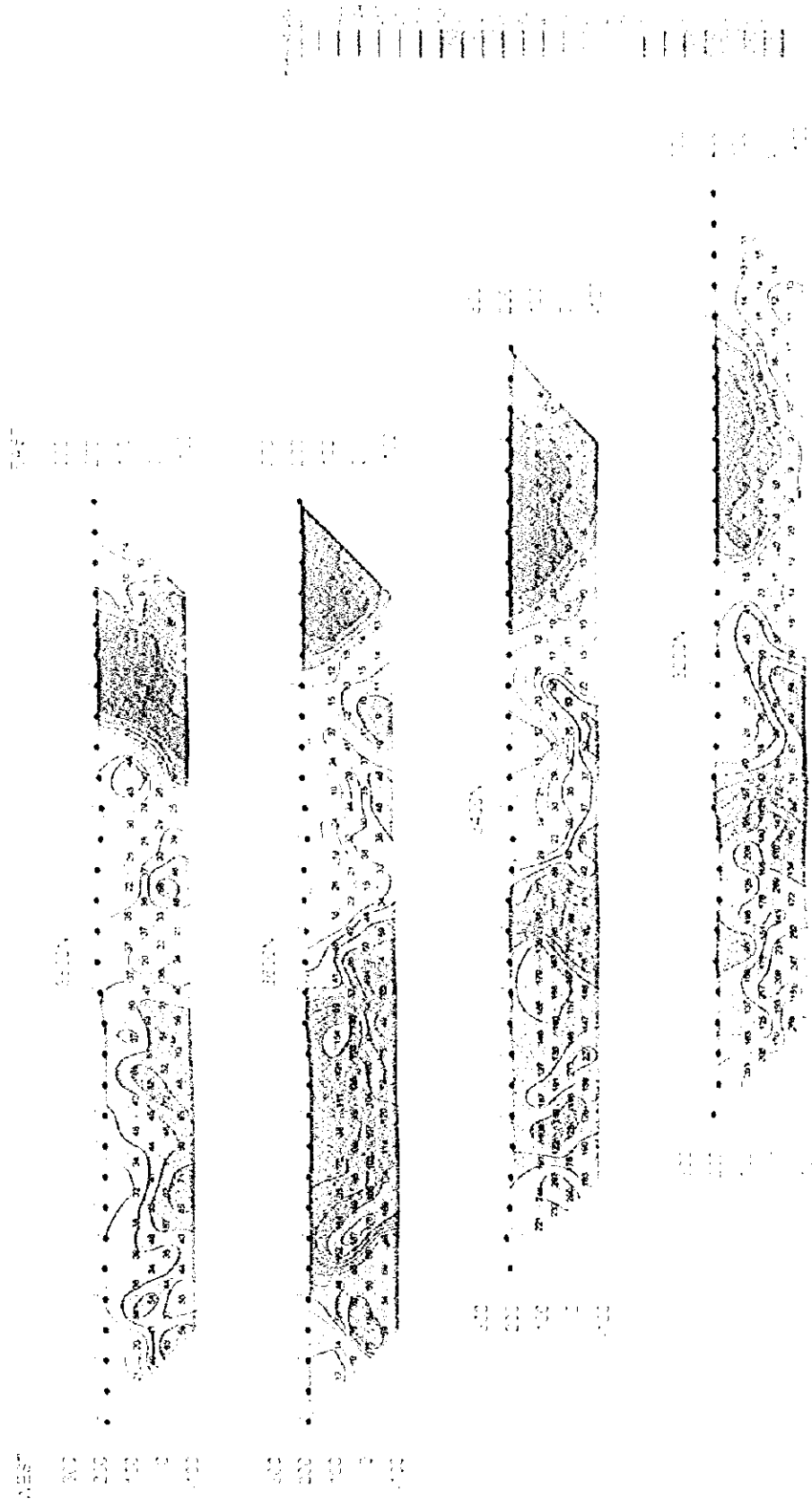


Fig. II-2-32(3) Apparent resistivity pseudo-sections in Hara Kilab area







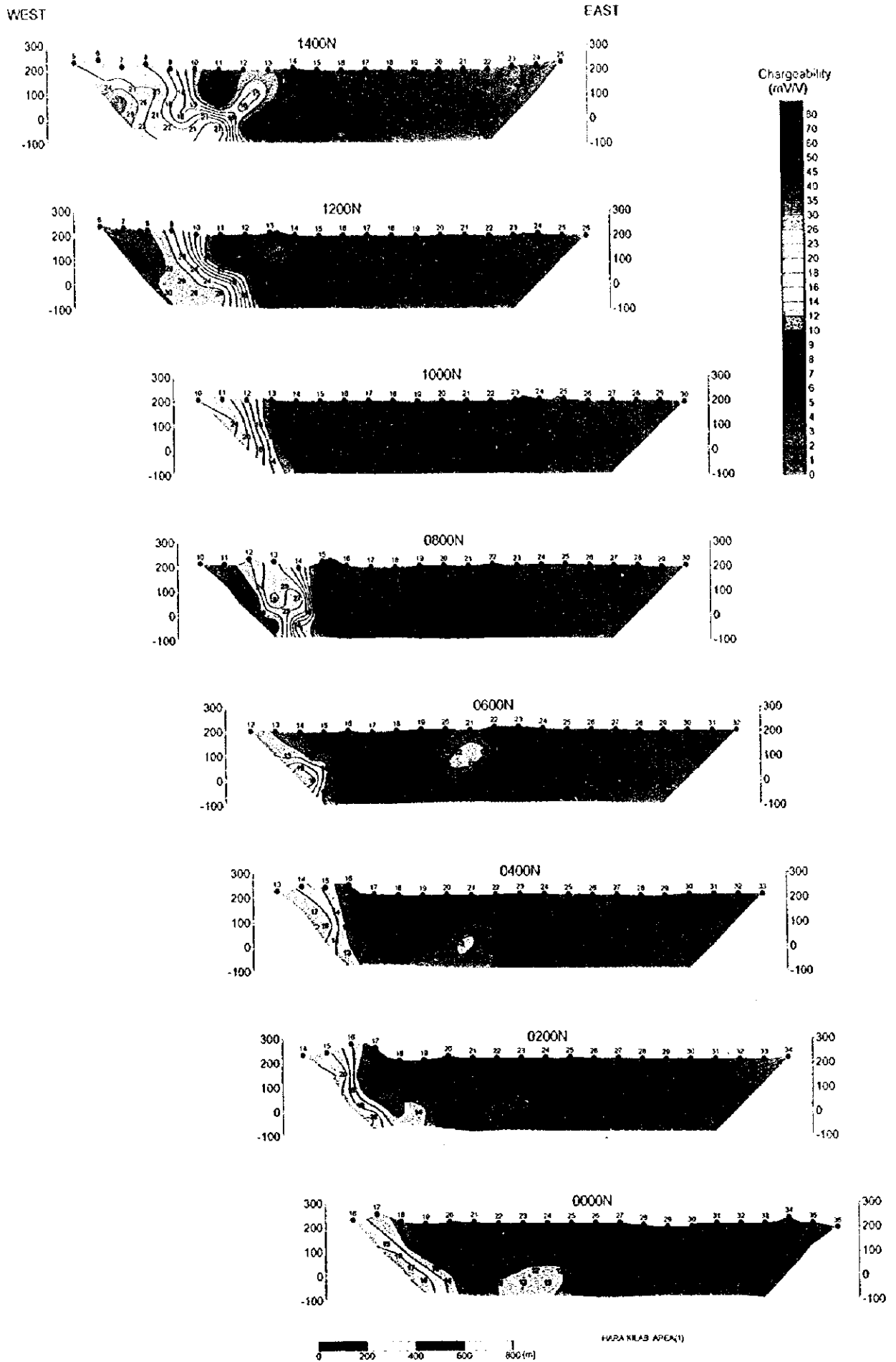


Fig. II -2-33(1) Chargeability pseudo-sections in Hara Kilab area

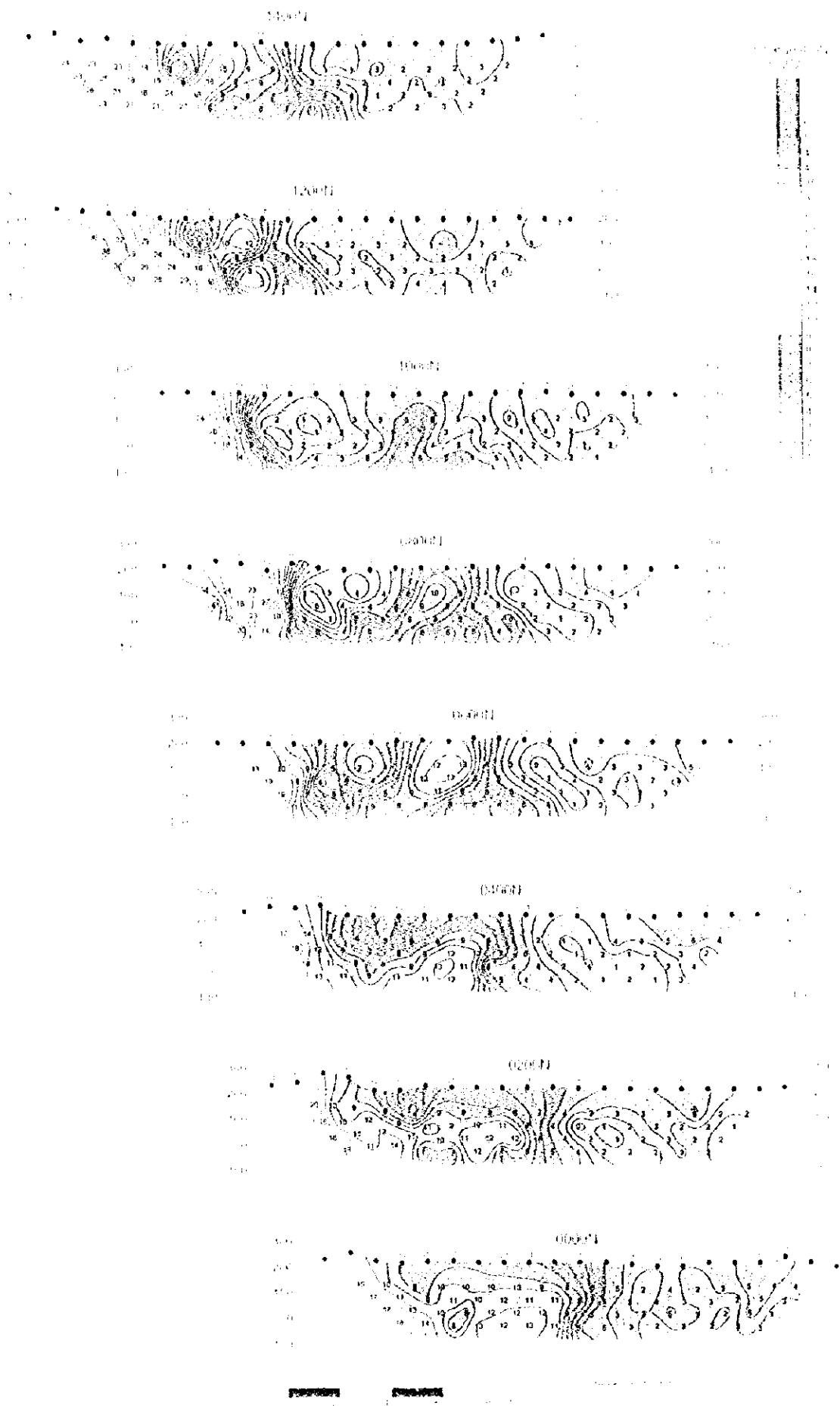


Fig. B-2-33(D) Chargeability pseudo-sections in Hata Kilab area



.....  
.....  
.....

.....  
.....  
.....

.....  
.....  
.....

.....  
.....  
.....

.....  
.....  
.....

.....  
.....  
.....

.....  
.....  
.....

.....  
.....  
.....



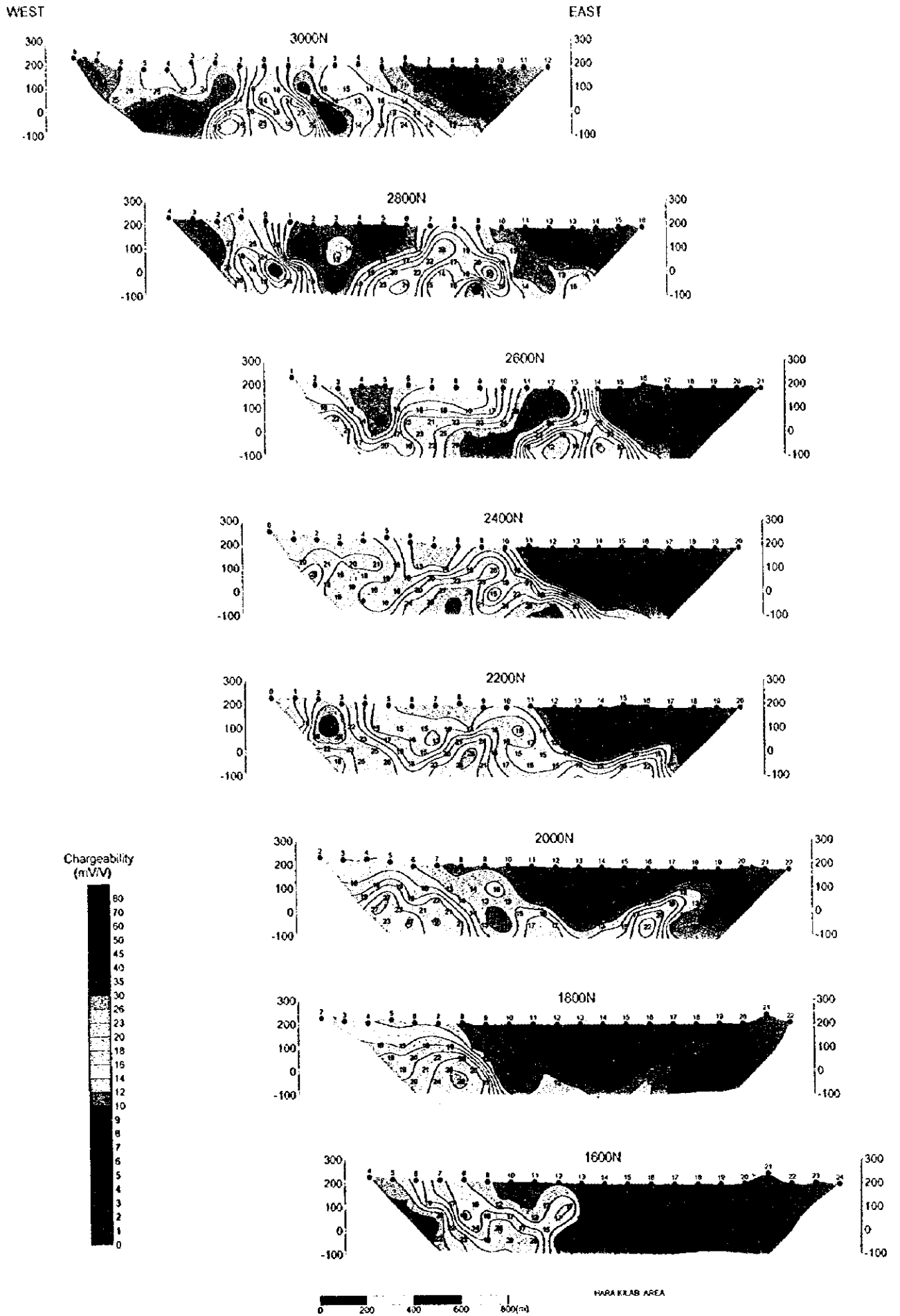


Fig. II-2-33(2) Chargeability pseudo-sections in Hara Kilab area

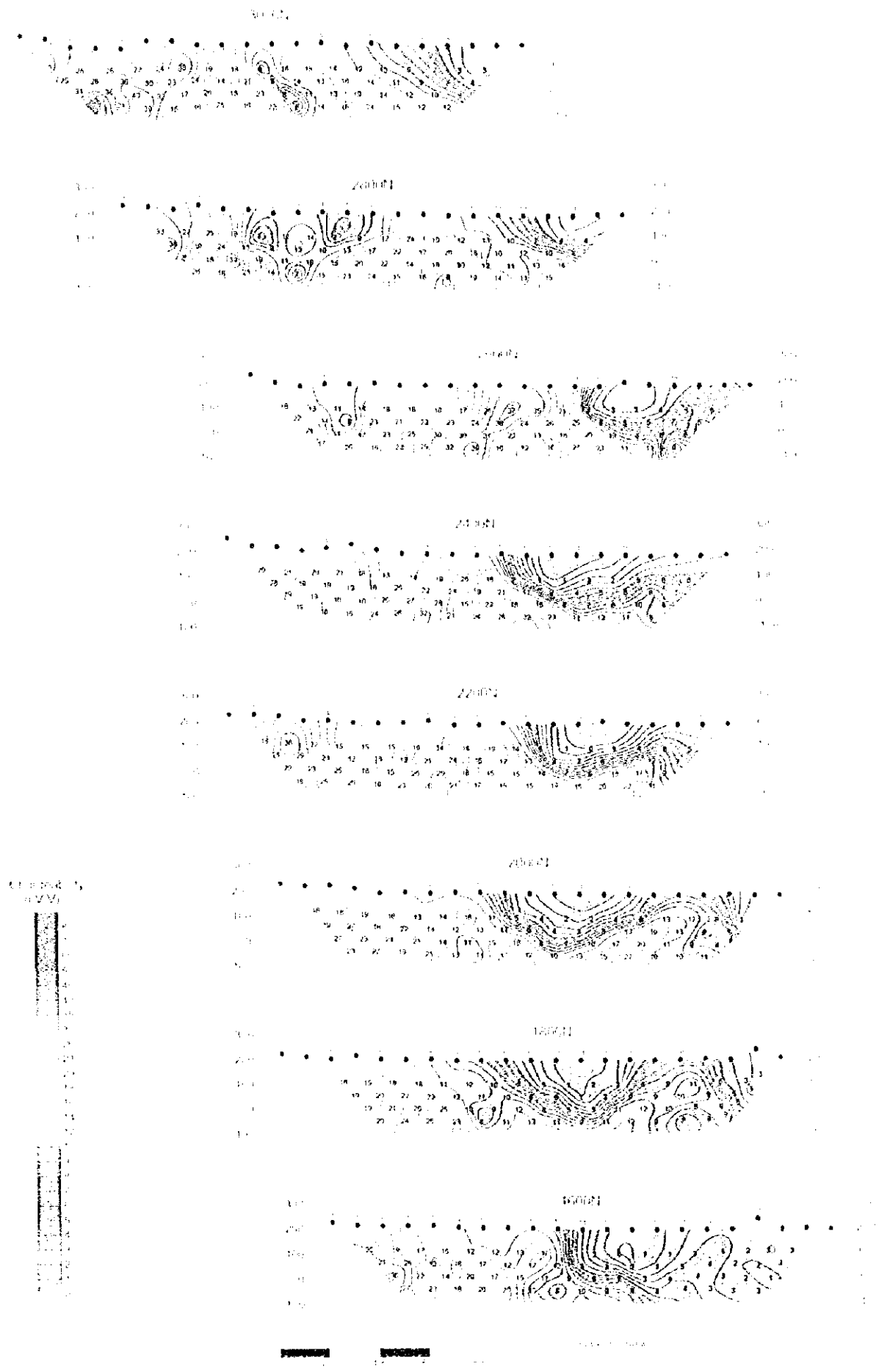


Fig. II-2-33(2) Chargeability pseudo-sections in Haru-Kilab area

.....

.....

.....

.....

.....

.....

.....

.....



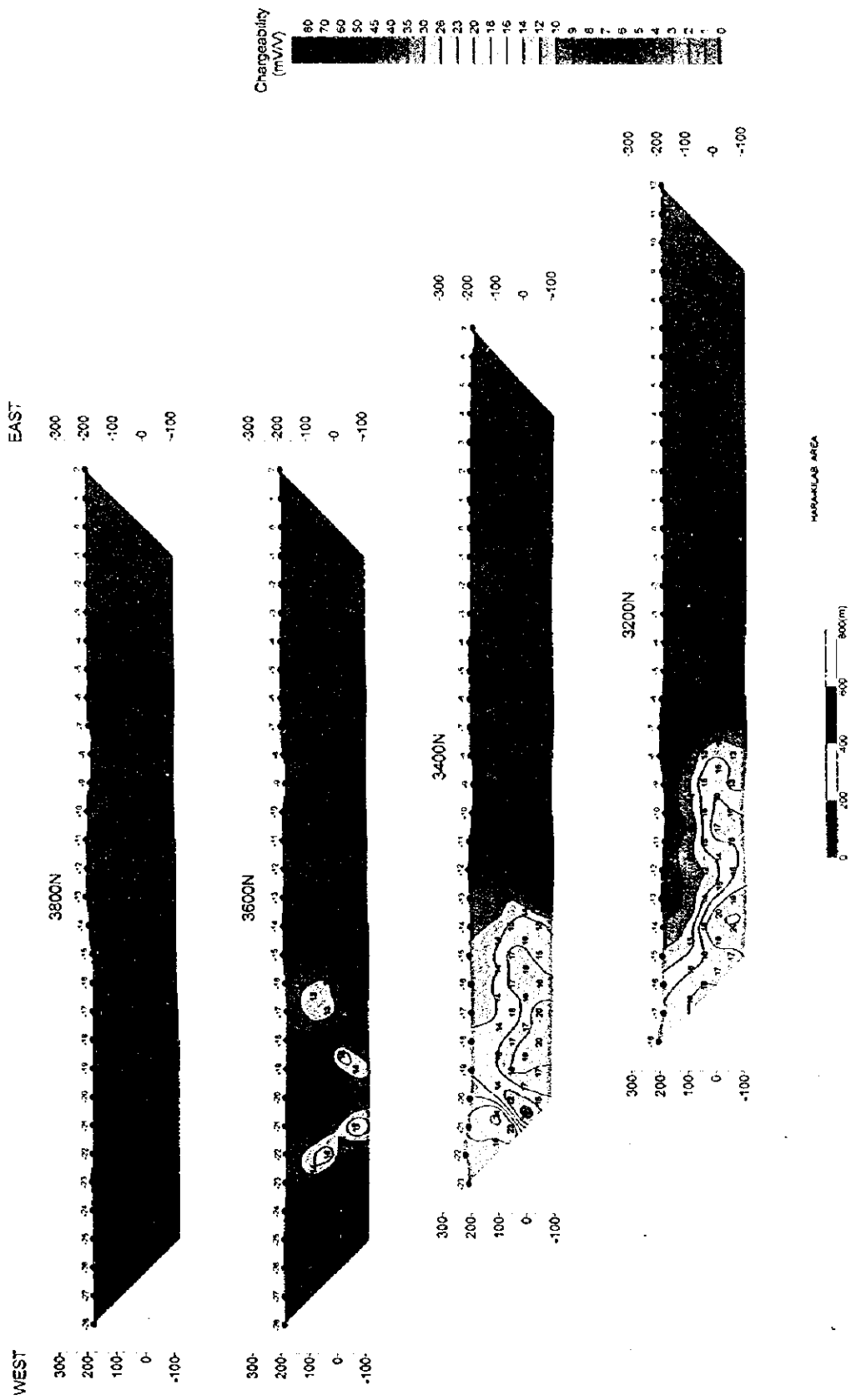


Fig. II-2-33(3) Chargeability pseudo-sections in Hara Kilab area

112



113

114



115

116

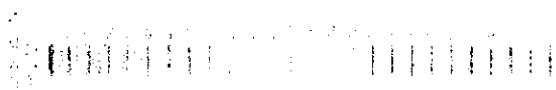


117

118



119



120



121

122







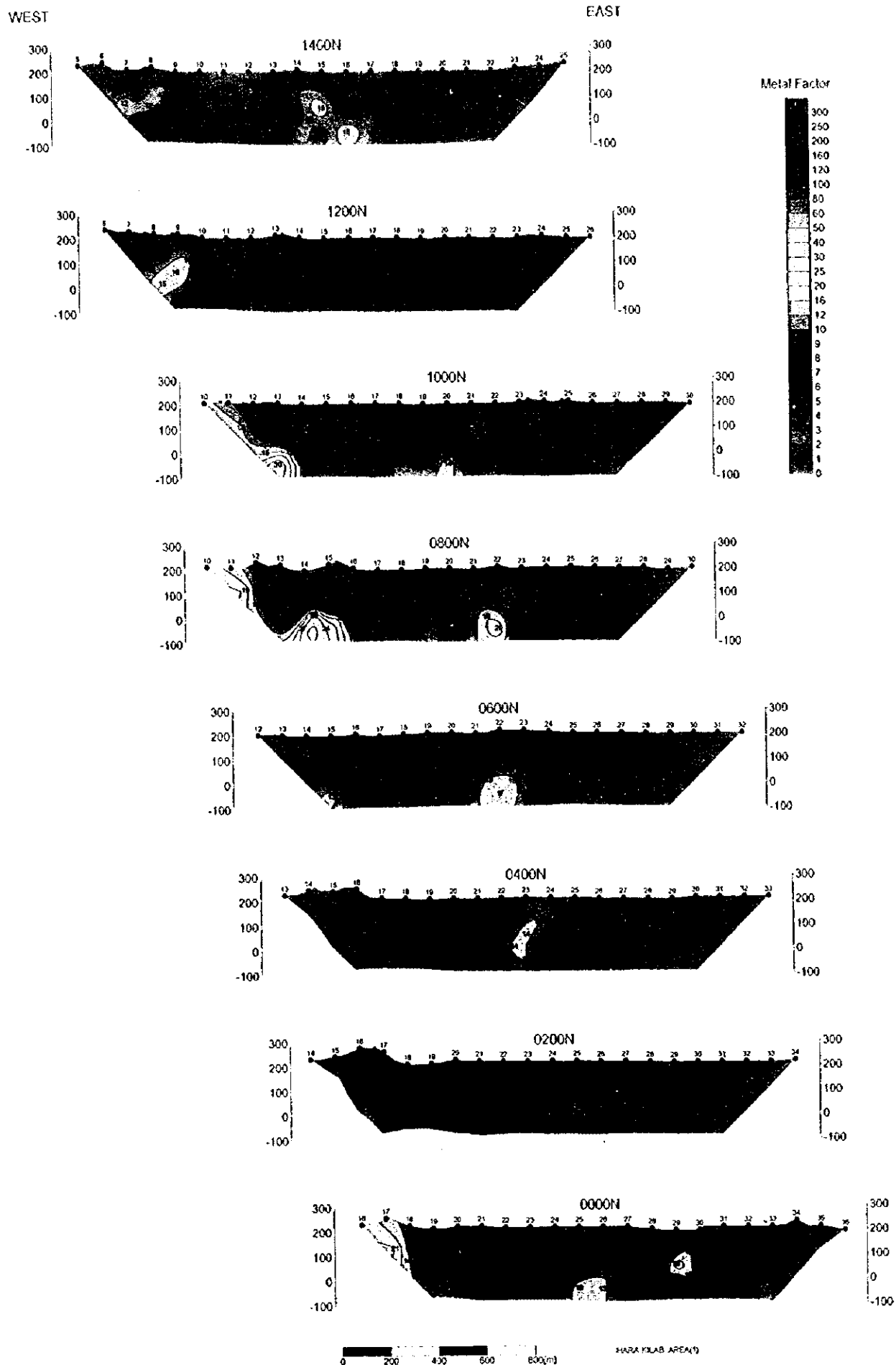


Fig. II-2-34(I) Metal factor pseudo-sections in Hara Kilab area

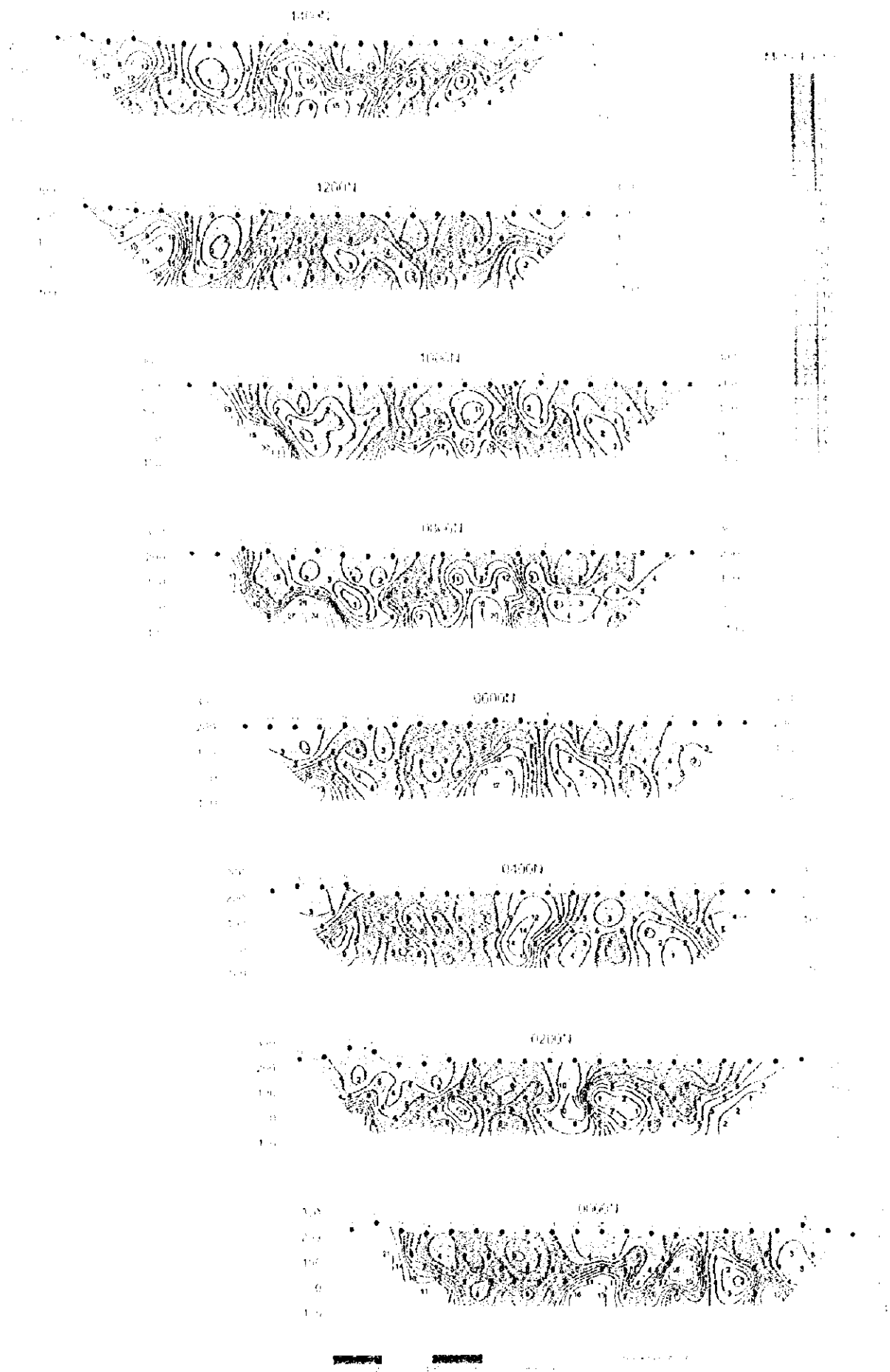
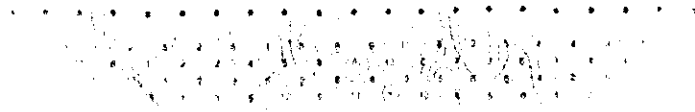
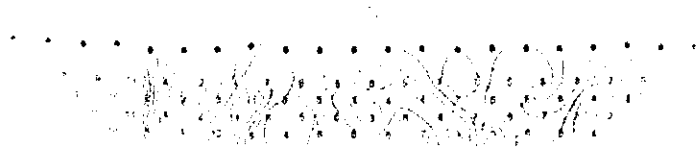
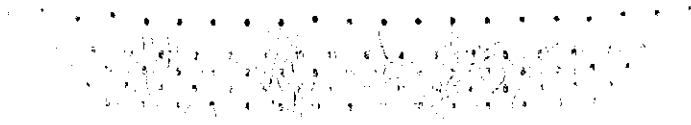


Fig. II-2-3(1) - Metal factor pseudo-sections in Hara-Kubayama area

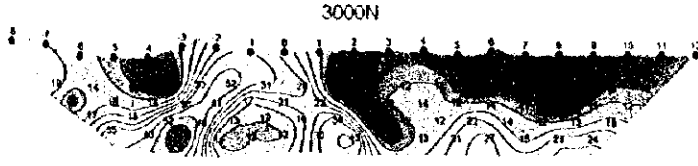




WEST

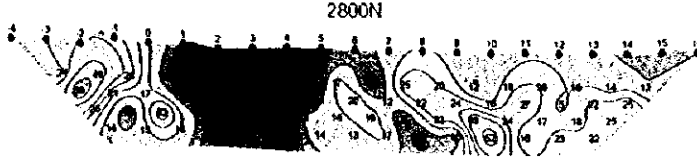
EAST

300  
200  
100  
0  
-100



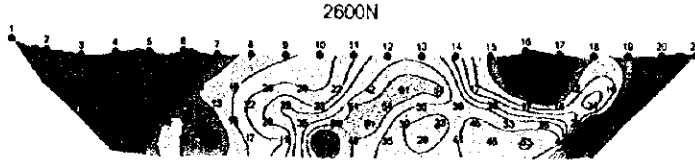
300  
200  
100  
0  
-100

300  
200  
100  
0  
-100



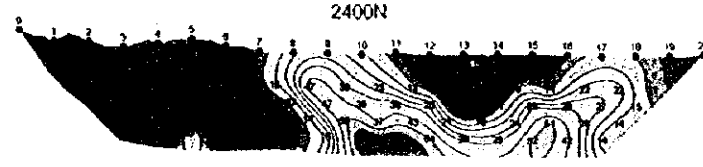
300  
200  
100  
0  
-100

300  
200  
100  
0  
-100



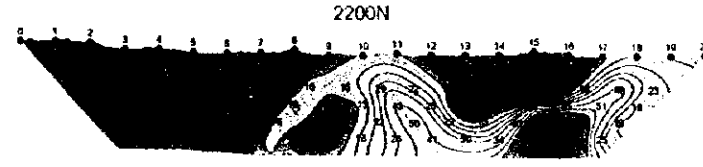
300  
200  
100  
0  
-100

300  
200  
100  
0  
-100



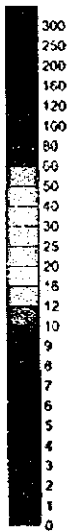
300  
200  
100  
0  
-100

300  
200  
100  
0  
-100

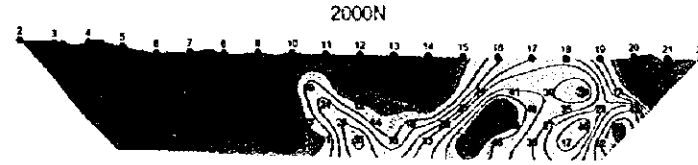


300  
200  
100  
0  
-100

Metal Factor

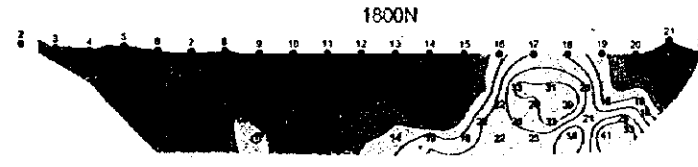


300  
200  
100  
0  
-100



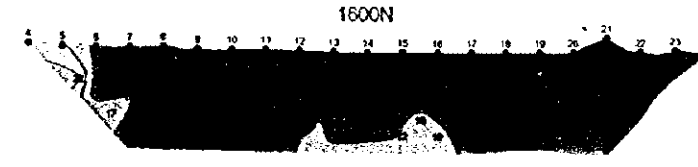
300  
200  
100  
0  
-100

300  
200  
100  
0  
-100



300  
200  
100  
0  
-100

300  
200  
100  
0  
-100



300  
200  
100  
0  
-100

0 200 400 600 800(m)

HARA KILAB AREA(2)

Fig. II -2-34(2) Metal factor pseudo-sections in Hara Kilab area

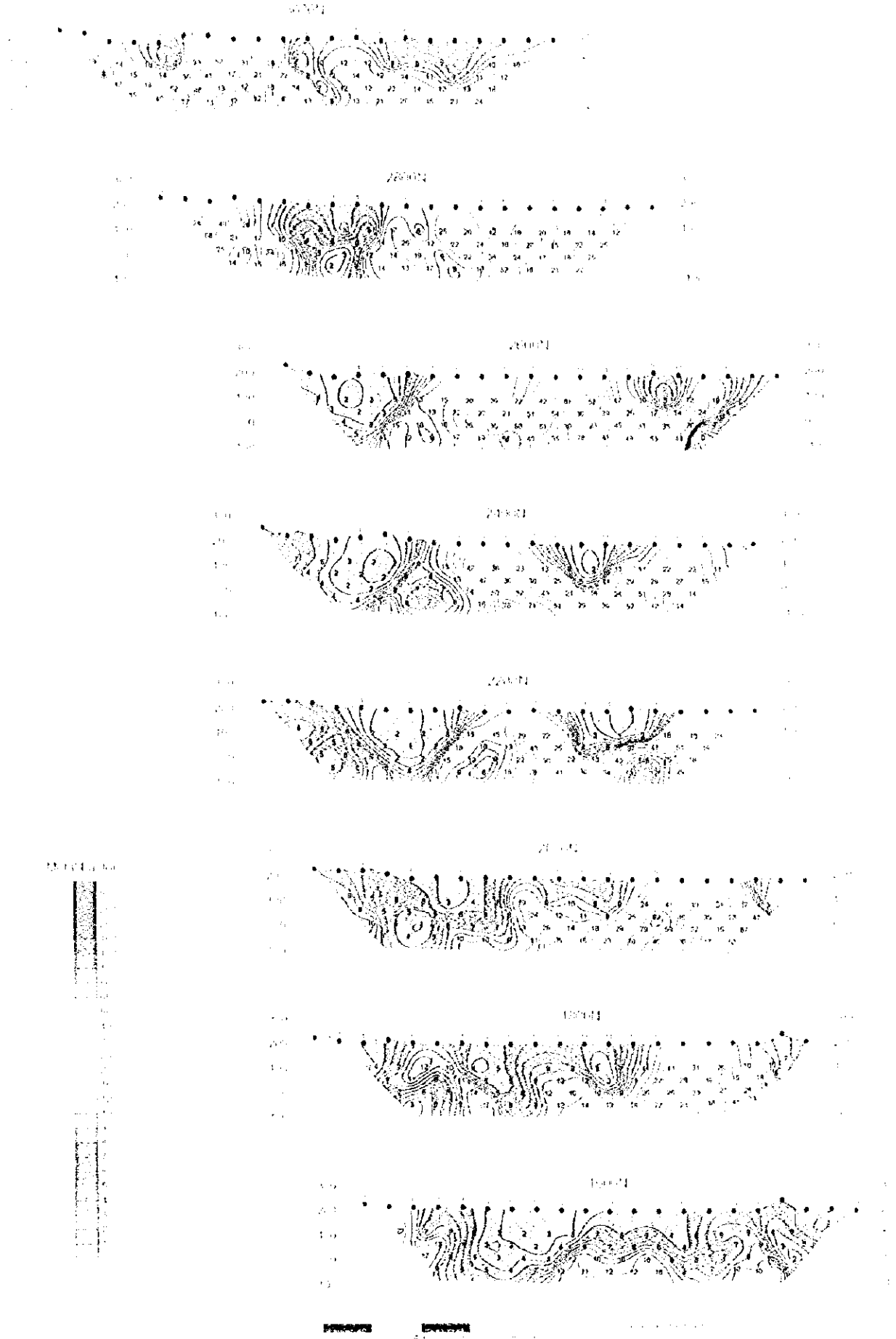


Fig. B-2-34(2) Metal factor pseudo-sections in Hara Kibab area



.....  
.....  
.....

.....  
.....  
.....

.....  
.....  
.....

.....  
.....  
.....

.....  
.....  
.....

.....  
.....  
.....

.....  
.....  
.....

.....  
.....  
.....

.....

.....



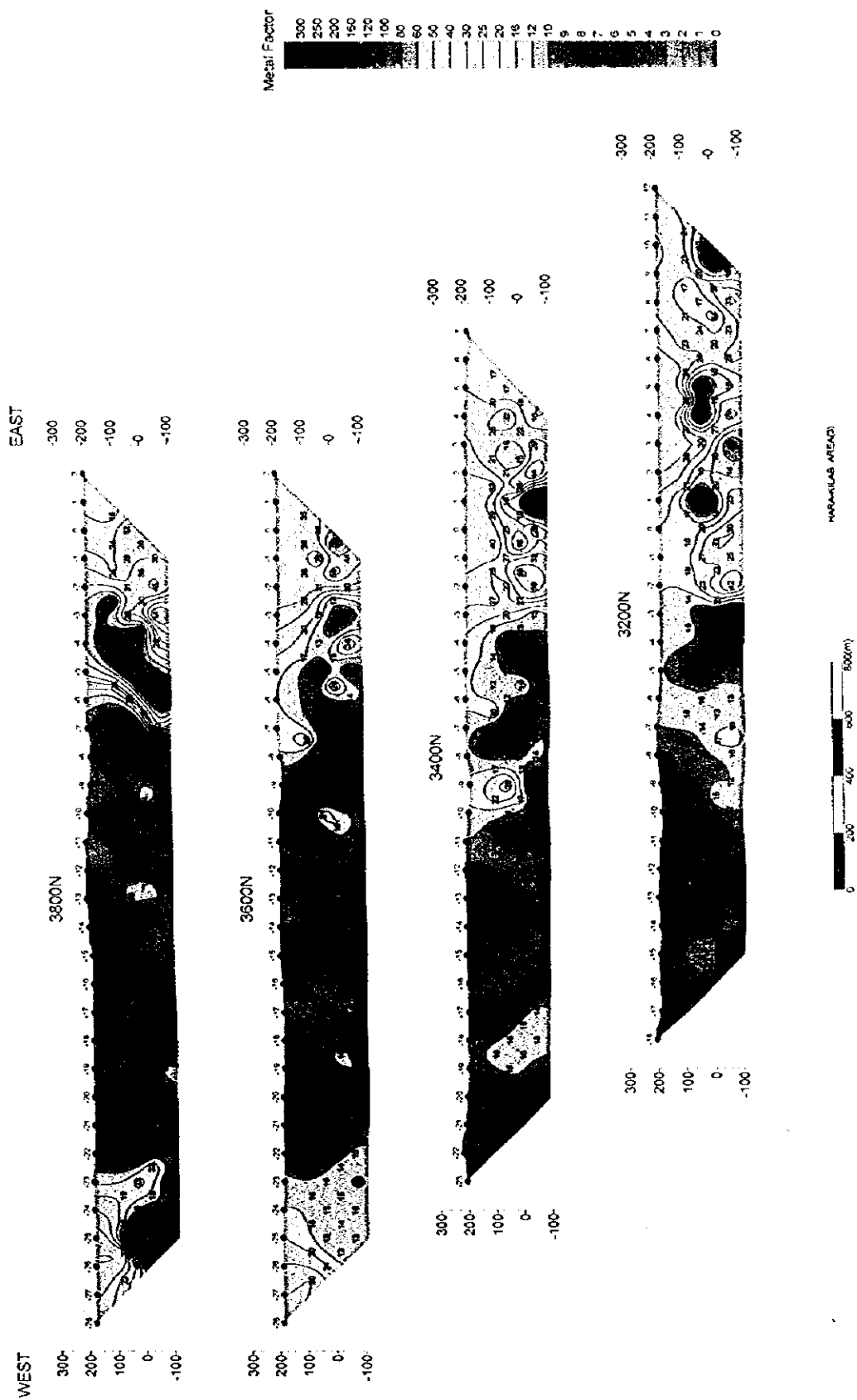


Fig. II-2-34(3) Metal factor pseudo-sections in Hara Kilab area

112



113



114



115



116

117

118

.....

.....

.....

.....

.....



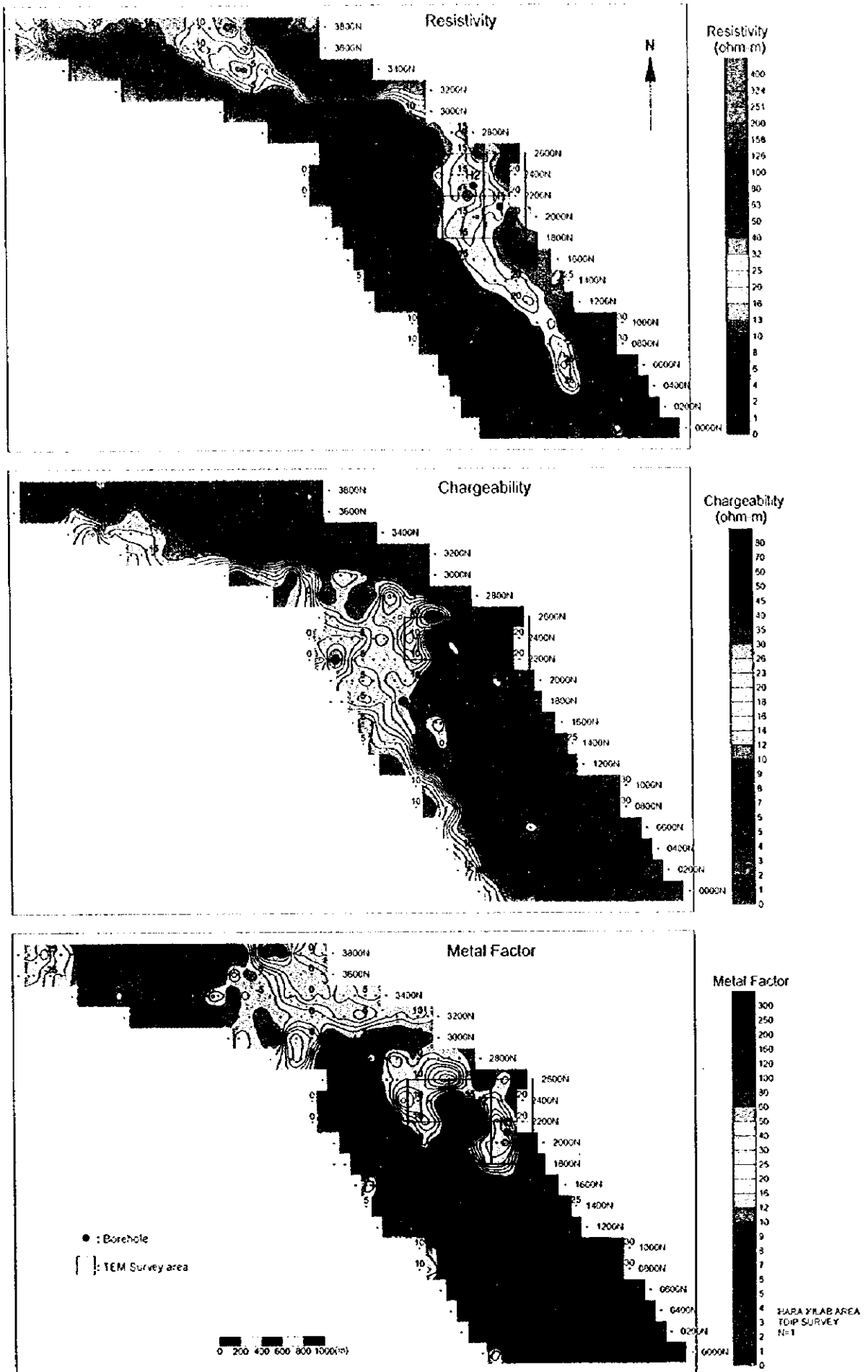


Fig. II-2-35 IP plane map of  $n=1$  in Hara Kilab area

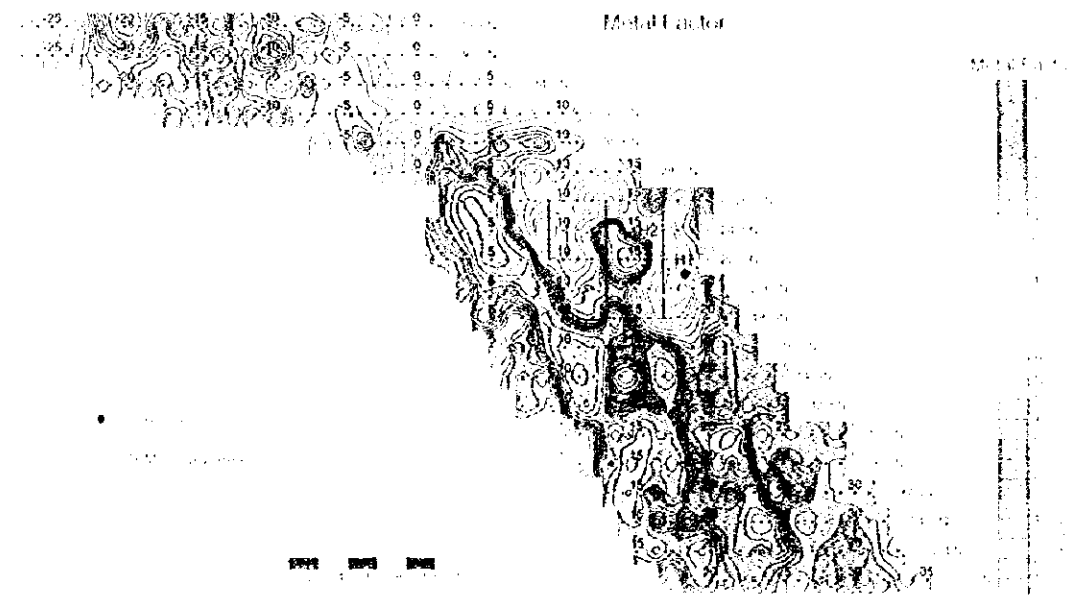
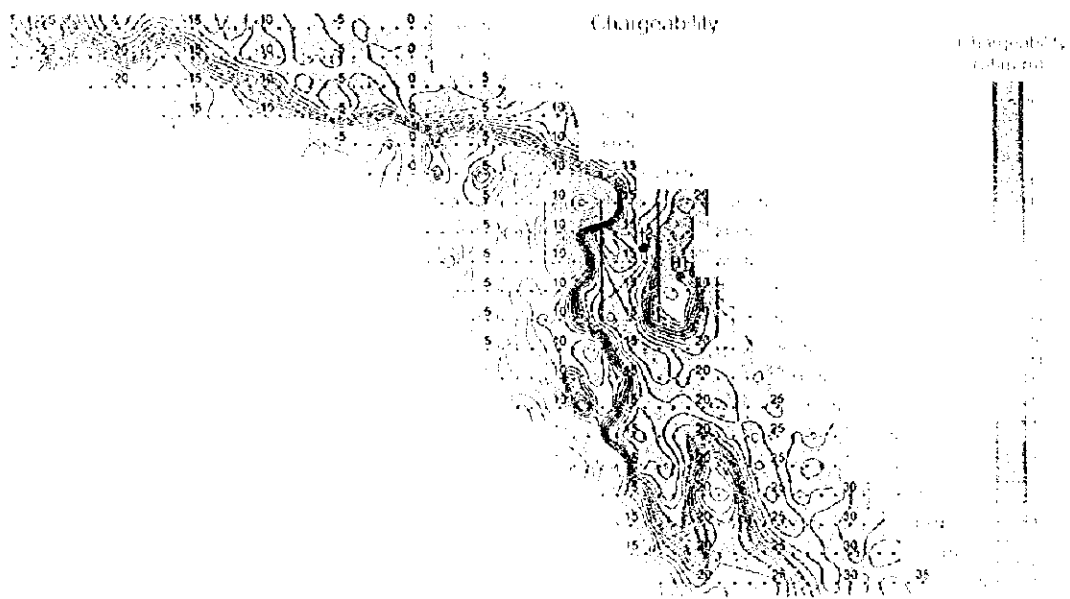
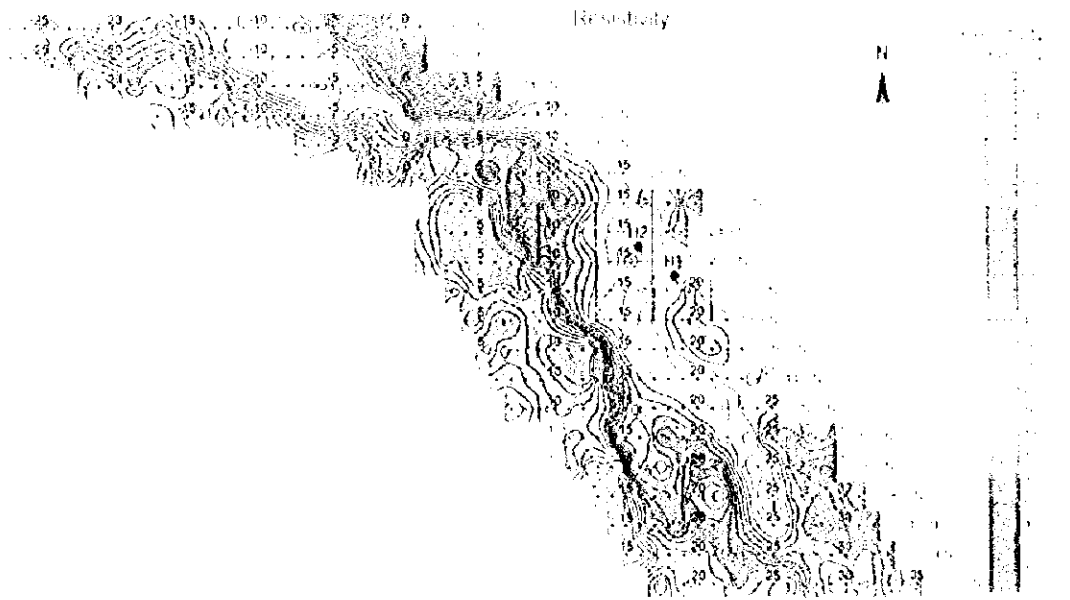
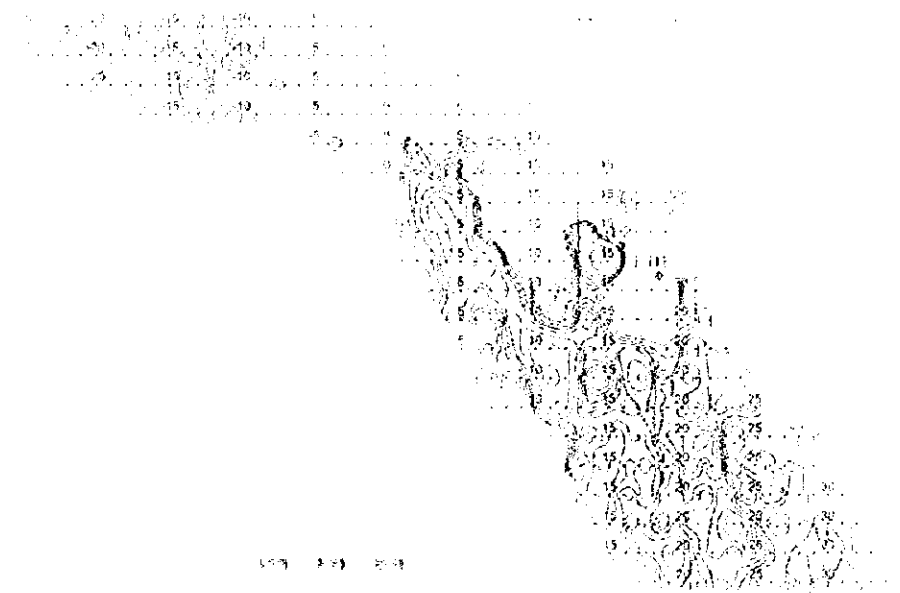
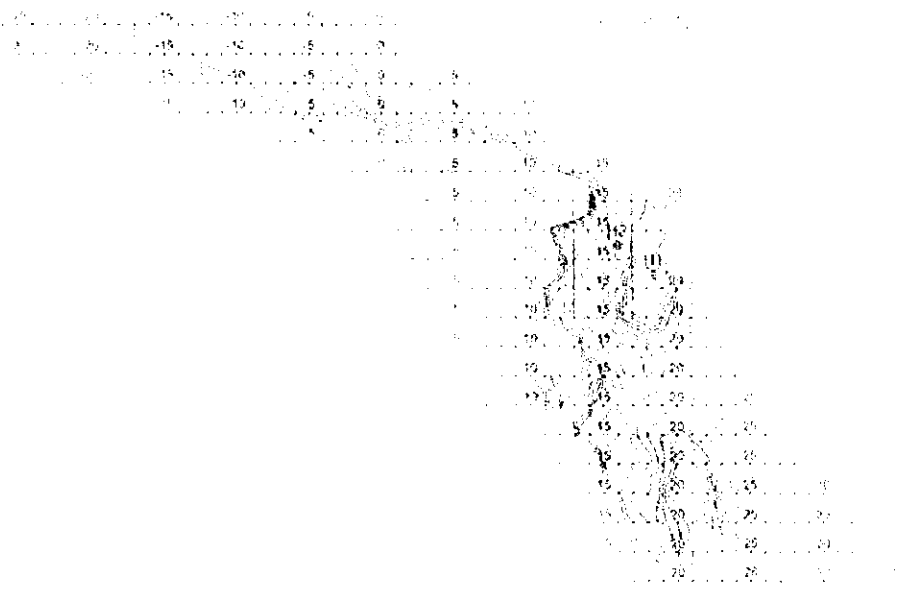
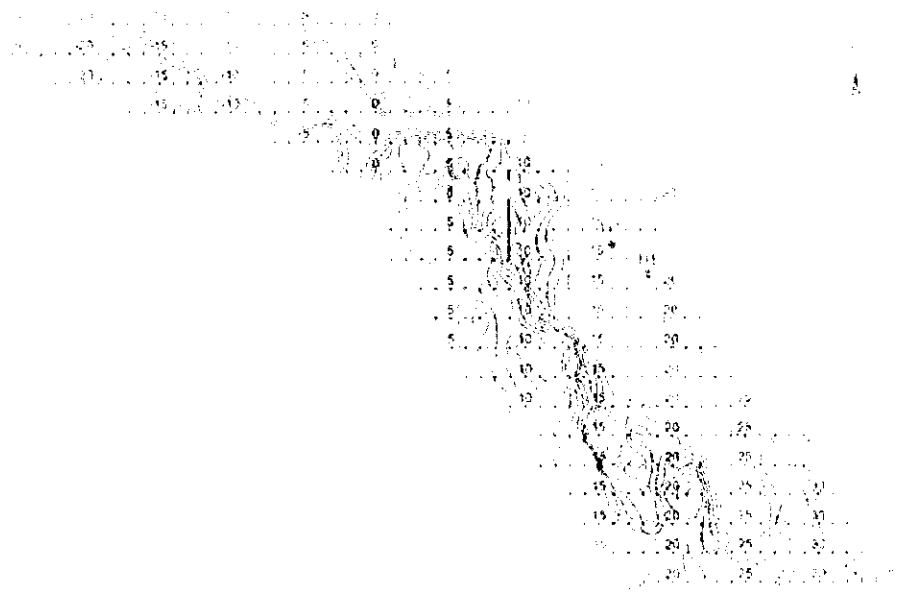


Fig. II-2-35 IP plane map of the Hua Kilab area







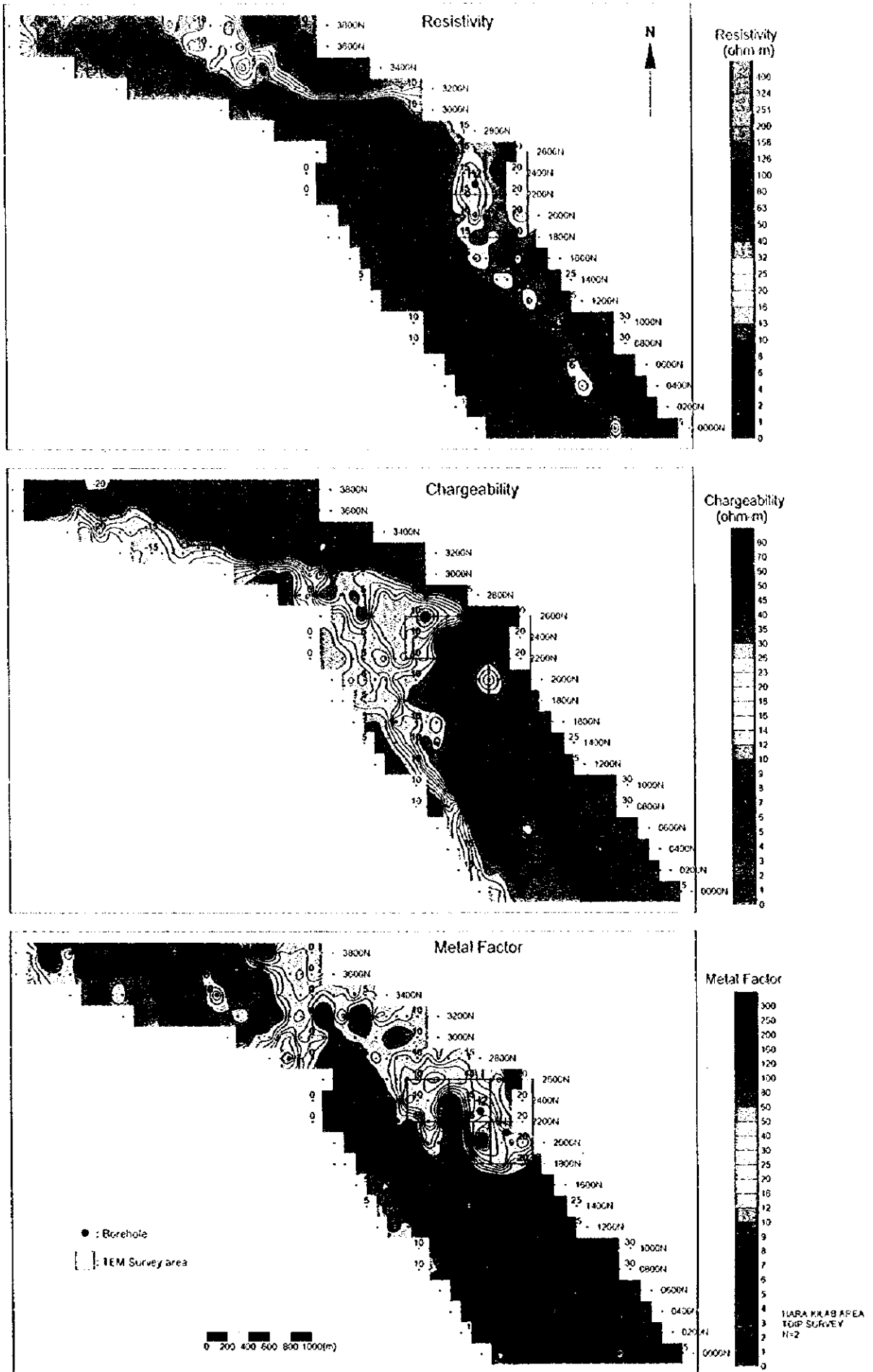


Fig. II -2-36 BP plane map of  $n=2$  in Hara Kilab area

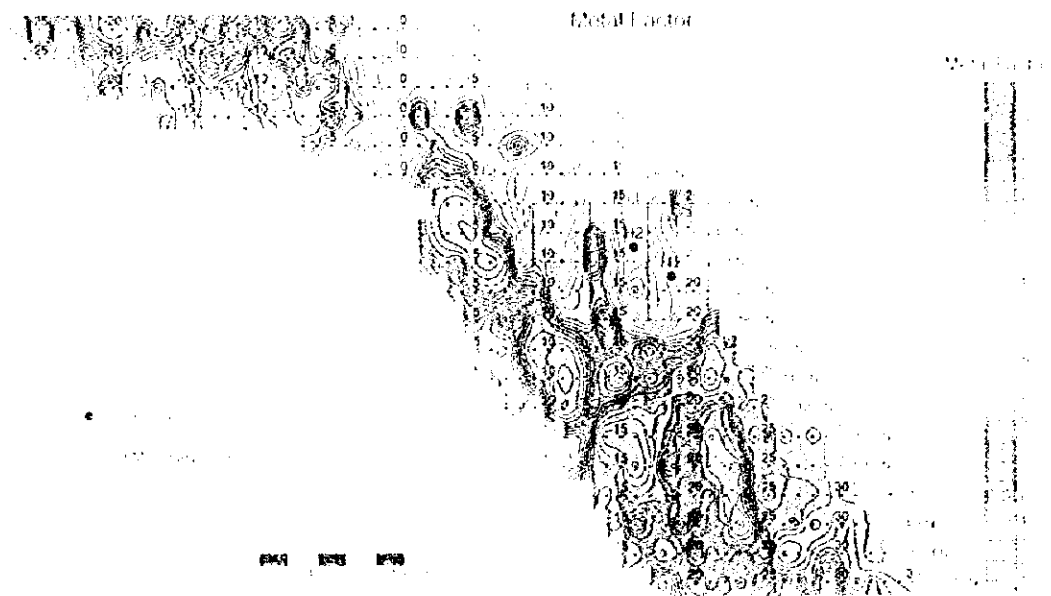
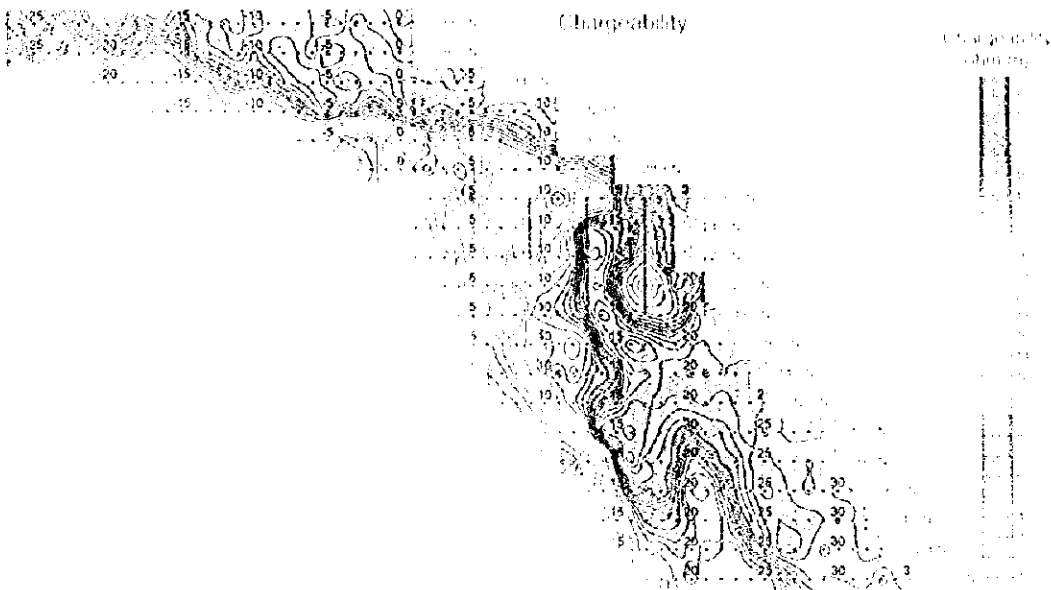
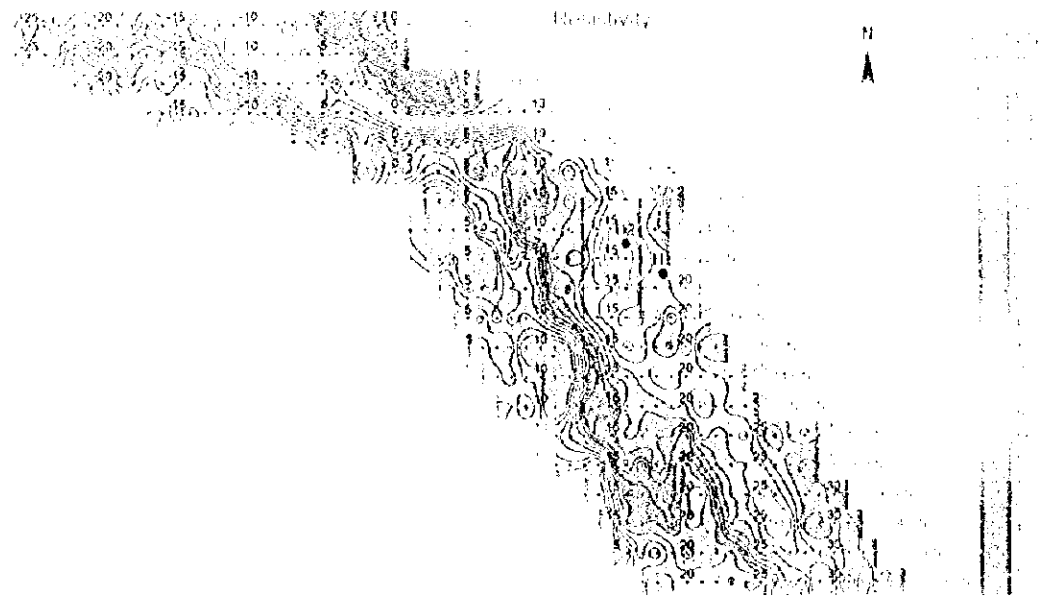
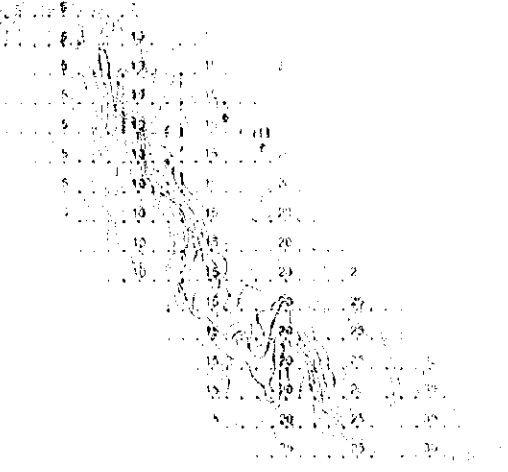
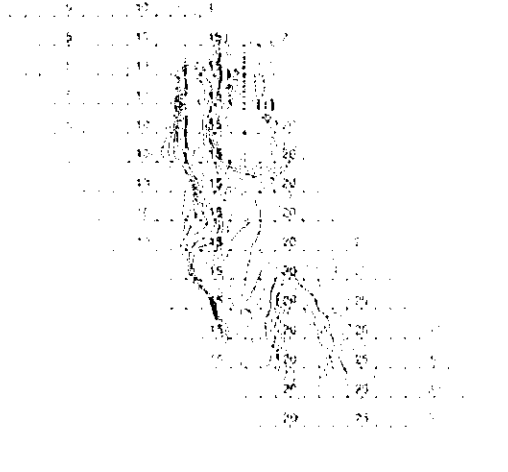


Fig. II-2-36 IP plane map of n-2 in Hana Kilab area

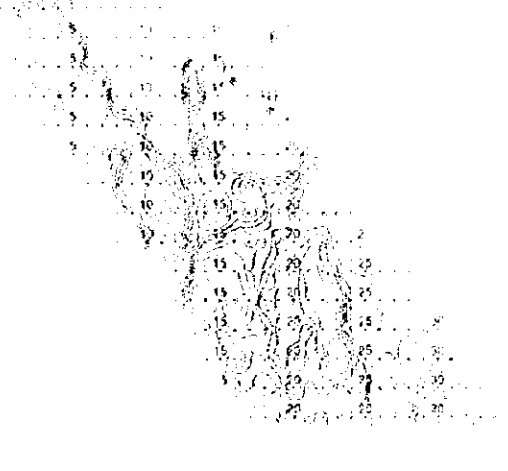
1. The first part of the document discusses the importance of maintaining accurate records of all transactions. This is essential for ensuring the integrity of the financial data and for facilitating the audit process.



2. The second part of the document focuses on the analysis of the data presented in the graph. It highlights the periods of rapid growth and the subsequent periods of decline, providing a comprehensive overview of the overall performance.



3. The third part of the document discusses the implications of the findings and provides recommendations for future actions. It emphasizes the need for continued monitoring and adjustment of the strategy to ensure long-term success.





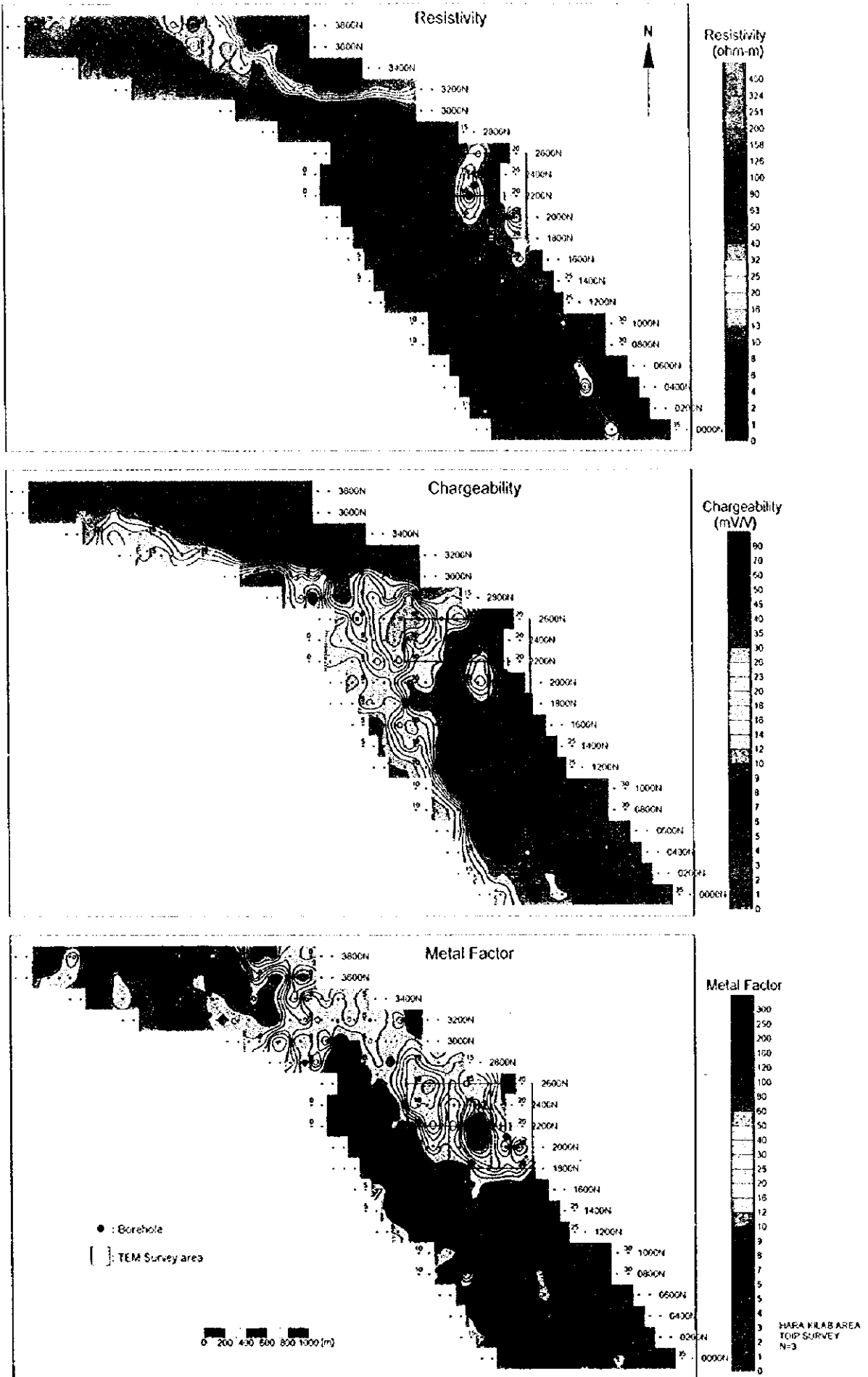


Fig. II-2-37 IP plane map of  $n=3$  in Hara Kilab area

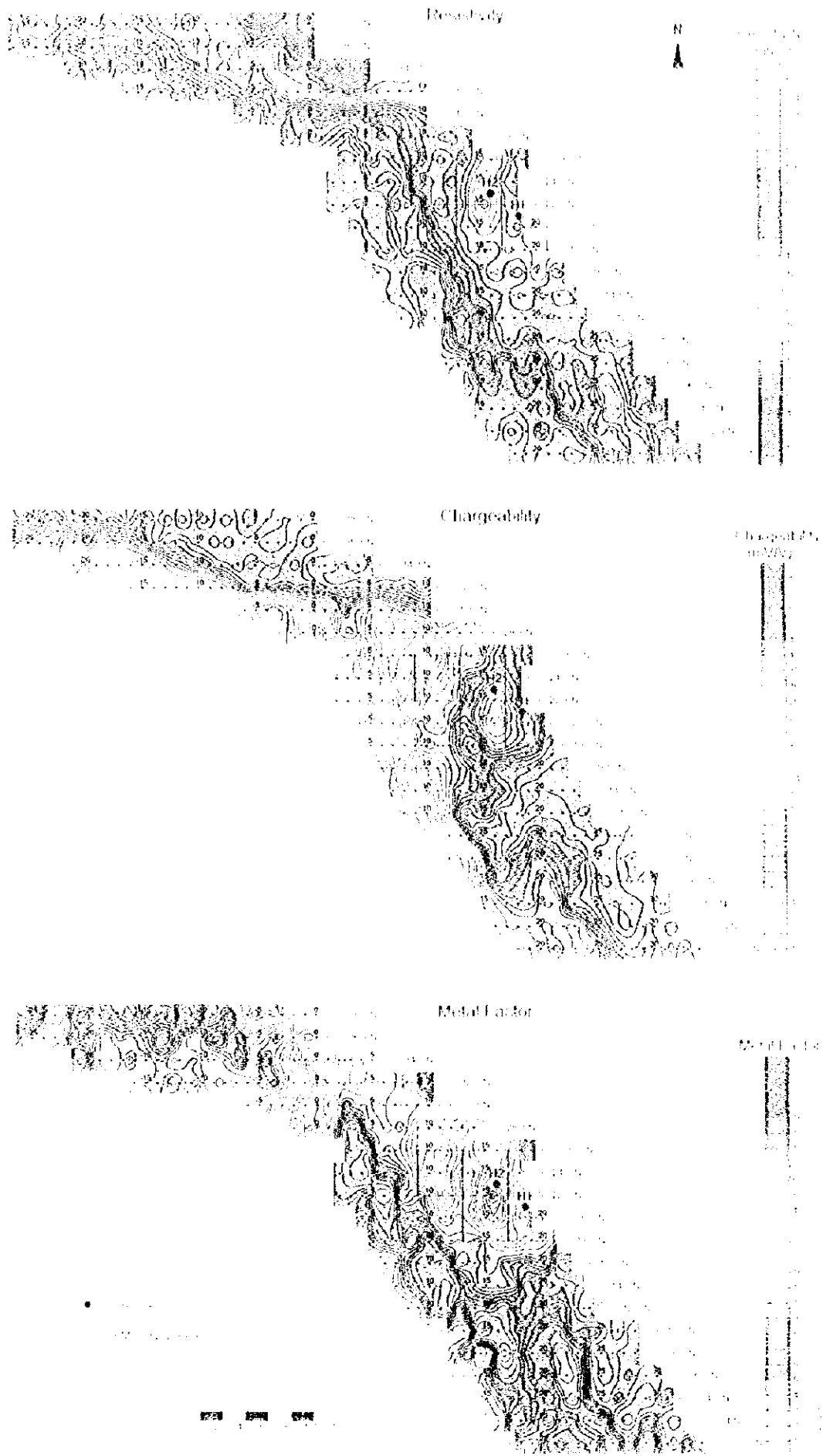


Fig. II-2-37 IP plane map of n. 3 in Hara Kilab area



1. The first part of the document discusses the importance of maintaining accurate records of all transactions. It emphasizes that this is crucial for the company's financial health and for providing reliable information to stakeholders. The text also mentions the need for regular audits and the role of the accounting department in ensuring compliance with relevant laws and regulations.

2. The second part of the document focuses on the implementation of a new accounting system. It details the steps involved in the selection, installation, and testing of the software. The document also addresses the training of staff and the migration of existing data to the new system. It highlights the challenges faced during the process and the measures taken to overcome them.

3. The third part of the document discusses the future plans for the accounting department. It outlines the goals for the next year, including the implementation of new accounting standards and the expansion of the department's services. The document also mentions the need for ongoing training and development of the staff to stay up-to-date with the latest accounting practices and technologies.



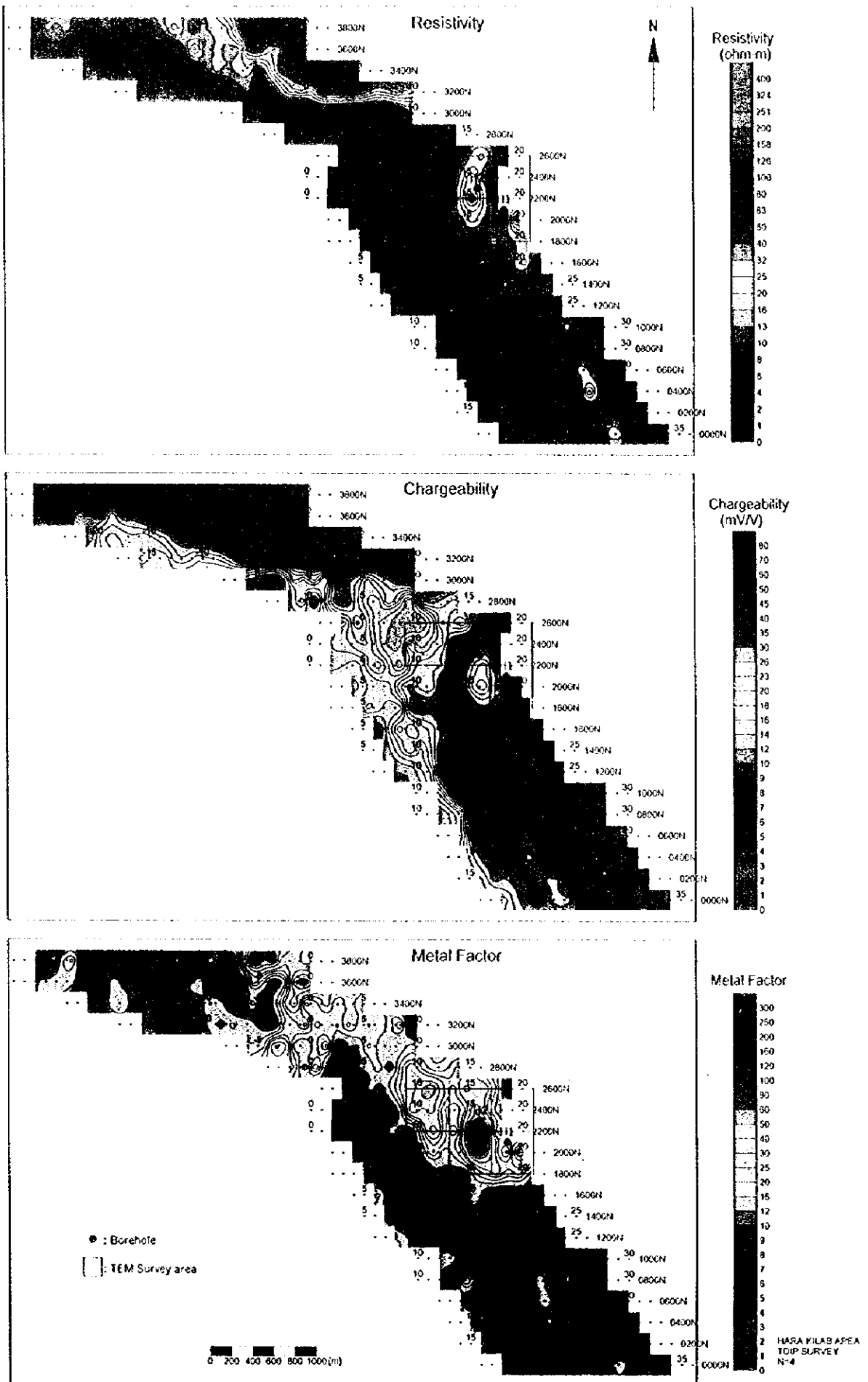


Fig. II-2-38 IP plane map of  $n=4$  in Hara Kilab area

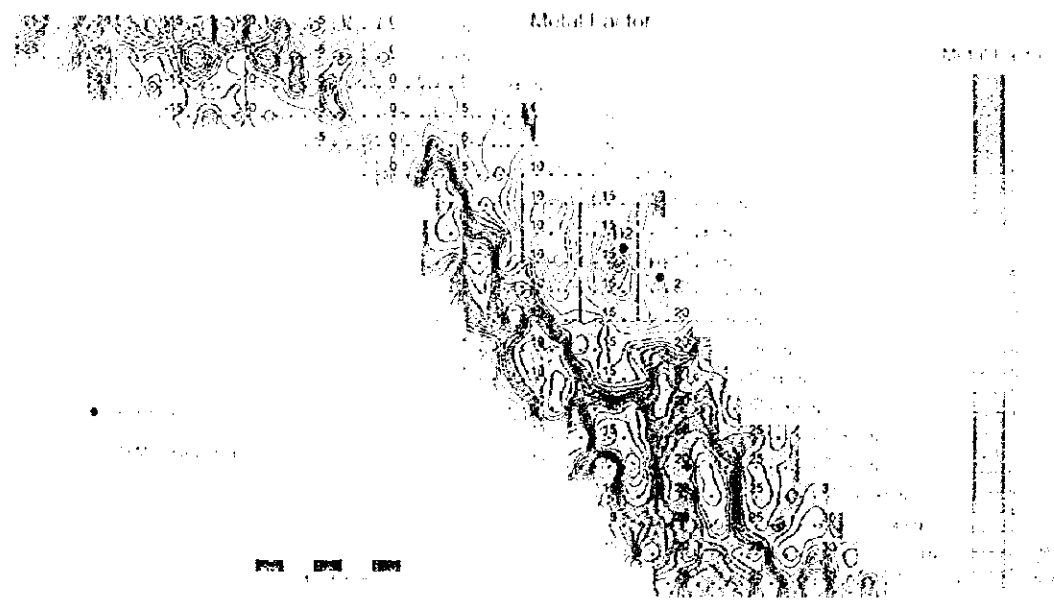
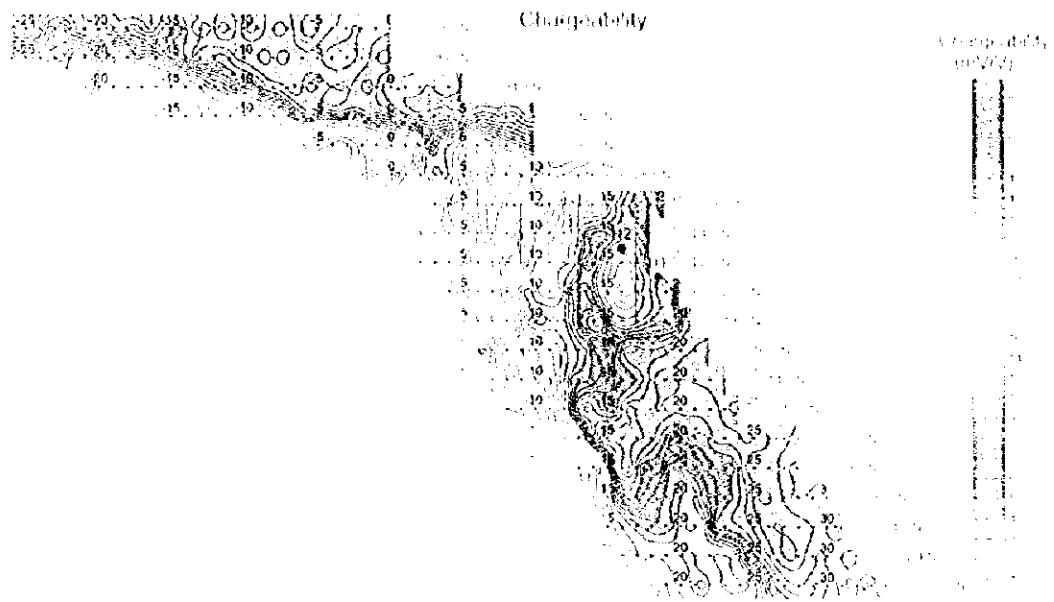
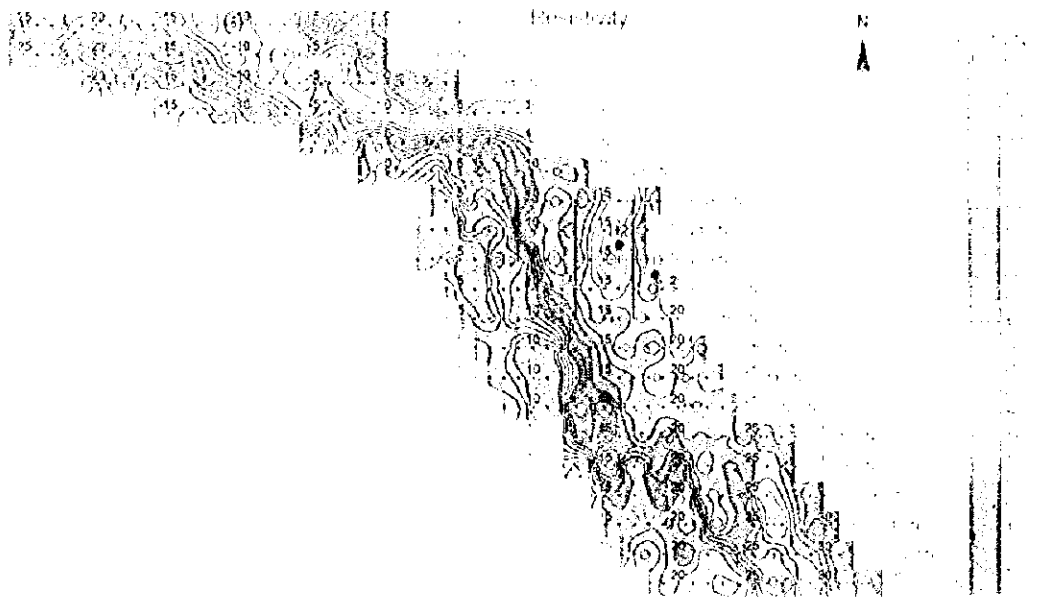
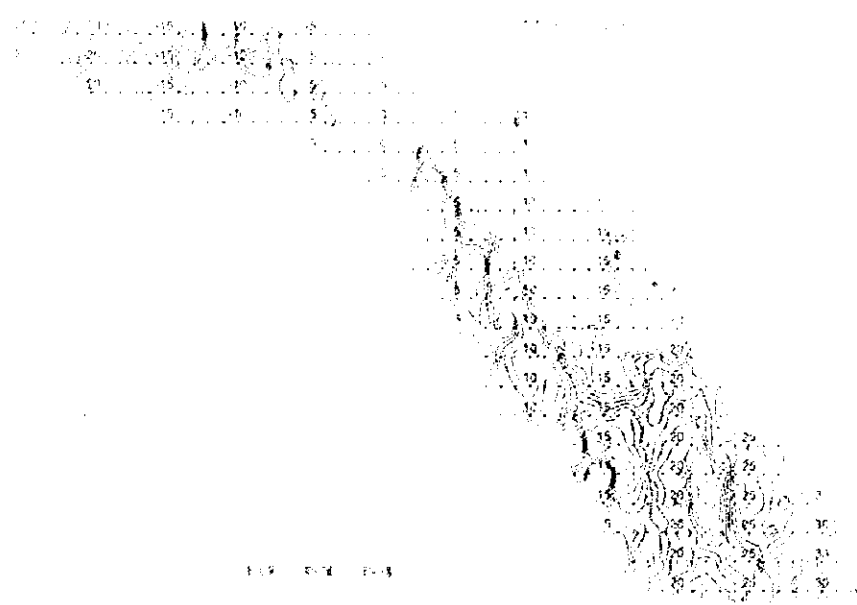
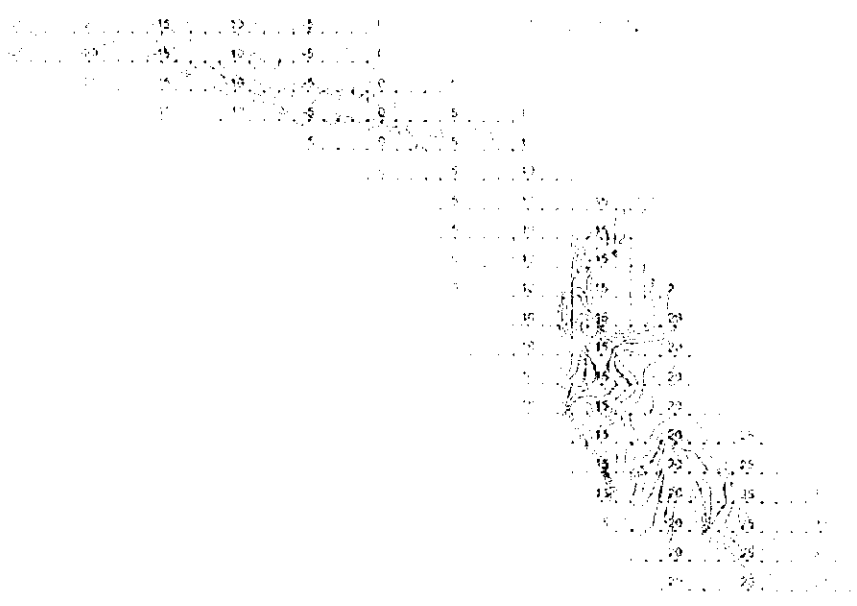
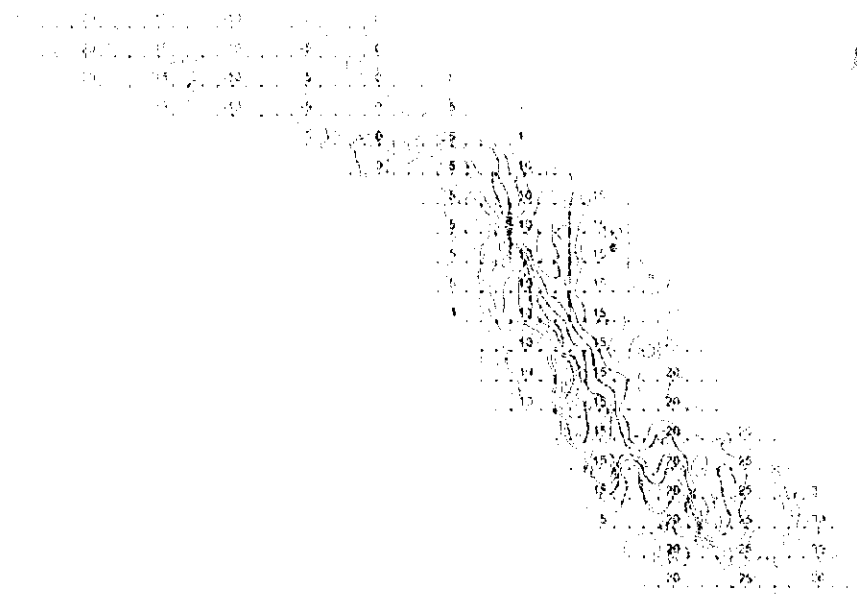


Fig. II-2-38 IP plane map of n in Hara Kilab area



1:25,000

Topographic Map of the [Region Name]



4で認められ、北北西方向に測線 1200N まで連続している (Fig. II-2-37, Fig. II-2-32(1))。ここは下部噴出岩類と上部噴出岩類の境界部にあたり、トロノエマイトが貫入している。他の低比抵抗ゾーンは分極率の低い範囲に位置し、鉱化作用とは関連しないと考えられる。

分極率は、見掛比抵抗と同様な構造を示し、西側で高分極率、東側で低分極率となっている (Fig. II-2-37)。測線 2600N~3000N では、西側の高分極率が東側に張り出すように分布している。東側では、測線 2000N の測点 16, 17 付近を中心とする南北に延びる高分極率のゾーンが局部的に認められる (Fig. II-2-35~Fig. II-2-36)。このゾーンは上で述べた低比抵抗帯の中に位置することから、鉱床賦存の可能性のある箇所であると考えられる。測線 800N 以南の測点 20~22 の範囲に 10mV/V 以上の高分極率のゾーンが認められるが (Fig. II-2-33(1))、高比抵抗の分布域とほぼ一致している。

メタルファクターは、測線 1600N~2800N の東側に比較的高い値を示す範囲が広がっている。その中で、測線 2200N の測点 15, 16 付近を中心とする南北系のゾーンと測線 2600N の測点 11 付近を中心とする南北系のゾーンが認められ、前者のゾーンでは 100 を超える高いメタルファクター値が捕捉されている (Fig. II-2-37)。地区南部の測線 400N~800N の測点 22~23 でも南北系のやや高い値を示すゾーンが分布する。また、測線 800N の測点 15 付近で小規模な高メタルファクターが N=3, 4 で認められ、北西-南東方向に連続している (Fig. II-2-34(1))。

### (3) 2次元解析結果

2次元解析は、全測線に対し行った。その内異常が得られた代表的な断面図について記載する (Fig. II-2-39)。

測線 2200N についてみると、比抵抗は全体的に西側で高比抵抗、東側で中~低比抵抗となっている。測点 15~16 付近の深度約 200m に  $20\Omega\cdot\text{m}$  以下の低比抵抗部が認められる。分極率は、全体的に西側で高く、東側の浅部低くなっている。測点 7~17 では高分極率ゾーンが深部に広く認められる。メタルファクターは、測点 15~16 の深部で 100 以上の高い値が得られており、この付近では鉱床賦存の可能性がある。

測線 2600N についてみると、比抵抗は測線 2200N と同様に西側で高く、東側で低い。測点 14~15 の浅部、測点 16~17 の深部に比較的明瞭な低比抵抗部が分布する。分極率は測線中央部で高く、測点 16~17 の深部でもやや高い分極率が得られている。メタルファクターは測点 10~17 の深部で高く、この付近では鉱床賦存の可能性がある。

## 2-5-6 マケール地区

### (1) 測線設定

本地区では測線長 2.0km の測線 (800N~1400N) を 4 本、測線長 1.5km の測線 (000N~600N) を 4、測線長 1.4km の測線 (1600N) を 1 本の計 9 本設定した。測線間隔は 200m、測線長は合計で 15.4km で、測線の方向は EW である。





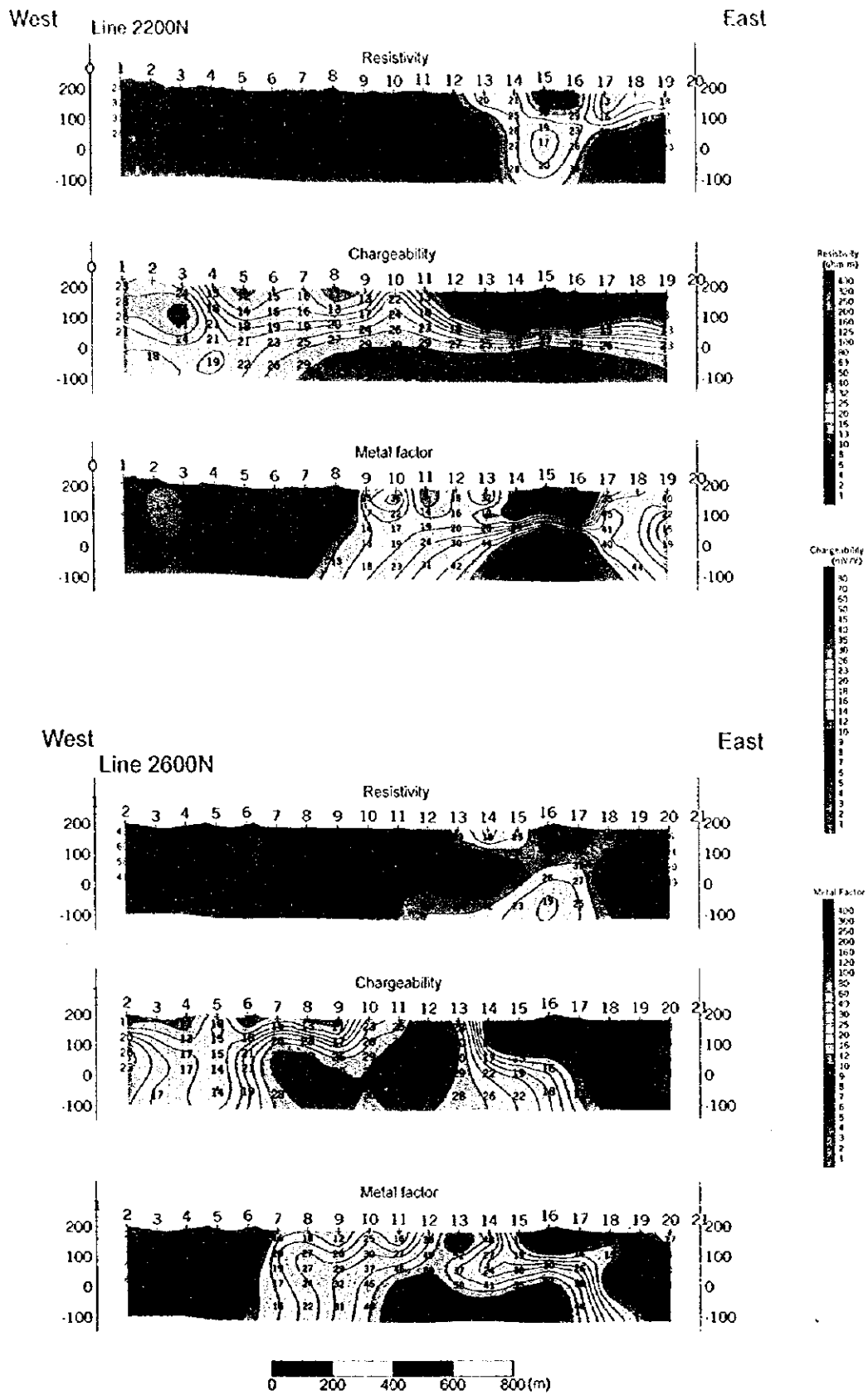
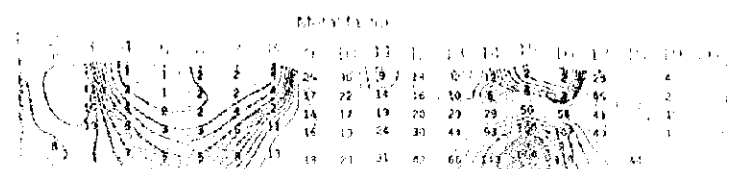
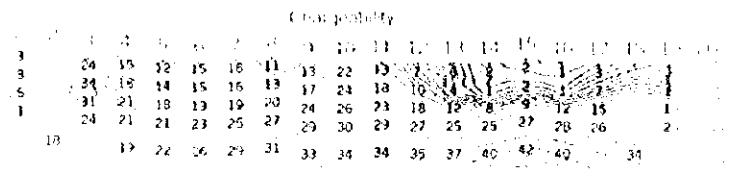


Fig. II -2-39 IP 2D model simulation on lines 2200N and 2600N in Hara Kilab area

West

East



West

East

Line 2600N

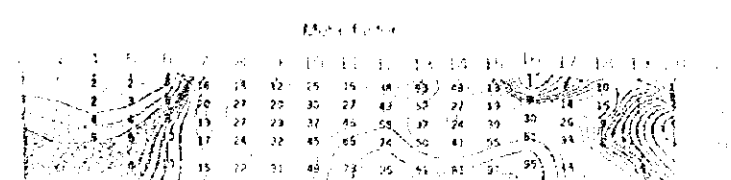
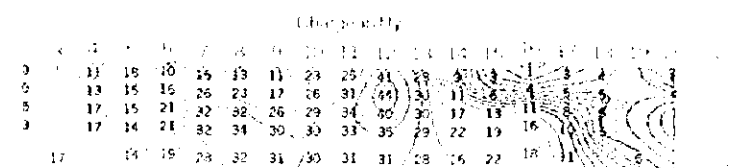


Fig. B-2-39 TP 2D model simulation on lines 2200N and 2600N in Ura-Katab area





測線位置を Fig. II-2-40 に示す。

## (2) 測定結果

見掛比抵抗, 分極率及びメタルファクターの断面図を Fig. II-2-41~Fig. II-2-43 に, また平面図を Fig. II-2-44~Fig. II-2-47 に示す。

見掛比抵抗は, 他の地区に比べ全体的に高い値を示す (Fig. II-2-46)。地区東部の扇状地堆積物及び沖積層が分布する範囲は  $N=1\sim 4$  までやや低い比抵抗が認められる。地区中央部に北西-南東系の比抵抗構造が  $N=1$  で認められる。また, 測線 1000N の測点 3 から測線 1200N の測点 5 にかけて, 下部噴出岩類と上部噴出岩類の境界付近に沿うような中比抵抗が  $N=1$  で認められる (Fig. II-2-44)。

分極率は, 地区西部では広い範囲に, 地区中央部ではほぼ南北方向に高いゾーンが認められる (Fig. II-2-46)。地区西部は下部噴出岩類が分布する範囲であり, 浅部から深部まで高分極率を示している。地区中央部の高分極率帯にはいくつかの局所的な分極率異常部が認められ, それらは南北系の構造に沿うように分布している。その中では測線 1000N の測点 10 付近を中心として南北に延びる異常は比較的明瞭である (Fig. II-2-42)。中央部北側の高分極率ゾーンは下部噴出岩類と上部噴出岩類の境界付近に位置する。

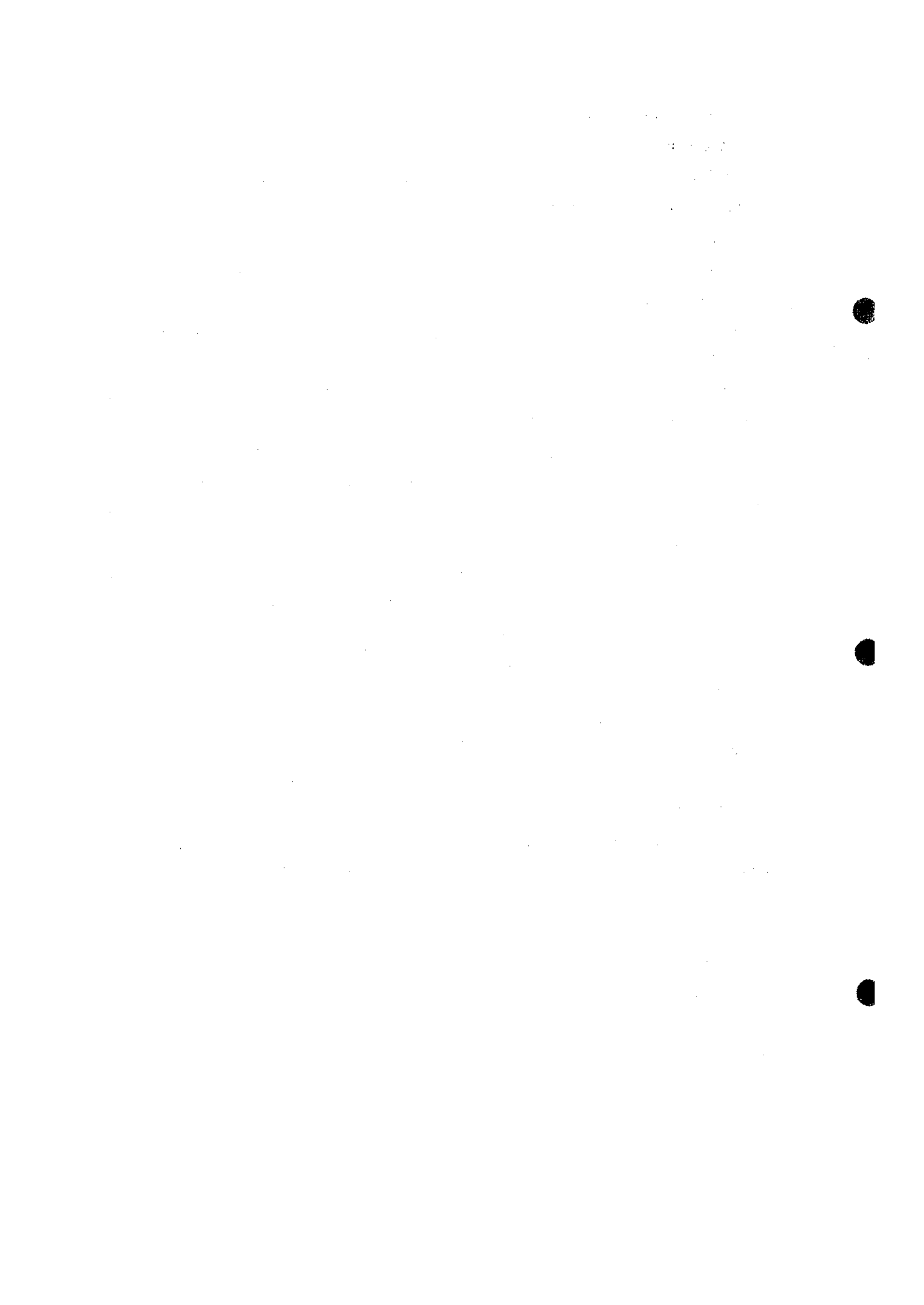
メタルファクターは, 地区中央部と地区西部で高い値を示している (Fig. II-2-46)。地区西部では下部噴出岩類と上部噴出岩類の境界部で明瞭なコントラストを示している。中央部の高メタルファクターゾーンは, 測線 1000N の測点 10 付近を中心として南北に延びており,  $N2\sim N4$  ではそのハローと思われる 2 本の高メタルファクターゾーンが並行して分布している (Fig. II-2-45~Fig. II-2-47)。

## (3) 2次元解析結果

2次元解析は, 全測線に対し行った。その内異常が得られた代表的な断面図について記載する (Fig. II-2-48)。

測線 1200N についてみると, 比抵抗は, 全体的に高く, その中で測点 4 付近及び 9 付近に垂直構造の中比抵抗部が局所的に分布し, 前者は下部噴出岩類と上部噴出岩類の境界部に位置する。分極率は, 測点 4 の西側及び中央部の測点 10~12 付近でやや高い。メタルファクターの異常は, 分極率と同様に測点 4 の西側及び測点 10 付近の深部に認められる。

測線 800N についてみると, 比抵抗は測線 1200N と同様に測点 3 の西側深部及び測点 11 付近に中比抵抗部が認められる。分極率は測点 4 の西側及び測点 10 付近で高い。メタルファクターの異常は, 分極率と同様に測点 4 の西側及び測点 10 付近に認められる, 垂直構造をなしている。これらの異常は, 南の測線にも連続して認められ, これらの場所には断層が推定されていることから, 断層に沿った鉱化作用によるものと考えられる。



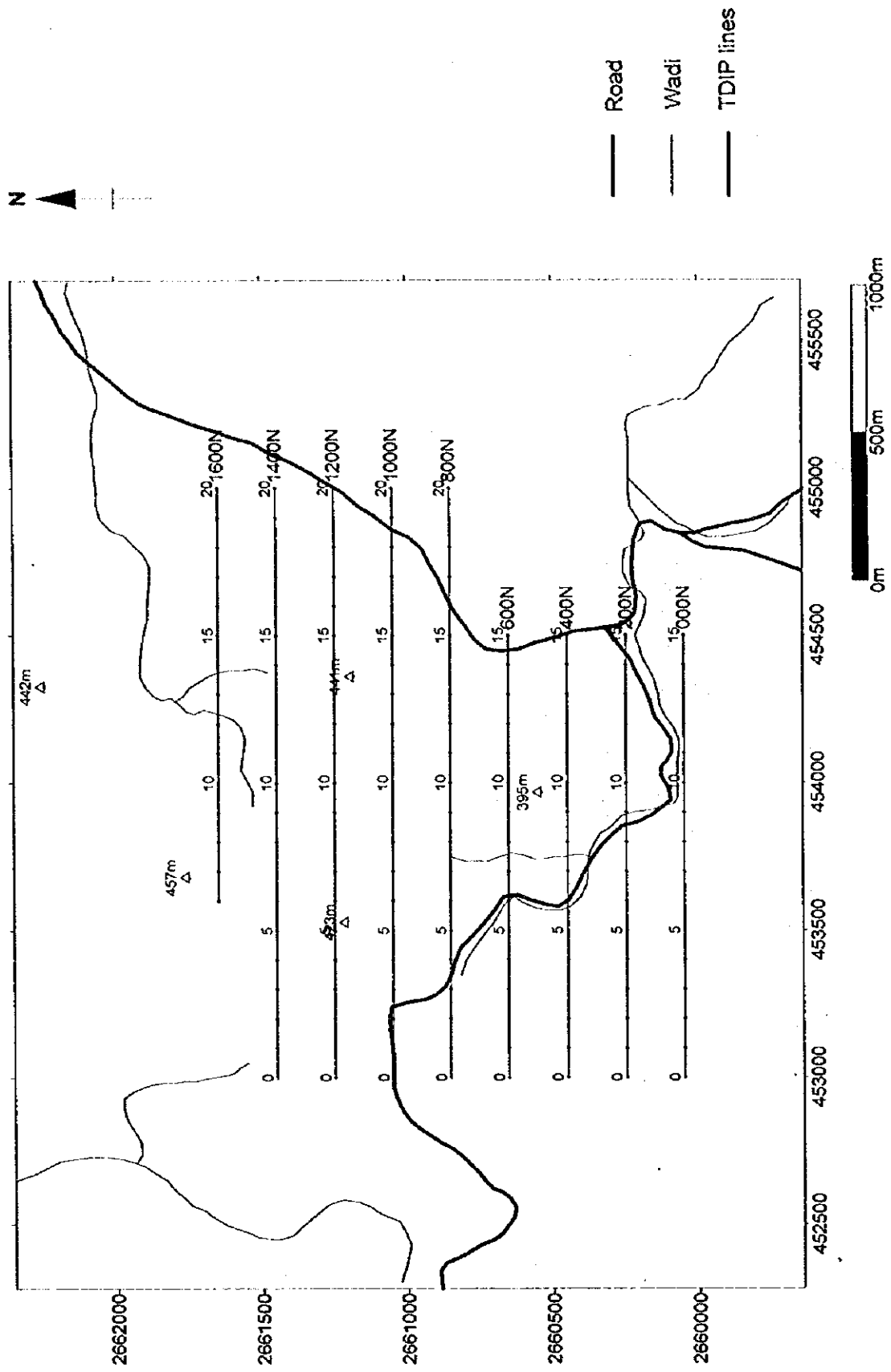


Fig. II -2-40 Geophysical survey location in Maqail area





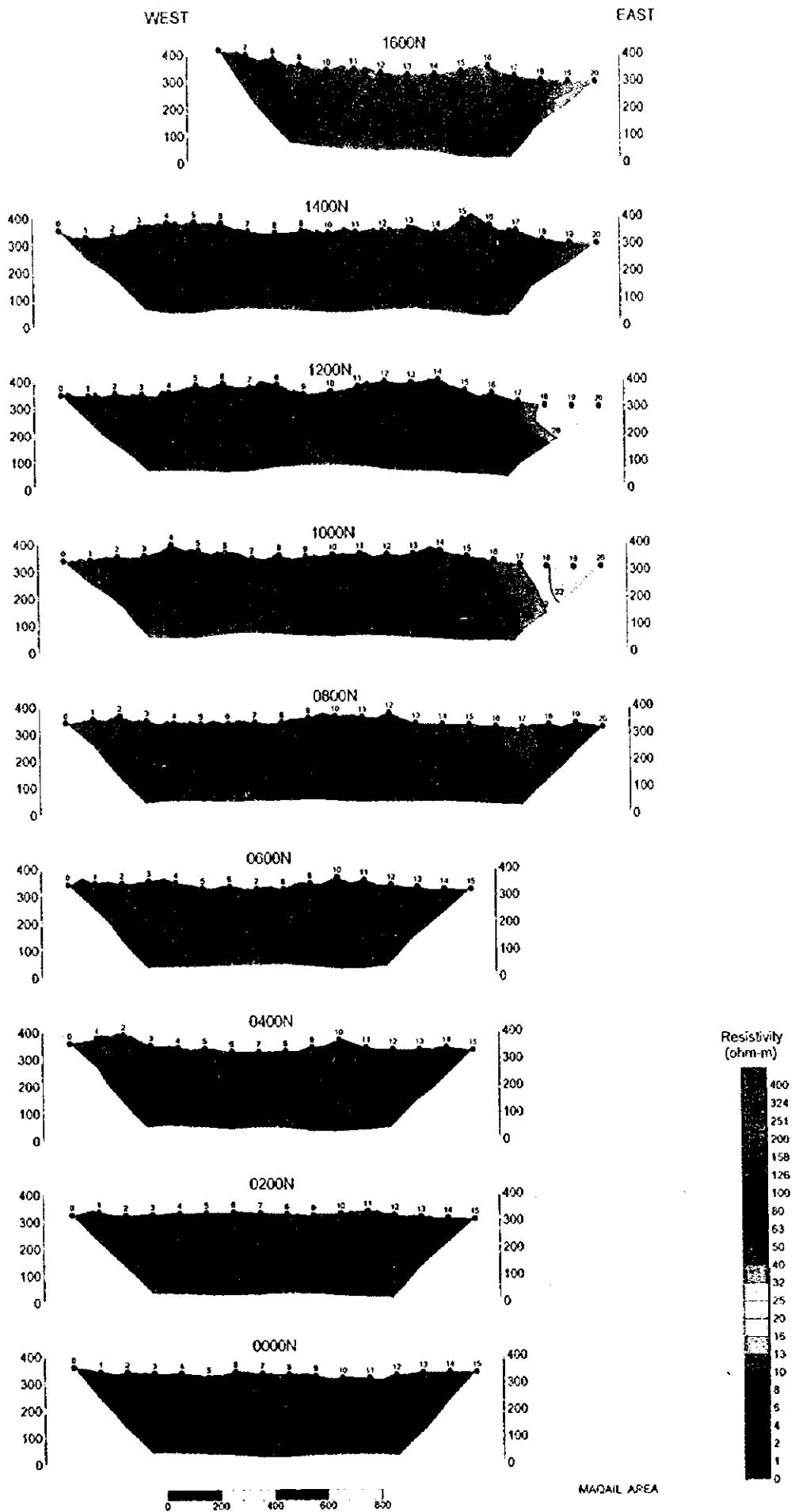


Fig. II-2-41 Apparent resistivity pseudo-sections in Maqail area

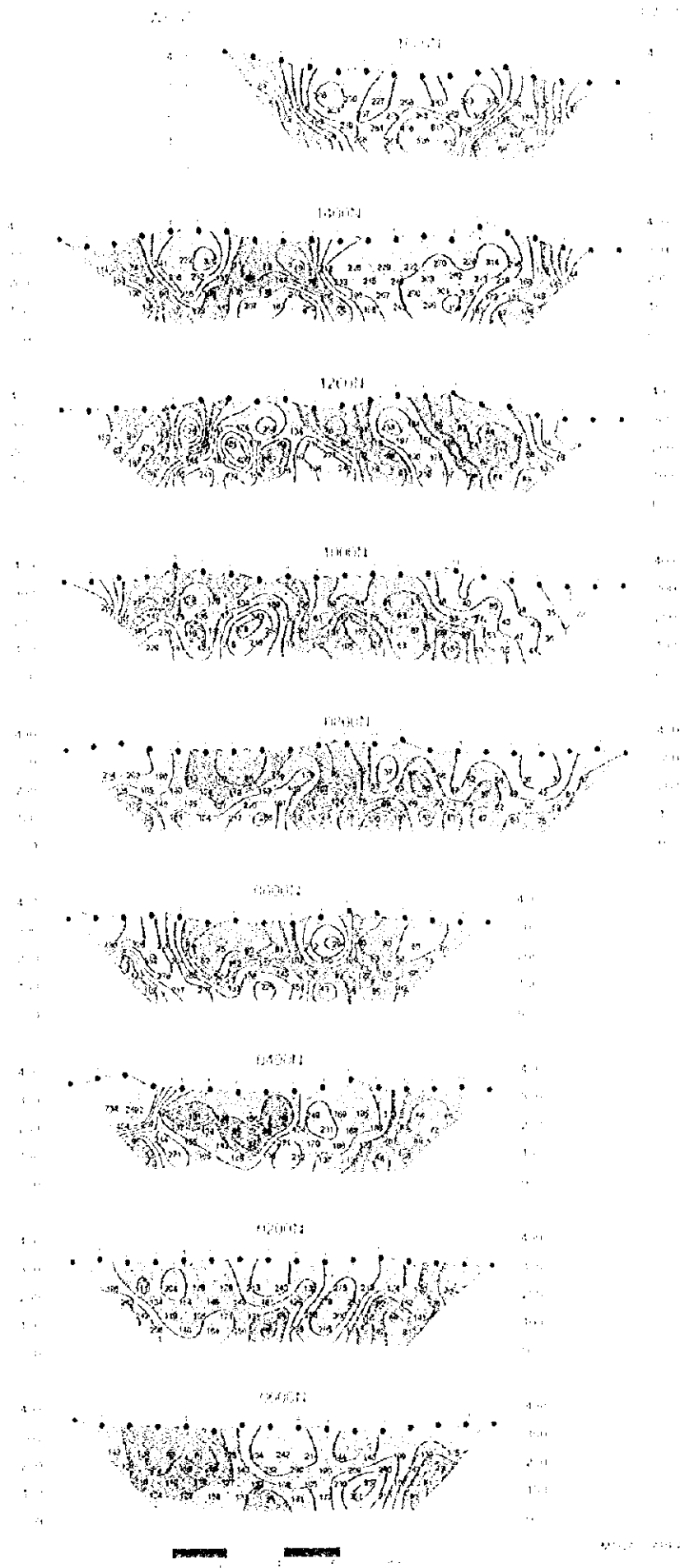


Fig. II-2-11 Apparent resistivity pseudo-sections in Mapul area

1. The first part of the document discusses the importance of maintaining accurate records of all transactions. It emphasizes that every entry should be supported by a valid receipt or invoice to ensure transparency and accountability.

2. The second section outlines the various methods used to collect and analyze data. This includes both primary and secondary research techniques, as well as the use of statistical software to process large datasets.

3. The third part of the report focuses on the results of the study. It details the findings from the data analysis, highlighting key trends and patterns that emerged during the research process.

4. The fourth section provides a comprehensive analysis of the data, discussing the implications of the findings and how they relate to the overall objectives of the study.

5. The fifth part of the document offers conclusions and recommendations based on the research. It suggests areas for further investigation and provides practical advice for implementing the findings in a real-world context.

6. The final section of the report is a summary of the key points discussed throughout the document. It serves as a quick reference for readers who want to understand the main takeaways of the study.



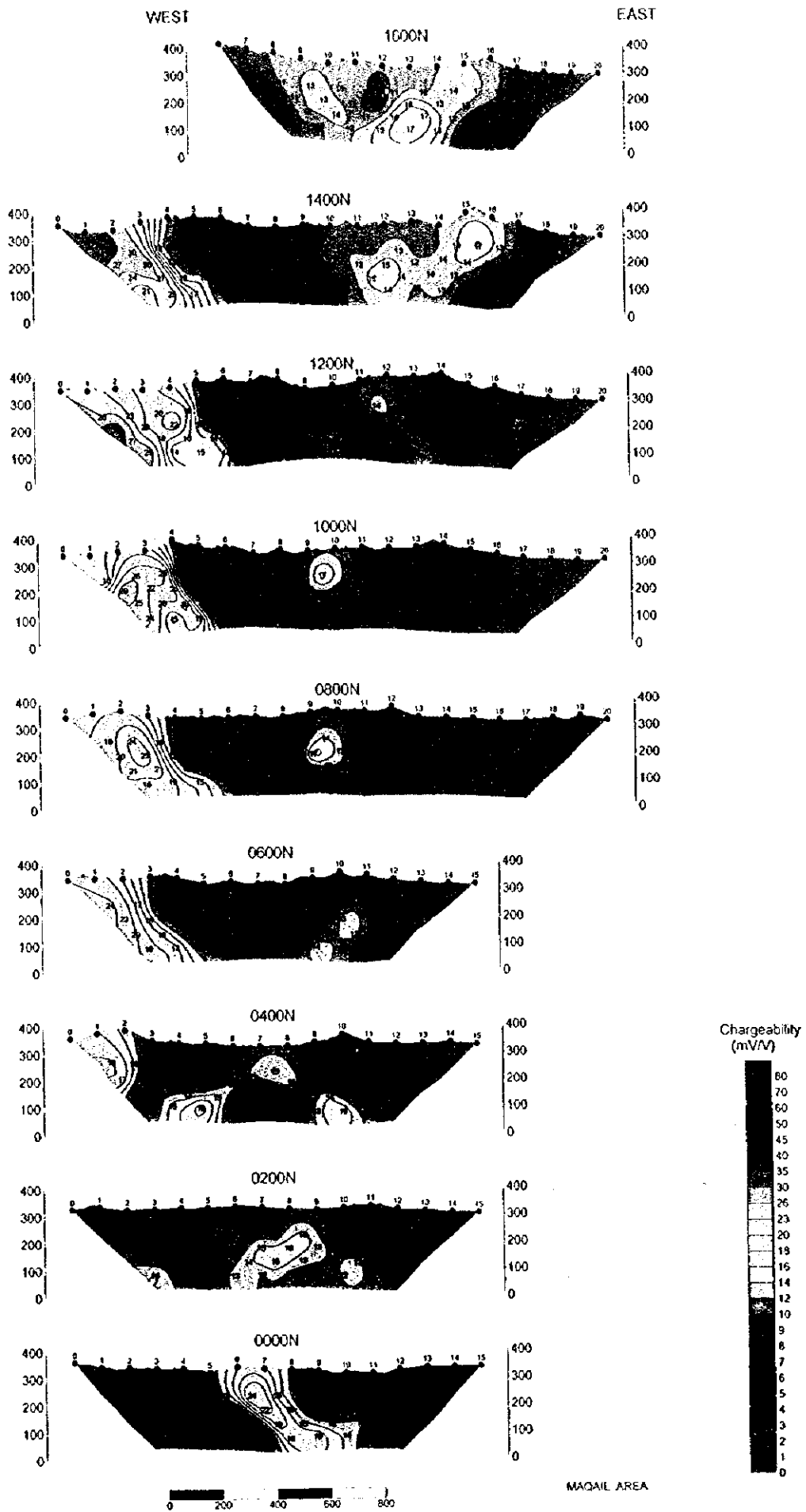


Fig. II -2-42 Chargeability pseudo-sections in Maqail area

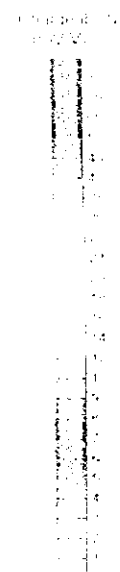
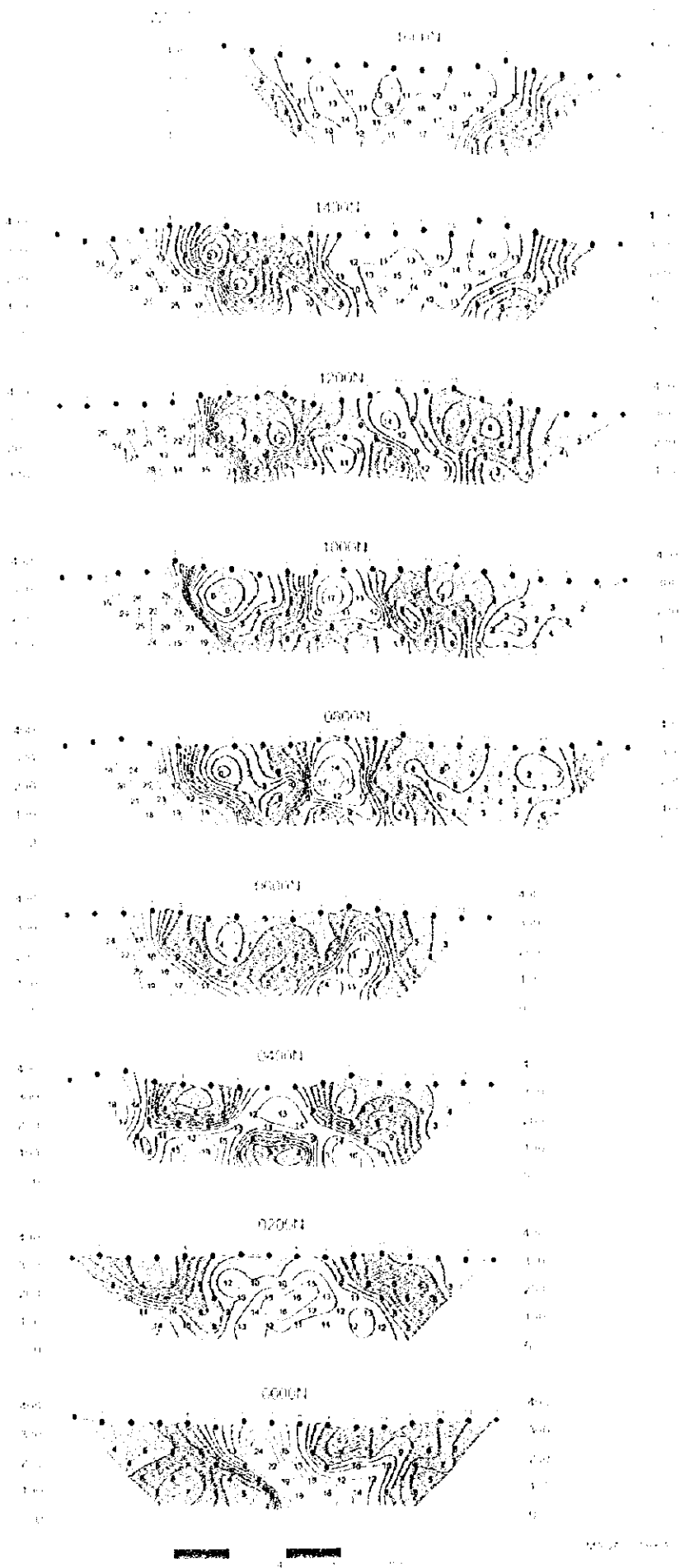


Fig. II-2-12 Magnetic susceptibility pseudo-sections in Marjail area

Handwritten text on a dotted grid background, appearing as a series of faint, illegible characters.

Handwritten text on a dotted grid background, appearing as a series of faint, illegible characters.

Handwritten text on a dotted grid background, appearing as a series of faint, illegible characters.

Handwritten text on a dotted grid background, appearing as a series of faint, illegible characters.

Handwritten text on a dotted grid background, appearing as a series of faint, illegible characters.

Handwritten text on a dotted grid background, appearing as a series of faint, illegible characters.

Handwritten text on a dotted grid background, appearing as a series of faint, illegible characters.

Handwritten text on a dotted grid background, appearing as a series of faint, illegible characters.

Handwritten text on a dotted grid background, appearing as a series of faint, illegible characters.

Small, illegible text centered at the bottom of the page.





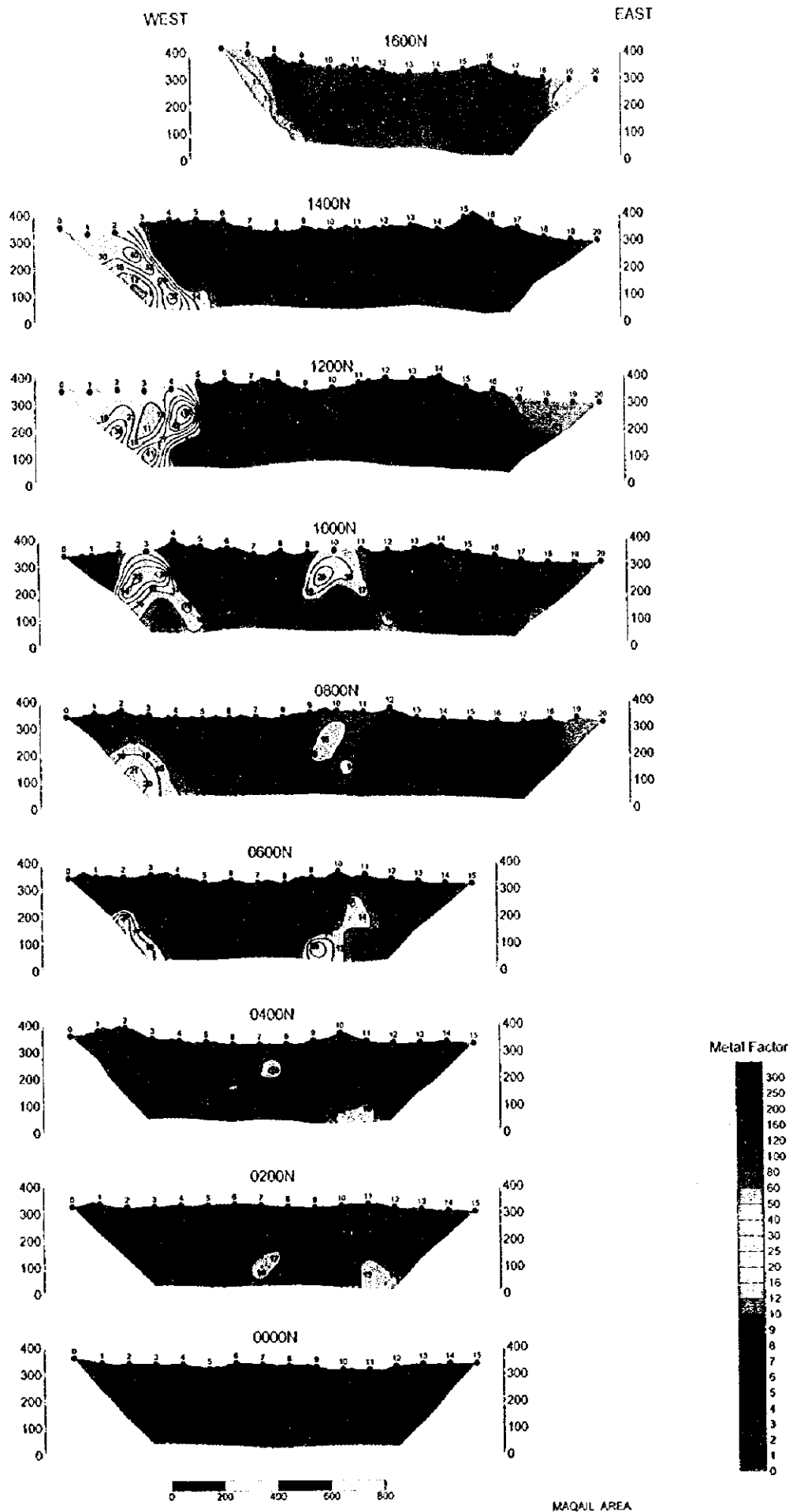


Fig. II -2-43 Metal factor pseudo-sections in Maqail area

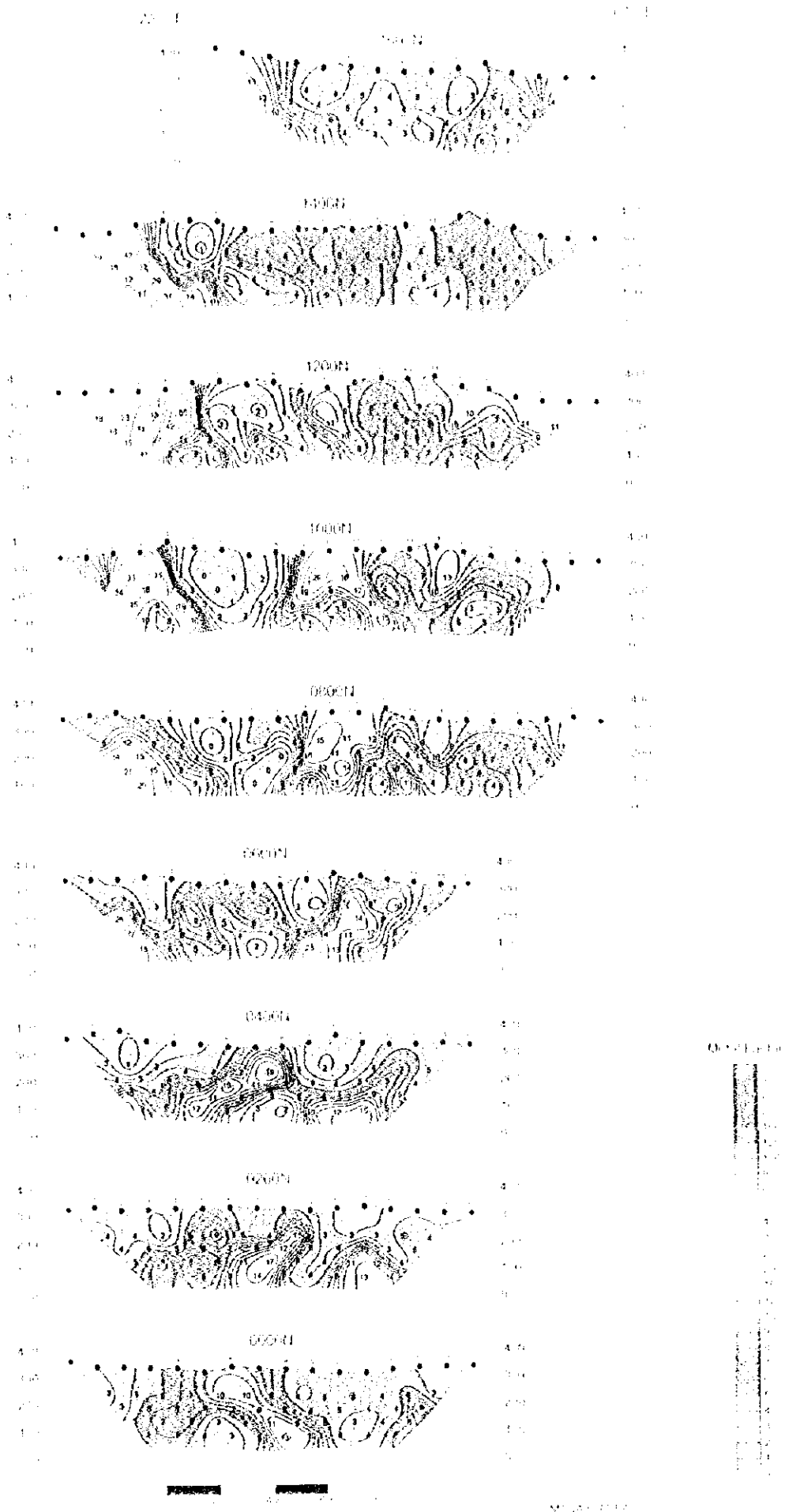
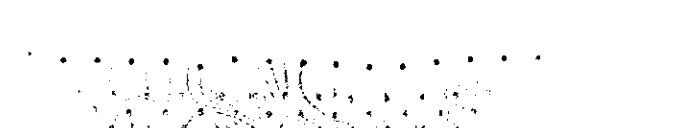
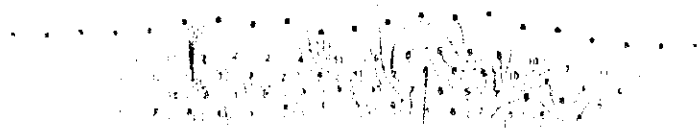
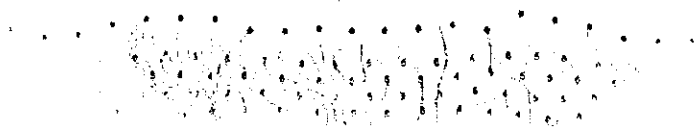
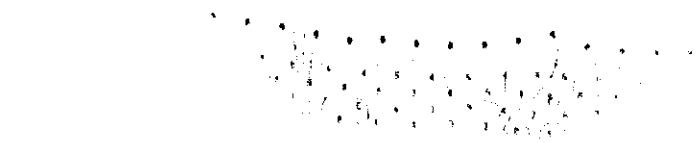


Fig. II-2-13 Metal factor pseudo-sections in Maqail area



5000000 10000000

